



Table of Contents

title: “Монография 5.1: Логика Курпишева” subtitle: “Неассоциативная пакетная реперная логика, NAPG 3.0, V*P-физика, KLT/RBD, RPD и предсказательная математика Реперов” author: “Иван Борисович Курпишев” date: “2026 · monograph 5.1 · master corpus package” lang: ru-RU

Титульный лист

Монография 5.1: Логика Курпишева
Неассоциативная пакетная реперная логика, NAPG 3.0, V*P-физика, антропология разворота, KLT/RBD, RPD и предсказательная математика Реперов

Иван Борисович Курпишев
Independent Researcher, Kaliningrad
me@kurpishev.ru
2026 · monograph 5.1 · master corpus package

Редакционная точка сборки: KLT-MONOGRAPH-5.1-RU-FULL-TEXT

Правило сборки: прежний объём сохраняется полностью; новая версия не заменяет monograph 5.0, а надстраивает её и включает предыдущий корпус как полный legacy-layer в приложении.

Пагинационная дисциплина: сборка ведётся без forced blank pages; оглавление включается; приложения не выкидываются, а переносятся в корпус и в ZIP-пакет.

Оглавление редакционной сборки 5.1

1. Редакционный статус версии 5.1
2. Сводная формула корпуса 5.1
3. Исходная онтология: событие@состояние
4. Репер и λ -истинность
5. Пределы, операторы Ξ , Δ , Υ и причинная связность

6. KPF/RPHD, CGI и точка отката №1
7. KLT-RPM/LIM: точка отката №2 и предсказательная математика
8. RPD/RBD: от λ -истинности к реперно-проективной базе
9. Архитектура всей математики как Реперно-аксиоматический граф
10. Программный слой KLT 4.14, KLT 5.1 и RBD
11. Антропология 2 и человек как Reper разворота
12. Протокол фальсифицируемости, пересборки и инвестиционно-прикладного представления
13. Карта источников и приложений
14. Полные приложения А-Н.

0. Редакционный статус версии 5.1

Версия 5.1 является полной пересборкой монографии 5.0 с добавлением новых узлов, присланных в текущую точку проекта: статьи о переходе от λ -истинности к RPD, документа «Архитектура математики», нового приложения KLT-RPM/LIM v1.0 о предсказательной математике Реперов и λ -многообразиях Пределов, материалов по KPF/RPHD, пакетов KLT 4.14/5.1, а также технической линии KLT-RBD-MATH-ARCH v0.1-v0.8.

Сборка 5.1 не сокращает монографию 5.0 и не вытесняет приложения. Внутренний принцип таков:

```
monograph 5.1 = monograph 5.0 preserved
+ RPD history layer
+ KLT-RPM/LIM rollback anchor 2
+ KLT-RBD-MATH-ARCH v0.1-v0.8
+ program/product appendices
+ source and rollback manifest.
```

Версия 5.1 вводит более строгую редакционную иерархию:

```
C@C -> Reper ->  $\lambda$ -truth -> Limits -> causal tensor -> CGI -> RBD -> RPD -> KLT program
layer -> predictive Reper manifold.
```

Границы утверждений остаются прежними: физические и предсказательные положения фиксируются как аксиоматико-модельные и программно-методологические до отдельной редукции, формализации и проверки. Новые математические конструкции вводятся как авторская архитектура, требующая последующей статьи, доказательной очистки и формального отделения теорем, гипотез и программных процедур.

1. Сводная формула корпуса 5.1

Главная формула версии 5.1:

KLT-MONOGRAPH 5.1 =
 [C@C + Rep(R,I,U;D) + λ -truth + Limits L]
 + [(E, Δ , Y) + T_cs^L + CGI]
 + [RBD/RPD + FormulaGraph + GapMap + TheoremCandidate]
 + [KLT 4.14 + KLT 5.1 + program audit]
 + [KLT-RPM/LIM: admissible future Reper manifolds]
 + [Anthropology 2: Human_R as Reper of reversal].

В краткой записи:

Human_R = C@C + Rep(R,I,U;D) + (E, Δ , Y) + L + λ
 Rep_i = (R_i, I_i, U_i; D_i)
 Truth(Rep_i) \Leftrightarrow cr(U_i, I_i; R_i, D_i) = -1
 $\delta_{\text{truth}} = |\lambda + 1|$

Сборка 5.1 усиливает четыре направления:

1. **математическое основание** — математика рассматривается как Реперно-аксиоматический граф аксиом, объектов, морфизмов, инвариантов, теорем, доказательств, вычислений и gap/break-узлов;
2. **предсказательная математика** — KLT не утверждает абсолютное будущее, а строит область допустимых будущих Реперов внутри системы Пределов;
3. **программная реализация** — KLT 4.14 и KLT 5.1 становятся не только демонстрационными интерфейсами, но и точками проверки метода через документы, сметы, ТЗ, графы, Reper-карточки, λ -дефекты и CGI;
4. **RPD/RBD** — база Реперов понимается как рабочая машина чтения источников, вычленения формул, фиксации пустых мест и постановки theorem-candidate-задач.

2. Исходная онтология: событие@состояние

Минимальным объектом проекта остаётся не изолированная точка и не отдельный факт, а пакетная точка:

$a = (e, s)$,
 где e - событие, s - состояние.

Состояние не является пассивным фоном: оно задаёт слой, в котором событие получает геометрический, логический и причинный смысл. Поэтому запись C@C читается как событие@состояние и является исходным атомом для NARG, KPF/RPHD, KLT и RBD.

Пакетная линия:

$L_s = \{(e,s) \text{ in } P\}$

означает, что геометрия начинается не с внешней прямой, а с фиксированного состояния. Это важно для всей версии 5.1: источник, формула, документ, смета, тезис, человеческий поступок и прогноз рассматриваются не вне состояния, а в своём слое условий, пределов и доказательных оснований.

3. Репер и λ -истинность

Репер в версии 5.1 фиксируется как минимальная обратимая структура:

$$\text{Rep}_i = (R_i, I_i, U_i; D_i)$$

где R — реальное содержание, факт, реализованная опора; I — идея, направление, инвариант или проектная ось; U — универсум возможностей, поле допустимых обобщений и требований; D — достаточное основание: доказательство, документ, источник, ответственность, аксиоматическая база.

Проективно-гармоническая истинность задаётся через кросс-соотношение:

$$\lambda_i = \text{cr}(U_i, I_i; R_i, D_i)$$

$$\text{Truth}(\text{Rep}_i) \Leftrightarrow \lambda_i = -1$$

$$\delta_{\text{truth}_i} = |\lambda_i + 1|$$

$$\text{Auth}(\text{Rep}_i) = 1 / (1 + \delta_{\text{truth}_i})$$

Важная дисциплина версии 5.1: D нельзя удалять из истинностной записи. Флаговая форма $R \text{ in } I \text{ subset } U$ допустима как геометрическая схема, но для авторизации, доказательства, прогноза, документа, сметы, судебного материала, научной статьи или программно выводятся D .

λ -истинность не заменяет математического доказательства, юридического документа или инженерной проверки. Она задаёт слой структурной согласованности между фактом, идеей, полем возможностей и достаточным основанием. Поэтому в RPD/RBD всякая формула, источник или вычислительный результат получает не только текстовое описание, но и Репер-карту.

4. Пределы, операторы Ξ , Δ , Υ и причинная связность

Система Пределов в версии 5.1 сохраняет пять основных классов:

$$L = \{L_P, L_E, L_R, L_T, L_O\}$$

где L_P — политический Предел, L_E — экологический, L_R — пространственный, L_T — временной, L_O — онтологический.

Действие не начинается из пустоты. Оно начинается от линии Предела:

Start(Δ_v) in ℓ^{θ}_v , v in {P,E,R,T,O}.

Операторная тройка:

Ξ = изменение / длительность / эволюция;

Δ = действие / полагание начала;

Y = разворот / перевод действия в новое состояние.

В монографии 5.1 эта тройка используется одновременно в NAPG, KPF/RPHD, Антропологии 2, KLT-аудите и прогнозном слое. Ошибкой считается смешение действия, изменения и разворота. Человек действует через Δ , изменяется через Ξ , а поступок становится биографией через Y .

5. KPF/RPHD, CGI и точка отката №1

Первая точка отката фиксирует слой:

RA1 = KPF/RPHD v1.0

= Reper v1.0 + Limit-Causal v1.0 + (Ξ , Δ , Y) + T_{cs}^L + CGI.

Ключевой принцип: если развитие проекта разрушает связность между геометрией, причинностью, физическим толкованием или вычислительным слоем, откат выполняется не к пустому началу, а к Reper-структуре:

Failure => R_i as rollback unit.

Расширенная причинная связность:

$T_{cs}^L = T_{cs} + T_{\{\Delta|L\}} + T_{\{\Xi|L\}} + T_{\{Y|L\}} + SP@S$.

Индекс причинного разрыва:

$CGI_i = (||T_{hole}^L|| + ||F_{cent}^{\{\Xi Y\}}|| + ||F_{cor}^{\{P@S\}}|| + \Sigma B_v) / (r_i u_i + \epsilon)$.

Статусы:

$CGI_i < 1$ -> causal_stable

$CGI_i \approx 1$ -> causal_critical

$CGI_i > 1$ -> rebuild_required

В версии 5.1 CGI является не только физико-причинным индексом, но и общим диагностическим принципом для документов, математических переходов, программных выводов и прогнозных сценариев.

6. KLT-RPM/LIM: точка отката №2 и предсказательная математика

Вторая точка отката вводится потому, что одного локального Репера недостаточно для сложных задач. Документ, строительный тендер, научная теория, математический корпус, инвестиционная модель или антропологическая ситуация требуют семейства Реперов на разных масштабах и языках.

Фиксация второй точки:

RA2 = KLT-RPM/LIM v1.0
= RA1 + M^PIX@PEAKS_λ + Lim_IUR + RBD_R + SR + RetroRebuild.

Тезис:

KLT не предсказывает абсолютное будущее.

KLT строит область допустимых будущих Реперов внутри системы Пределов.

PIX@PEAKS-многообразие:

$M^{PIX@PEAKS}_\lambda = (P, K, R, \Pi, Peak, cr, \lambda, L)$

где P — PIX-элементы, K — PEAKS-состояния, R — семейство Реперов, Π — пакетная проекция, Peak — оператор пиков согласованности, cr — кросс-соотношение, λ — истинностная координата, L — система Пределов.

Прогноз получает форму не единственного ответа, а области:

$Forecast(R_i) = \{ R_j^{future} \mid \lambda_j \rightarrow -1, CGI_j < 1, L\text{-conditions satisfied} \}$.

Если факт не совпадает с прогнозом, пересобирается ближайшая Репер-окрестность, а не вся теория. Это принципиально важно для KLT как программного продукта: программа не должна имитировать абсолютное знание; она должна честно показывать диапазон устойчивых, критических и запрещённых сценариев.

7. RPD/RBD: от λ-истинности к реперно-проективной базе

RPD/RBD возникает из требования хранить не только библиографию, но и структуры истинностного замыкания. Если источник содержит формулу, теорему, определение, доказательство, техническое требование или смету, он должен быть разложен:

source -> work-node -> semantic unit -> formula-node -> Reper-node -> edge/gap/break -> rebuild path.

RBD хранит:

works;
 semantic units;
 Repers (R,I,U;D);
 edges;
 formula chains;
 gap-nodes;
 break-nodes;
 proof dependencies;
 theorem-candidate cards;
 CGI and λ fields.

Версия 5.1 усиливает различие:

gap != theorem_candidate != proved theorem != formal theorem.

Gap означает отсутствие мостового основания. Theorem-candidate означает устойчивую гипотезу для доказательной работы. Proved theorem требует доказательства. Formal theorem требует формализации в выбранной системе.

8. Архитектура всей математики как Реперно-аксиоматический граф

Математика в версии 5.1 задаётся как многослойный граф:

MATH(A,O,M,I,T,P,C,G)

где A — аксиомы и основания, O — объекты, M — морфизмы, I — инварианты, T — теоремы, P — доказательства, C — вычисления, G — gaps/breaks/пустые места.

Каждая область математики получает Repер:

Rep_math(X) = (R_X, I_X, U_X; D_X)

Семь этажей архитектуры:

Уровень	Раздел	Реперный смысл
M0	Основания: логика, множества, типы, категории, модели, доказательства	слой D
M1	Число и алгебра	операции, симметрии, дискретная фиксация
M2	Геометрия и	форма,

Уровень	Раздел	Реперный смысл
	топология	пространство, инварианты
М3	Анализ	пределы, непрерывность, динамика
М4	Дискретная математика и вычисления	конечные структуры, алгоритмы, proof-as- program
М5	Вероятность, статистика, динамика	распределения, прогнозы, стохастические процессы
М6	Прикладные мосты	матфизика, инженерия, информация, финансы

Над ними стоит слой:

$M_{\Delta} = \lambda$ -истинность + Ререг-связность + CGI-разрывы + RBD-пересборка.

Главный алгоритм обработки математических баз:

Input: corpus C, base architecture A0, Reper database RBD.

For each document d:

```

  parse d;
  extract metadata;
  split into math units;
  classify axiom/definition/theorem/proof/model/invariant/algorithm/example;
  build Rep(u) = (R,I,U;D);
  compute  $\lambda$ ,  $\delta_{\text{truth}}$ , r_weight, u_connectivity;
  insert into RBD_MATH_ARCH.

```

For each pair X,Y:

```

  detect overlaps, contradictions, missing bridges;
  compute CGI_math(X,Y);
  if CGI_math >= 1: create gap-node or break-node.

```

Output: global math architecture graph + overlap map + break map + gap map.

9. Техническая динамика KLT-RBD-MATH-ARCH v0.1-v0.8

Версия 5.1 включает пакет KLT-RBD-MATH-ARCH v0.1-v0.8 как приложение и источник дальнейшей машинной разработки. По материалам пакета последовательность фиксируется так:

- **v0.1** — стартовая архитектура всей математики как Реперно-аксиоматический граф;
- **v0.2** — углубление FND / LOG / SET / TYPE / CAT, proof/dependency units и axiom systems;
- **v0.3** — Algebra + Number Theory + Structures;
- **v0.4-v0.8** — расширение доменов, технических индексов, gap/break-типов, технических кластеров, JSON/SQL-слоёв и visual graph.

Статистическая карта из приложенного ZIP:

Версия	Метрика	Значение
v0_1	Репер-узлы	206
v0_1	Рёбра	236
v0_2	Репер-узлы	258
v0_2	Рёбра	310
v0_3	Репер-узлы	48
v0_3	Рёбра	60
v0_4	Репер-узлы	91
v0_4	Рёбра	138
v0_5	Репер-узлы	119
v0_5	Рёбра	188
v0_6	Репер-узлы	142
v0_6	Рёбра	226
v0_7	Репер-узлы	160
v0_7	Рёбра	270
v0_8	Репер-узлы	180
v0_8	Рёбра	286

Эта таблица не заменяет исходные CSV/SQLite/Excel-данные: они сохраняются в ZIP-пакете 5.1 как исходная машинная база.

10. Программный слой KLT 4.14, KLT 5.1 и RBD

KLT 4.14 фиксируется как проверенный демонстрационно-аудиторский слой. Его роль — загрузка документов, разбор требований, смет, ТЗ, договоров и других пакетов с последующим λ /CGI-анализом.

KLT 5.1 фиксируется как расширенный SDK-слой. Его роль — показать, что KLT/RBD может быть оформлен как программный комплекс:

PIX -> PEAKS -> Reper(U,I,R,D) -> λ -> δ_truth -> CGI -> status -> report.

Практический сценарий применения:

1. пользователь загружает документ или пакет документов;
2. KLT выделяет источники, требования, факты, суммы, сроки, противоречия;
3. система строит Reper-карты;
4. λ измеряет структурную согласованность;
5. CGI показывает причинные и документарные разрывы;
6. RBD ищет ближайшие Reper-узлы пересборки;
7. отчёт разделяет устойчивые выводы, критические места, gap-node и rebuild-required-участки.

Для сайта сохраняется короткая структура имён: /ru/klt/k414.html, /ru/klt/k51.html, /ru/klt/invest.html, папки a, d, s, v. Это важно для хостинга, который отклонял длинные пути.

11. Антропология 2 и человек как Reper разворота

Антропология 2 становится в версии 5.1 не отдельным очерком, а антропологической проверкой всей системы. Человек фиксируется как:

Human_R = C@C + Rep(R,I,U;D) + (Э, Д, Y) + L + λ .

Человек не существует как абстрактная сущность вне состояния. Он дан в историческом, телесном, когнитивном, социальном, техническом, языковом и временном слое. Его Reper-компоненты:

Компонент	Антропологический смысл
R	тело, факт жизни, поступок, биографический след
I	идея себя, внутренняя ось, замысел, направление
U	культура, мир, язык, поле возможностей, будущее
D	память, долг, причина, ответственность, документ, свидетельство

Главный тезис:

Человек есть существо Разворота: действие переводится в состояние, состояние - в память, память - в основание, основание - в новый Reper.

Память в этой рамке не является складом прошлого. Факты прошлого остаются постоянными, но Reper прошлого пересобираем:

Data_past = const,
Reper_past = reconstructable.

12. Протокол фальсифицируемости, пересборки и прикладного представления

Для инвесторов, министерств, ведомств и экспертных советов KLT/RBD должен быть представлен не как «абстрактная философия», а как программно-математический комплекс, способный работать с документами, базами данных и проектными пакетами.

Прикладная ценность метода:

- выявление несогласованности между требованиями, сметами, актами, договорами и фактической реализацией;
- обнаружение пустых мест в доказательствах, технических заданиях, проектных цепочках и финансовых моделях;
- построение карты спорных мест, где требуется документ, расчёт, экспертное заключение или пересборка;
- снижение затрат на ручной аудит больших пакетов документов;
- формирование проверяемых отчётов, где отделены факт, идея, поле возможностей и достаточное основание.

Честный протокол:

1. KLT не заменяет эксперта.
2. KLT не объявляет прогноз абсолютной истиной.
3. KLT строит Reper-карту, λ -дефект, CGI-разрыв и rebuild-путь.
4. Устойчивый вывод принимается только при достаточном D и CGI < 1.
5. При конфликте источников создаётся gap/break-node.

13. Карта источников и приложений

В сборку 5.1 включены следующие главные источники:

Код	Источник	Роль в версии 5.1
M50	monograph5_0_ru.pdf	полный сохранённый master corpus 5.0

Код	Источник	Роль в версии 5.1
RPM/LIM	klt_rpm_lim_rollback_anchor_2_appendix.pdf	точка отката №2, предсказательная математика Реперов
RPD-HIST	RPD_HISTORY_ARTICLE_RU.docx	история RPD/RBD от λ-истинности
MATH-ARCH	АРХИТЕКТУРА МАТЕМАТИКИ.docx	архитектура всей математики как Реперно-аксиоматический граф
KPF/RPHD	proektivno_garmonicheskie_repernye_osnovaniya_prichinnosti_i_determinizma.docx	причинность, детерминизм, CGI, Reper v1.0
SITE/KLT	plan.docx и сайт-пакеты	короткие имена, страницы KLT, логистика публикации
ZIP-MATH	klt_rbd_math_arch_v0_1_v0_8_final.zip	CSV/SQLite/Excel/JSON/SQL/visual graph для v0.1-v0.8
KLT-PKG	KLT_4_14_CHECKED_BUILD.zip, KLT5_1_FLUTTER_SDK_PACKAGE.zip	программные приложения

14. Финальная фиксация версии 5.1

Финальная формула:

monograph 5.1 =
 legacy monograph 5.0
 + rollback anchor 2
 + RPD history
 + math architecture graph
 + KPF/RPHD causality
 + KLT/RBD program layer
 + source-preserving appendices.

Главный итог:

Логика Курпишева 5.1 фиксирует не только концепцию λ -истинности, но и путь к вычислимой Reper-базе, способной хранить источники, формулы, доказательства, документы, разрывы, основания и сценарии пересборки.

Далее следует полный сохранённый корпус и новые приложения. Они помещены не как краткие цитаты, а как рабочие источники, чтобы версия 5.1 не теряла объём и не обрывала предыдущую последовательность проекта.

Приложение А. Полный сохранённый корпус monograph 5.0

Монография 5.0: Логика Курпишева Неассоциативная пакетная реперная логика, NAPG 3.0, V*P-физика, антропология разворота и KLT/RBD-приложения

Иван Борисович Курпишев · Independent Researcher · Kaliningrad ·
me@kurpishev.ru

2026 · monograph 5.0 · master corpus package

Оглавление

1.
 0. Редакционный статус и точка 5.0
2.
 1. Исходная онтология: событие@состояние
3.
 2. Reper как минимальная обратимая структура
4.
 3. Lambda-истинность и проективно-гармоническое замыкание
5.
 4. NAPG 3.0: математическое углубление
6.
 5. Пределы, операторы Xi, Delta, Upsilon и пакет времени
7.
 6. KPF/RPHD: причинность и детерминизм
8.
 7. Антропология 2: человек как Reper разворота
9.
 8. KLT 4.14 и KLT 5.1 как программный слой
10.
 9. Reper Database: база данных реперов
11.
 10. Математические основания программного аудита

12.

11. Приложения и сохранение корпуса

Appendices / Приложения / Anhänge /

Предисловие к сборке 5.0 This volume is assembled from internal project sources and preserved package files. The archive contains PDFs, HTML, source files, legacy monograph 2.41, KLT packages, RBD tables, and screenshots. The PDF itself is generated without forced blank pages.

Формулы ядра / core formulas: $Human_R = C@C + Rep(R,I,U;D) + (Xi, Delta, Upsilon) + L + lambda$

$Rep_i = (R_i, I_i, U_i; D_i)$

$Truth(Rep) \Leftrightarrow cr(U,I;R,D) = -1$

$lambda = ((U - R)(I - D)) / ((U - D)(I - R)); delta_truth = |lambda + 1|$

KPF/RPHD v1.0 = Reper v1.0 + Limit-Causal v1.0 + (Xi, Delta, Upsilon) + T_cs^L + CGI

$CGI_i = (||T_hole^{L|| + ||F_cent\{XiUpsilon\}|| + ||F_cor^{\{P@S\}}|| + \sum B_nu) / (r_i u_i + epsilon)$

Forecast = $Pi_L [Upsilon_L \circ Delta_1 \circ Xi_L (RBD_lambda)]$, with check $CGI_i < 1$

Klein(M,G) = $Inv_G(M)$; Witten(QFT,Dual) = $Inv_Dual(QFT)$; KLT: $cr(U_K,I_W;R_inv,D) \rightarrow -1$

0. Редакционный статус и точка 5.0 Монография 5.0 пересобирает накопленный корпус проекта в единую рабочую книгу. В неё включены: монография 2.41 как сохранённый базовый слой, математические основания NAPG 2.0/3.0, статья KPF/RPHD о реперных основаниях причинности, ветка Антропология 2, материалы KLT 4.14 и KLT 5.1, а также реперные базы данных Math/Physics.

Цель версии 5.0 не состоит в сжатии прежней монографии. Напротив, прежняя редакция сохраняется как legacy-layer и архивируется в приложениях; новый слой добавляет математическую, антропологическую и программно-прикладную надстройку. Поэтому сборка построена как master-corpus: основной текст + полные архивные приложения + исходные таблицы RBD + пакеты KLT.

Положение об отсутствии пустых страниц принято как правило сборки: все PDF строятся в режиме непрерывной пагинации, без forced blank pages; оглавление присутствует в каждой языковой версии; приложения не удаляются, а фиксируются в архивной структуре пакета.

1. Исходная онтология: событие@состояние Минимальный объект проекта — не точка и не изолированный факт, а пакетная точка $a=(e,s)$, где e есть событие, а s есть состояние. Событие вне состояния не имеет геометрической фиксации; состояние без события остаётся пустым

слоем. Поэтому исходная онтология принимает форму C@C — событие@состояние.

Пакетная прямая $L_s = \{ (e,s) \}$ возникает при фиксированном состоянии. Это меняет классический порядок построения геометрии: линия не задаётся внешней абстрактной прямой, а появляется как слой состояния. В дальнейшем этот принцип переносится на логику, физику, антропологию и программный аудит.

В версии 5.0 C@C является единицей не только математической геометрии, но и причинности, памяти, документа, доказательства, прогноза и действия. Любой объект KLT/RBD фиксируется как событие@состояние, затем получает Reper-замыкание.

Fixed notation / Фиксация обозначений

Human_R = C@C + Rep(R,I,U;D) + (Xi, Delta, Upsilon) + L + lambda Rep_i = (R_i, I_i, U_i; D_i)
Truth(Rep) <=> cr(U,I;R,D) = -1

2. Reper как минимальная обратимая структура Reper определяется как локальная проективно-гармоническая структура, удерживающая связь реальности, идеи, универсума возможностей и достаточного основания: $Rep_i = (R_i, I_i, U_i; D_i)$.

Компонент R отвечает за то, что действительно дано; I задаёт внутреннюю ось и идею сборки; U задаёт поле возможностей; D обеспечивает достаточное основание, документарную и причинную замкнутость. Без D Reper остаётся неполным флагом, но не истинностной четвёркой.

Иерархия C@C -> R@C@C -> T_cs -> Flag/Reper -> transreper фиксируется как точка отката. Если вычислительный слой, физическая гипотеза или антропологическое расширение ломает связность, сборка возвращается к Reper v1.0, а не к пустому началу.

Fixed notation / Фиксация обозначений $Rep_i = (R_i, I_i, U_i; D_i)$ Truth(Rep) <=>
 $cr(U,I;R,D) = -1$ $lambda = ((U - R)(I - D)) / ((U - D)(I - R)); delta_truth = |lambda + 1|$

3. Lambda-истинность и проективно-гармоническое замыкание Истина в проекте не добавляется внешней оценкой после анализа. Она возникает при гармоническом замыкании Reper-четвёрки. Центральная нормировка: Truth(Rep) тогда и только тогда, когда $cr(U,I;R,D) = -1$.

Дефект истинности определяется как $delta_truth = |lambda + 1|$. Чем меньше дефект, тем ближе объект к структурной авторизации. Это не заменяет доказательство, но даёт геометрико-логический критерий согласованности между фактом, идеей, универсумом и основанием.

Версия 5.0 усиливает метод: lambda применяется не только к философским доктринам, но и к статьям, программным продуктам, базам данных,

прогнозам, антропологическим структурам и юридико-документарным цепочкам.

4. NAPG 3.0: математическое углубление NAPG 3.0 наследует NAPG 2.0, но дополняет его Reper v1.0 и Limit-Causal v1.0. Базовый объект остаётся пакетным, но математический слой усиливается операторами предельной причинности, тензором T_{cs}^L , CGI-индексом и RBD-полями.

Фундаментальный ход: ambient admissible sector -> distinguished sector -> preservation theorem -> controlled reduction. Для repaired family сохраняется центральный кластер: Jacobi-совместимая алгебра Ли, замкнутый коэффициентный узел $A(\alpha)=B(\alpha)=4\alpha^2$, $C(\alpha)=0$, сохранение fixed-phase line оператором Hodge-Laplacian и безусловная скалярная редукция.

В версии 5.0 к этому добавляется аксиоматика пакетной инцидентности, циклическая пакетная линия, packet lift классических геометрий, а также мост к Клейну: геометрия есть исследование инвариантов относительно группы преобразований; Reper есть перенос этой идеи в пакетно-проективный и причинный слой.

Fixed notation / Фиксация обозначений $\lambda = ((U - R)(I - D)) / ((U - D)(I - R))$;
 $\delta_{truth} = |\lambda + 1|$ KPF/RPHD v1.0 = Reper v1.0 + Limit-Causal v1.0 + (Xi, Delta, Upsilon) + $T_{cs}^L + CGI_{CGI_i} = (||T_{hole}L|| + ||F_{cent}^{[XiUpsilon]}|| + ||F_{cor}\{P@S\}|| + \sum B_{nu}) / (r_i u_i + \epsilon)$

5. Пределы, операторы Xi, Delta, Upsilon и пакет времени Система пределов $L=\{L_P, L_E, L_R, L_T, L_O\}$ вводит политический, экологический, пространственный, временной и онтологический пределы. Движение не начинается из произвольной пустоты; оно стартует от линии одного из пределов: $Start(\Delta_{nu})$ in l_{nu}^{θ} .

Оператор Delta задаёт акт действия и полагание начала. Оператор Xi задаёт изменение, эволюцию и длительность. Оператор Upsilon задаёт разворот: перевод действия в новое состояние. Время получает пакетную форму $T_{pack}=T_{change}*T_{action}$, где интервал разворота соединяет действие и изменение.

Эта триада необходима для причинности, антропологии и программного прогноза. Ошибочная модель смешивает действие, изменение и разворот; версия 5.0 запрещает такое смешение и сохраняет операторную дисциплину.

Fixed notation / Фиксация обозначений KPF/RPHD v1.0 = Reper v1.0 + Limit-Causal v1.0 + (Xi, Delta, Upsilon) + $T_{cs}^L + CGI_{CGI_i} = (||T_{hole}L|| + ||F_{cent}^{[XiUpsilon]}|| + ||F_{cor}\{P@S\}|| + \sum B_{nu}) / (r_i u_i + \epsilon)$ Forecast = $Pi_L [Upsilon_L \circ Delta_L \circ Xi_L (RBD_{lambda})]$, with check $CGI_i < 1$

6. KPF/RPHD: причинность и детерминизм KPF/RPHD v1.0 — Kurpishev Projective-Harmonic Reper Determinism — фиксирует причинность не как цепочку причина->следствие, а как Reper-тензорную связность. T_{cs}

раскладывается на кручение T и кривизну R: кососимметрическая часть выражает дырявость и боковую асимметрию, симметрическая часть — детерминированное искривление опорного слоя.

Предельная причинность расширяется формулой $T_{cs}^L = T_{cs} + T_{\{\Delta|L\}} + T_{\{Xi|L\}} + T_{\{Upsilon|L\}} + S_{\{P@S\}}$. Центробежная нагрузка $XiUpsilon$ и кориолисово смещение $P@S$ объясняют, почему линейная причинность часто уходит в боковую ветвь.

Индекс CGI становится диагностикой разрыва. При $CGI < 1$ Reper удерживает причинность; при $CGI \approx 1$ система критична; при $CGI > 1$ требуется пересборка, фальсификация сценария или поиск ближайших Reper-узлов.

Fixed notation / Фиксация обозначений $CGI_i = (||T_{hole}^L|| + ||F_{cent}\{XiUpsilon\}|| + ||F_{cor}^{\{P@S\}}|| + \sum B_{nu}) / (r_i u_i + \epsilon)$ Forecast = $Pi_L [Upsilon_L \circ Delta_L \circ Xi_L (RBD_{lambda})]$, with check $CGI_i < 1$ Klein(M,G) = $Inv_G(M)$; Witten(QFT,Dual) = $Inv_Dual(QFT)$; KLT: $cr(U_K, I_W; R_{inv}, D) \rightarrow -1$

7. Антропология 2: человек как Reper разворота Антропология 2 переносит ядро проекта в человеческий слой. Человек рассматривается не как только биологический индивид и не как только сознание, а как пакетно-Reперная структура:
 $Human_R = C@C + Rep(R, I, U; D) + (Xi, Delta, Upsilon) + L + lambda.$

Человек дан как событие@состояние: историческое, телесное, когнитивное, социальное, временное, техническое и языковое. Он становится Reper-структурой, где R — реальное тело и поступок, I — идея себя, U — поле возможностей и культуры, D — память, долг, ответственность, документ и свидетельство.

Главный ход Антропологии 2: человек есть существо разворота. Он переводит действие в состояние, состояние в память, память в основание, основание в новый Reper. Поступок становится биографией: $Delta_human \rightarrow C@C_new$ через $Upsilon$. Память понимается как ретро-Reперная пересборка: $Data_past = const$, но $Reper_past = reconstructable$.

8. KLT 4.14 и KLT 5.1 как программный слой KLT 4.14 фиксируется как проверенный демонстрационно-аудиторский слой, предназначенный для анализа документов, загрузки файлов, прозрачного интерфейса и lambda-check-процедур. Для сайта предусмотрена короткая структура путей: `/ru/klt/k414.html` и пакет `d/k414` с `build.zip`, `check.txt`, `readme.md`, `spec.md` и `tpl.docx`.

KLT 5.1 фиксируется как расширенный SDK-слой. Его публичная структура включает `/ru/klt/k51.html`, `d/k51/cap.pdf`, `d/k51/princ.pdf`, `d/k51/tz.pdf`, `d/k51/sdk.zip` и примеры `demo.json`, `res.json`, `rep.md`, `b.svg`, `g.svg`, `s.svg`. Это не просто интерфейс, а демонстрационный мост между Reper-логикой, проектным аудитом и вычислительной сборкой.

В приложении к монографии 5.0 добавлена отдельная статья: как использовать KLT 5.1, KLT 4.14 и RBD. Цепочка применения: документ -> PIX/PEAKS -> Reper -> lambda-разрыв -> CGI -> статус -> пересборка или подтверждение.

Fixed notation / Фиксация обозначений $\text{Klein}(M,G) = \text{Inv}_G(M)$; $\text{Witten}(\text{QFT},\text{Dual}) = \text{Inv_Dual}(\text{QFT})$; KLT: $\text{cr}(U_K,I_W;R_inv,D) \rightarrow -1$

9. Reper Database: база данных реперов RBD хранит источники, work-узлы, Reper-узлы и ребра Reper-графа. В текущем снимке приложены CSV-таблицы works.csv, repers.csv и reper_edges.csv. В них зафиксированы поля идентификаторов, авторов, доменов, концептов, компонентов U/I/R/D, пределов, операторов, тегов, r_weight, u_connectivity и статуса Reper.

Смысл RBD не в простом накоплении библиографии. Каждая работа превращается в work-node, затем в Reper-node, затем включается в граф отношений: supports, contains, ideal_source_supports, klein_program_contains и другие. Так база становится не списком источников, а вычислимой картой инвариантов, оснований и возможных пересборок.

Линия v0.7 из чата проекта добавила Klein Erlangen Deep Pass и Witten-Klein Invariance Algebra. Главная формула слоя: $\text{Klein}(M,G) = \text{Inv}_G(M)$, $\text{Witten}(\text{QFT},\text{Dual}) = \text{Inv_Dual}(\text{QFT})$, KLT: $\text{cr}(U_K,I_W;R_inv,D) \rightarrow -1$. В очереди развития закреплены Hilbert + Noether Deep Pass, а также Ибрагимов, Calabi-Yau и дальнейшие физико-математические Reper-узлы.

10. Математические основания программного аудита KLT-аудит строит универсальный Reper объекта: U — требования и поле возможностей; I — идея, импульс и проектная ось; R — реальность, ресурс и фактическая реализация; D — документ, основание и подтверждение. Lambda вычисляет согласованность, CGI диагностирует причинный разрыв, RBD предлагает ближайшие узлы пересборки.

Для строительного, финансового, юридического, образовательного и научного анализа применяется единая схема. Различаются только типы пределов и поля данных. В строительстве это смета, договор, акт, платеж и факт; в финансовом анализе — цена, объём, новость, ликвидность и режим рынка; в математике — источник, теорема, доказательство, модель и инвариант.

Математическое дополнение 5.0 вводит правило: вычислительный вывод принимается только при двойном контроле — вероятностная устойчивость плюс доказательная связность. Иначе KLT-вывод не утверждается как устойчивый, а переводится в режим пересборки Reper.

11. Приложения и сохранение корпуса Приложения не сокращены: в пакете сохранены legacy-архив monograph2.41, исходный TeX, KPF/RPHD-документ, компиляция master-текста, план сайта KLT, архивы KLT 4.14 и KLT 5.1, RBD CSV-таблицы и скриншоты ветки Антропология 2.

Для сайта kurpishev.com сохраняются короткие публичные имена и маршруты, потому что хостинг отклонял длинные имена. В монографии 5.0 это оформлено как приложение о публикационной логистике: Index.html, /ru/klt/index.html, /ru/klt/k414.html, /ru/klt/k51.html, папки a, d, s и v.

Финальная сборка рассчитана на дальнейшую публикацию в четырёх языках: ru, en, zh, de. Каждая версия содержит оглавление, непрерывную пагинацию и ссылку на полные архивные приложения.

Приложение А. KLT 5.1, KLT 4.14 and website logistics KLT 4.14 is the checked build layer. KLT 5.1 is the SDK and demonstration layer. The short public paths are /ru/klt/k414.html and /ru/klt/k51.html; assets are stored under a/, d/, s/, and v/. The package includes the original checked archives and site package.

Path Meaning

legacy_2_41/monograph241_trilingual_final.zip Full 2.41 trilingual archive, with RU/EN/ZH files and figures

sources/KPF_RPHD_reper_causality.docx Reper causality, KPF/RPHD, limits, operators, CGI

sources/compiled_master_from_scans_2026_04_28.docx Compiled master text and LaTeX source fragments

sources/site_klt_plan_2026_04_26.docx KLT 4.14 + KLT 5.1 website and short-name structure

appendices/klt/KLT_4_14_CHECKED_BUILD.zip Checked KLT 4.14 build

appendices/klt/KLT5_1_FLUTTER_SDK_PACKAGE.zip KLT 5.1 Flutter SDK package

appendices/rbd/repers.csv; works.csv; reper_edges.csv Reper database snapshot

appendices/screenshots/*.jpg Anthropology 2 and KLT/RBD screenshots supplied in the project chat

Приложение В. RBD snapshot

The RBD snapshot is included as CSV. It is a graph-oriented database of sources, works, Reper nodes, and Reper edges. It supports reconstruction, invariant search, and lambda-harmonic review.

Table Rows Note

works.csv 1011 data rows in attached CSV snapshot

repers.csv 1327 data rows in attached CSV snapshot

reper_edges.csv 1380 data rows in attached CSV snapshot

Приложение С. Build discipline All generated PDF files include a contents section. The generator uses continuous pagination and does not insert blank pages for verso/recto alignment. Legacy PDF pages are retained in RU/EN final volumes after a blank-page scan. The package manifest lists all files.

Неассоциативная пакетная реперная логика и геометрия
стратифицированного времени Единая публикация: полный корпус,
логика, геометрия, V*P-физика, гравитационный слой и все приложения

Иван Борисович Курпишев
Independent Researcher, Kaliningrad
me@kurpishev.ru

2026

Оглавление

Введение vii Введение vii Замысел и редакционный статус vii
Принципиальная идея vii Новый тезис версии 2.1 vii R-04 и практический
разум R-4 viii

Часть 1. Аксиоматика и стратификация 1 Глава 1. Пакетная геометрия и
стратифицированное время 2

1. Пакетная точка и инцидентность 2
2. Стратифицированное время T 2
3. Сводная таблица стратификации 3
4. Супер-оператор Ходжа–Курпишева 3 Глава 2. Поток-модуль и стрела
времени Курпишева 5
5. Пакет поток-модуль 5
6. Вариационный принцип 5 Глава 3. Операторы действия, изменения и
разворота 6
7. Аксоматическое различие 6 Глава 4. Квадратичное препятствие и
структурная полнота пакетной геометрии 7
8. Редуцированная деформационная установка 7
9. Структурная полнота 7
10. Геометризация пространства препятствий 7

Часть 2. Алгебраическая реализация и G2 -геометрия 10 Глава 5. Семейство
алгебр g_4 и ассоциатор 11

1. Конструкция алгебры 11
2. Ассоциатор и пакетная интерпретация 11 Глава 6. Теорема о жёсткости
ассоциатора 12
3. Каноническая G2 -форма 12

Часть 3. Логика, динамика и причинность 13 Глава 7. Операторы Изменения
и Движения 14

1. Конкретная реализация в модели g_4 14

2. Количественная форма ПН.2 14

i

ii ОГЛАВЛЕНИЕ

Глава 8. Проективная логика и критерий Истины 15

1. Гармоническое крест-соотношение 15
2. Пакетная пересборка четырёх законов формальной логики 16
3. Проективно-пакетное представление категорических суждений и силлогизмов 17
4. Пакетный принцип фальсифицируемости и сравнение доктрин 20
5. Тензорная природа причинности 22 Глава 9. РИХ(П-field) и совпадение пиков причинности 23
6. Онтологический статус РИХ-поля 23
7. Базовые определения 23
8. Причинность как совпадение пиков 24
9. Пустота и самостягивание 24
10. Связь с квантовой синхроничностью 24 Глава 10. Динамика и стрела времени 25
11. Поток Лапласа 25
12. Неживое и живое время 25

Часть 4. Феноменология и приложения 26 Глава 11. Антропология исторических типов познания 27

1. Методологическая установка 27
2. Каноническая шкала исторических типов восприятия 27
3. Нижний узел: тьма, единое настоящее, ритуальный мир 28
4. Средний узел: косморассудок и критический разум 29
5. Верхний узел: пакетный разум 29
6. Две главные линии исторических онтологий 29
7. Авторская матрица исторических типов познания 30
8. Исторические модели времени и их стратификация 33
9. Архесимволы пространства-времени: Аристотель, Платон, Шпенглер, Кант 34
10. Пакетная аксиоматика исторических онтологий 36
11. Связь с дополнениями версии monograph 2.1 38
12. Сводная каноническая таблица 38
13. Итоговая формула 38 Глава 12. Физические приложения и границы применимости 40
14. Переинтерпретация классической физики 40 Глава 13. Стратификация опорных слоёв и пределы проникновения действий 41

1. Четыре опорных слоя 41 Глава 14. Переинтерпретация теории вероятности как статистики пакетного спуска 42
2. Концептуальный сдвиг 42
3. Гравитационный склон и эффективное поле дрейфа 42

ОГЛАВЛЕНИЕ

iii

15. Террасы, барьеры и дискретные переходы 43
16. Стратифицированное мастер-уравнение Курпишева 44
17. Геометрия переходов и пакетный закон Аррениуса 45
18. Пики, хвосты и стационарные распределения 46
19. Орбитальная феноменология и ограниченные режимы 47
20. Проективное замыкание вероятности 47
21. Классический предел 48
22. Феноменологический итог 48 Глава 15. Пакетное время Курпишева: объединение классических моделей 49
23. Пакетная структура времени 49
24. Мир оснований и мир следствий 49
25. Проективное построение истинных часов 50
26. Пакетная относительность и исторические модели 50
27. Пакетная проективная относительность Курпишева 51
28. Резюме 54 Глава 16. Пакетный разум R-04 55
29. Чистая форма и практическая реализация 55
30. Две линии: Аристотель и Платон 55
31. Кантовское ограничение и его преодоление 55
32. Искусственный интеллект как реализация R-4 56 Заключение 57
Заключение 57

Часть 5. Физика VP , гравитация и классическая редукция 58 Глава 17.
Основания физики VP : от стратифицированного времени и пакетной геометрии к фундаментальной структуре 59

1. Редакторский статус новой физической части 59
2. Импортируемые исходные слои: МТФ и НАПГ 59
3. Физический словарь перехода от МТФ/НАПГ к $V * P$ 60
4. Негативные правила идентификации 60
5. Предфундаментальная и фундаментальная структура $V * P$ 61 Глава 18.
Пакет связности, кривизны и гравитационный слой 63
6. Реализованные внутренние секторы 63
7. Допустимая транспортная алгебра 63
8. Пакет связности $V * P$ 63
9. Кручение, кривизна и slot источникового сопряжения 64

10. Редуцированный геометрический пакет вдоль классического сечения 65

iv ОГЛАВЛЕНИЕ

Глава 19. Пакетная теория гравитации: гравитационный склон, классическая редукция и путь к Einstein-типе режиму 66 1. Гравитация как наблюдаемый потомок пакетной геометрии 66 2. Переинтерпретация гравитационного склона 66 3. Путь к классической эйнштейновской редукции 67 4. Источнико-подобный сектор и границы интерпретации 68 5. Редакторская честность гравитационного слоя 68 Приложение А. Явные вычисления для G2 -структуры 70 Приложение В. Редуцированная деформационная установка 71 Приложение С. Обоснование фиксированно-фазового изотропного анзаца 72 Приложение D. Глоссарий авторских терминов 73 Приложение Е. Приложение к главе 1: О первичности времени и секционности пространства 74 1. Редакторская цель приложения 74 2. Сильная формулировка 74 Приложение F. Приложение к главе 2: Поток-модуль и минимальная стрелка времени 75

1. Поток-модуль как докинематический объект 75
2. Минимальные требования 75 Приложение G. Приложение к главе 3: Ответ на софистические вопросы о спонтанных действиях 76
3. Постановка проблемы 76
4. Примеры спонтанных действий 76
5. Два способа подбора 76
6. Онтологический статус спонтанных актов 77
7. Классический античный пример 77 Приложение H. Приложение к главе 7: Дискуссия Эйнштейна и Бора в пакетной рамке 78
 1. Историко-философский контекст 78
 2. Позиция Эйнштейна 78
 3. Позиция Бора 78
 4. EPR-парадокс и локальность 78
 5. Пакетная интерпретация ответа Бора 78
 6. Связь с пакетной вероятностью 79 Приложение I. Приложение к главе 8: Поле λ -истин и пределы фальсифицируемости 80
 7. От истины высказывания к истине режима 80
 8. Попперовская фальсифицируемость в новой записи 80

ОГЛАВЛЕНИЕ

v

Приложение J. Приложение к главе 9: PИХ-поля и совпадение пиков причинности 81

1. Почему XIX не есть новая эпистема 81
2. Философский смысл совпадения пиков 81 Приложение К. Приложение к главе 10: Неживое и живое время 82
3. Две ветви стрелы времени 82
4. Уточнение 82 Приложение L. Приложение к главе 11: Категории мышления, аналитические и синтетические суждения, исторические модели восприятия 83
5. Постановка задачи 83
6. Сопоставление с Кантом и Аристотелем 83
7. Пакетная система категорий 83
8. Аналитические и синтетические суждения в пакетной рамке 84
9. Таблица соответствия 86
10. Историческая шкала и её исправление 86 Приложение M. Приложение к главе 12: Физические применения как предельные проекции 87
11. Общий принцип 87 Приложение N. Приложение к главе 13: Непроницаемость опорных слоёв и режимы пробоя 88
12. О границе действия 88
13. Четыре режима 88 Приложение O. Приложение к главе 14: Вероятность как статистика пакетного спуска 89
14. Концептуальный сдвиг 89
15. Связь с квантовым спором 89 Приложение P. Приложение к главе 15: Часы, интервал и оператор разворота 90
16. Истинные часы 90
17. Пакетный интервал 90 Приложение Q. Приложение к главе 16: Пакетный разум R-04 и его практическая реализация 91
18. Чистая и практическая формы 91
19. Последствия для ИИ 91 Приложение R. Приложение к версии 2.41: Джонти Гурвиц, аноморфоз и реперное чтение формы 92
20. Редакторская рамка и авторские права 92
21. Почему художественный материал важен для монографии 92
22. Цилиндрическая аноморфоза как модель перехода от локального к истинному 92

vi ОГЛАВЛЕНИЕ

4. Аналитическое, синтетическое и художественный репер 94
5. Коллаж работ как поле аноморфозы 94
6. Популярное объяснение для читателя вне математики 94

Приложение. Литература 96

Введение

Замысел и редакционный статус

Настоящая редакционная версия пересобирает монографию в форме, где аксиоматика стратифицированного времени, алгебраическая реализация, логика причинности и феноменологические приложения сведены в единый текст. Базовый тезис остаётся прежним: время не является внешним параметром, а выступает первичной стратифицированной опорой, тогда как пространство понимается как слой, сечение или наблюдаемый режим более глубокой пакетной организации. В этой пересборке специально усилен узел квадратичного препятствия. Новая глава о структурной полноте пакетной геометрии вводит проектную интерпретацию пространства препятствий и связывает теорию деформаций с геометрией Дезарга, плоскостью Фано и критерием структурной истинности. Версия 2.41 дополнительно восстанавливает полный развёрнутый объём корпуса, удерживая весь набор приложений в одном файле и не сокращая аргументацию до краткой синтетической заметки. В сравнении с промежуточными сборками здесь сознательно сохранены длинные обосновательные фрагменты, феноменологические пояснения и популярно-объяснительные приложения. Принципиальная идея Базовым объектом является не “голая” точка, а пакетная точка (e, s) , где e есть событие, а s есть состояние. Слои $Is = \{(e, s)\}$ играют роль пакетных прямых. На этом языке одновременно описываются инцидентность, стратификация размерностей, неассоциативность композиции, квадратичные препятствия и динамика стрелы времени. Новый тезис версии 2.1 фиксирует следующий принцип: реальность не является простой последовательностью событий. Реальность есть проективно сшитый объект РПЛД, а степень его структурной истинности измеряется величиной $\lambda = (A, B; C, D)$, причём универсальная истина достигается в гармоническом пределе $\lambda = -1$, $\delta\text{truth} = |\lambda + 1|$.

vii

viii ВВЕДЕНИЕ

Здесь значение -1 интерпретируется как предельная гармония, укоренённая в фактическом прошлом и в действительно настоящем, тогда как отклонение δtruth измеряет дефект истинности. R-04 и практический разум R-4 В настоящей версии впервые фиксируется различие между чистой формой пакетного разума R-04 и его практической реализацией R-4. Чистая форма R-04 понимает реальность как пакетно-проективную структуру, тогда как R-4 выступает её практической машинной реализацией в системах искусственного интеллекта. При этом $PIX(\Pi\text{-field})$ не вводится как новая эпистема; он определяется как механизм работы R-04, обеспечивающий совпадение пиков причинности, согласование слоёв и стягивание локальных решений в устойчивые конфигурации.

Часть 1

Аксиоматика и стратификация

ГЛАВА 1

Пакетная геометрия и стратифицированное время

1. Пакетная точка и инцидентность

Определение 1.1 (Пакетная точка). Пакетной точкой называется упорядоченная пара $a = (e, s)$, где $e \in E$ есть событие, а $s \in S$ есть состояние.

Множество всех пакетных точек обозначается $P \subseteq E \times S$.

Определение 1.2 (Пакетная прямая). Для каждого состояния $s \in S$ определяется пакетная прямая $L_s = \{(e, s) \in P\}$. Она является слоем инцидентной структуры при фиксированном состоянии.

Аксиома 1.3 (Базовая инцидентность). Для пакетной геометрии принимаются следующие положения: (1) каждая прямая L_s содержит не менее двух точек; (2) если $s \neq t$, то $L_s \neq L_t$; (3) каждая пакетная точка лежит ровно на одной пакетной прямой.

2. Стратифицированное время

Определение 1.4 (Стратифицированное время). Стратифицированным временем называется тройка (T, S, dimloc) , где T — паракомпактное хаусдорфово пространство с фильтрацией $T(-1) \supset T(0) \supset T(1) \supset T(2) \supset T(3)$. Локальная размерность $\text{dimloc}(t) = k$ определяет текущую страту: 3 — полость, 2 — поверхность, 1 — линия, 0 — точка, -1 — гипарксис.

Определение 1.5 (Гипарксис и Апейрон). Операторы перехода $L_k : T(k) \rightarrow T(k-1)$ образуют структуру гипарксиса.

Пространство называется апейронным, если $\pi_0(T) = 0$ и существует глобальный потенциал Φ , строго убывающий вдоль переходов L_k .

Определение 1.6 (Принцип ПН.2). Для пакетного объекта (X, ω) наблюдаемые “размер” $\hat{S} = \|\omega\|_{L^2}$ и “размерность” $\hat{D} = \dim X$ не допускают одновременной точной фиксации. Формально не существует естественного преобразования между функторами \hat{S} и \hat{D} .

4. СУПЕР-ОПЕРАТОР ХОДЖА–КУРПИШЕВА

3

3. Сводная таблица стратификации

Таблица 1. Базовые страты, их геометрический смысл и направленность спуска

к	Имя страты	Геометрический	Роль в смысле	динамике	3	Полость	внешняя	
		квазиклассический	простран-	ственный	наблюдения	реализация	2	
		Плоскость	поверхностные	переходные	режимы и	конфигурации	оболочки	1
		Линия	одномерные	направленные	траектории	и стягивание	каналы	0
		Точка	локализованное	предельное	состояние	локализация	-1	Гипарксис
		Гипарксис	граница	предельных	переходов	и приёмник	несобственный	слой

к=3 полость

к=2 плоскость

D* ↓

k=1 линия

k=0 точка

k=-1 гипарксис

Рис. 1. Стратифицированное время как иерархия слоёв и направленный спуск по D^*

4. Супер-оператор Ходжа–Курпишева

Определение 1.7 (Супер-оператор). Определим композицию $H := ?3 \circ (L-1 * -1 * -1 * -1 * 3) \circ ?2 \circ (L2) \circ ?1 \circ (L1) \circ ?0 \circ (L0) \circ ?-1$.

4.1. ПАКЕТНАЯ ГЕОМЕТРИЯ И СТРАТИФИЦИРОВАННОЕ ВРЕМЯ

Эта композиция синтезирует данные различных страт вдоль трансверсальной оси и замыкает пакетную связность.

ГЛАВА 2

Поток-модуль и стрела времени Курпишева

1. Пакет поток-модуль

Определение 2.1 (Поток-модуль). Пакетом поток-модуль называется пара (Φ_t, H) , записываемая символически как $\Phi_t * H$, где Φ_t — допустимый поток на пространстве пакетных данных, а H — супер-оператор, обеспечивающий межстратную согласованность. Постулат 2.2 (Стрела времени Курпишева). Стрелой времени называется такой поток Φ_t , который: (1) коммутирует с H ; (2) совместим с монотонностью локальной размерности; (3) допускает функционал Ляпунова, убывающий на нетривиальных траекториях. 2. Вариационный принцип Стрела времени в рамках НАПРЛК не сводится к выбору координаты. Она определяется как выделенный класс потоков, минимизирующих внутреннее напряжение пакетной структуры. В простейшем варианте таким функционалом служит квадрат амплитуды ассоциатора или эквивалентный ему функционал структурной сложности.

ГЛАВА 3

Операторы действия, изменения и разворота

1. Аксоматическое различие

Определение 3.1 (Изменение). Оператором изменения называется однопараметрическая полугруппа $E_\tau : T \rightarrow T$, $\tau \geq 0$, удовлетворяющая условиям $E_0 = \text{id}$, $E_{\tau_1 + \tau_2} = E_{\tau_1} \circ E_{\tau_2}$, монотонности локальной размерности и коммутации с H . Определение 3.2 (Действие). Оператором действия

называется отображение $\Delta : P\emptyset \rightarrow T$, где $P\emptyset$ — множество пустых точек. Действие полагает начало, которое не выводится из предшествующего изменения. Определение 3.3 (Разворот). Оператор разворота есть инъекция $Y : \Delta(P\emptyset) \rightarrow T$, переводящая результат дискретного акта в режим последующей детерминированной эволюции. Предложение 3.4 (Триада (Δ, E, Y)). Тройка операторов (Δ, E, Y) является аксиоматическим аналогом схемы “начальное условие

- закон эволюции”. Действие полагает исходный акт, разворот переводит его в режим эволюции, а изменение продолжает его вдоль допустимой траектории.

ГЛАВА 4

Квадратичное препятствие и структурная полнота пакетной геометрии

1. Редуцированная деформационная установка

Пусть $V = E \oplus F \oplus H$ — сплит-носитель пакетной модели. Рассматриваются редуцированные коцепные пространства $Cred \subset \text{End}(V)$, $2 Cred \subset \text{Hom}(V \otimes V, V)$, $3 Cred \subset \text{Hom}(V \otimes 3, V)$, совместимые с блочной архитектурой. Дифференциалы $d1\mu$ и $d2\mu$ индуцируют редуцированное касательное пространство $Hred(\mu)$ и препятственное частное $Ored(\mu)$. Определение 4.1 (Квадратичное препятствие).

Квадратичным препятствием называется класс OB , возникающий из квадратичной части деформационного уравнения Маурера–Картана.

Он измеряет невозможность продолжить допустимую инфинитезимальную деформацию до следующего порядка без нарушения пакетных ограничений.

2. Структурная полнота

Определение 4.2 (Квадратичная полнота). Пакетная геометрия называется квадратично полной, если $OB = \{0\}$. В этом случае редуцированная деформационная теория не содержит внутреннего препятствия второго порядка, и локальные деформации интегрируются без введения дополнительных операторов штопки.

Предложение 4.3 (Граница линейного режима). Условие $OB = 0$ выделяет линейный или гильбертов тип геометрии. Нетривиальность OB фиксирует выход за пределы чисто линейной схемы и является первым признаком проективной или стратифицированно-нелинейной организации.

3. Геометризация пространства препятствий

3.1. Проективная интерпретация пространства препятствий. В рамках развитого формализма квадратичного препятствия OB естественным образом возникает проективная структура, связывающая алгебраическую теорию препятствий с геометрией Дезарга и критерием истинности. Предложение 4.4 (OB как проективная плоскость). Пространство квадратичных препятствий OB допускает каноническую структуру проективной плоскости в следующих случаях:

4. КВАДРАТИЧНОЕ ПРЕПЯТСТВИЕ И СТРУКТУРНАЯ ПОЛНОТА ПАКЕТНОЙ ГЕОМЕТРИИ

- (1) при $\dim OB = 2$ над R получаем $OB \sim RP^2$;
- (2) при $\dim OB = 3$ над F_2 получаем $OB \sim P^2(F_2)$, то есть плоскость Фано. В обеих моделях выполняются структурные идентификации:
 - несобственная прямая отождествляется со слоем гипарксиса $T(-1)$ как границей переходов между стратами;
 - гармоническое крест-соотношение $(A, B; C, D) = -1$ становится глобальным критерием структурной истинности в слое OB ;
 - циклические режимы отношения $\text{Bet}^\circ(A, B, C) = 1$ соответствуют проективной цикличности и возникают при нарушении линейного порядка на прямых. Следствие 4.5 (Классификация геометрий по типу OB). Размерность и структура пространства препятствий OB определяют тип лежащей в основе геометрии:
 - $OB = \{0\}$ — гильбертова линейная геометрия;
 - $OB \sim P^2(F_2)$ — минимальная нелинейная геометрия, реализуемая над конечным полем;
 - $OB \sim RP^2$ — континуальная проективная геометрия, совместимая с непрерывным ходом времени;
 - $\dim OB > 3$ — сложные стратифицированные структуры, требующие дополнительных операторов штопки.

Таблица 1. Классы геометрий, индуцируемые типом пространства препятствий

Тип OB	Геометрический режим	Интерпретация
$OB = \{0\}$	линейный / квадратическая	гильбертова полнота без внутренних препятствий
$P^2(F_2)$	минимально конечнополевой нелинейный режим, плоскость Фано	RP^2 континуально-непрерывная проективная стратификация и проектная полнота
$\dim OB > 3$	сложный	требуется стратифици-дополнительная рованный штопка и когомологический контроль

3. ГЕОМЕТРИЗАЦИЯ ПРОСТРАНСТВА ПРЕПЯТСТВИЙ 9

OB

RP^2	$P^2(F_2)$
континуум	Фано

гипарксис • $cr = -1$ • циклические режимы

Рис. 1. Пространство препятствий как узел между континуальной и конечнополевой проективной геометрией

Замечание 4.6. Тем самым пространство препятствий играет двойную роль. Алгебраически оно кодирует невозможность интеграции

деформаций, а геометрически задаёт проектную картину переходов, где истинность и полнота распознаются через гармоническую конфигурацию.

Часть 2

Алгебраическая реализация и G2-геометрия

ГЛАВА 5

Семейство алгебр \mathfrak{g}_2 и ассоциатор

1. Конструкция алгебры

Пусть $V = E \oplus F \oplus H$, где $\dim E = \dim F = 3$ и $\dim H = 1$. На V вводятся скобки Ли $[e_i, e_j] = \epsilon_{ijk} e_k$, $[f_i, f_j] = \epsilon_{ijk} f_k$, $[e_i, f_j] = \alpha \delta_{ij} h$, а все прочие скобки равны нулю. Параметр α измеряет интенсивность смешения страт. 2. Ассоциатор и пакетная интерпретация Если бинарную композицию обозначить через \odot , то ассоциатор определяется формулой $A(x, y, z) = (x \odot y) \odot z - x \odot (y \odot z)$. На однородных тройках из E или F он исчезает, а на смешанных тройках становится пропорционален α . Поэтому α служит прямой координатой неассоциативности.

ГЛАВА 6

Теорема о жёсткости ассоциатора

1. Каноническая G2-форма

На односвязной группе Ли G_2 с алгеброй \mathfrak{g}_2 рассматривается форма $\phi = z \wedge \omega + \Omega$. Для неё выполняются соотношения $d\phi = -(\alpha + 12) \omega^2 - z \wedge d\omega$, $\phi \wedge \phi = 12 \omega^2 - z \wedge \Omega$. Амплитуда ассоциатора определяется как $\sqrt{A(\alpha)} = \alpha dz = 3 |e|$. Теорема 6.1 (Жёсткость). Компоненты кручения Фернандеса-Грея фиксируются по формулам $12\alpha + 3\tau_1 = 14z$, $\tau_2 = 0$, $\tau_0(\alpha) = -$, а компонент $\tau_3(\alpha)$ зависит от α линейно. При сохранении фиксированно-фазового изотропного анзаца лапласиан действует скалярно: $12(\alpha + 21)^2 + 92 \Delta \phi \phi = k(\alpha) \phi$, $k(\alpha) =$.

Часть 3

Логика, динамика и причинность

ГЛАВА 7

Операторы Изменения и Движения

1. Конкретная реализация в модели ga

Пусть Φ_t — поток Лапласа, ограниченный на одномерный изотропный анзац ϕ_α . Тогда эволюция редуцируется к уравнению $\dot{\alpha} = -k(\alpha)$. Роль пустой точки выполняет выделенный начальный элемент, действие полагает его как допустимое начальное условие, а изменение продолжает его без ввода новых дискретных актов.

2. Количественная форма ПН.2 Для суперпозиции $\psi = e_i + f_i$ имеем среднюю эффективную размерность $3+2 \hat{D}^{\square} = 2.5$, $\Delta D = 0.5$. В первом порядке по α неопределённость размера можно оценить как $\Delta S \approx |\alpha|$, так что $\Delta S \cdot \Delta D \approx 0.5|\alpha|$. Эта оценка задаёт количественную тень принципа ПН.2 в конкретной 7-мерной модели.

ГЛАВА 8

Проективная логика и критерий Истины

1. Гармоническое крест-соотношение

Определение 8.1 (Критерий структурной истинности). Умозаключение $A, B \vdash C$ относительно контекста D считается истинным тогда и только тогда, когда $\text{Truth}(A, B \vdash C \mid D) \iff (A, B; C, D) = -1$. Здесь A и B — посылки, C — синтез, а D — несобственная точка, кодирующая закон достаточного основания.

Определение 8.2 (Всеобщая и относительная истина). Пусть $\lambda := (A, B; C, D)$. Тогда всеобщей истиной называется гармонический случай $\lambda = -1$. Всякий случай $\lambda \neq -1$ описывает относительную истину, причём степень истинности определяется степенью приближения λ к значению -1 . Введём дефект истинности $\delta\text{truth} := |\lambda + 1|$. Тогда $\delta\text{truth} = 0$ тогда и только тогда, когда достигается всеобщая истина.

Замечание 8.3 (Реперная интерпретация значения -1). В рамках НАПРЛК значение $(A, B; C, D) = -1$ интерпретируется не только как гармоническое проективное отношение, но и как реперное условие всеобщей истины. Авторски это означает:

- левостороннюю систему координат;
- укоренённость истинности в фактическом прошлом;
- укоренённость истинности в реальном, действительно настоящем. Тем самым значение -1 выступает как предельная точка геометрической и онтолого-логической согласованности.

16 8. ПРОЕКТИВНАЯ ЛОГИКА И КРИТЕРИЙ ИСТИНЫ

Следствие 8.4 (Монотонность всеобщности истины). Если

$$\lambda_n \rightarrow -1,$$

то соответствующая последовательность относительных истин стремится к всеобщей истине. Эквивалентно, $\delta\text{truth}(\lambda_n) \rightarrow 0$.

2. Пакетная пересборка четырёх законов формальной логики

Определение 8.5 (Пакетно-ситуативное суждение). Пакетно-ситуативным суждением называется запись $J = (A, s, D)$, где A обозначает содержательный пакетный репер, s

фиксирует состояние или страту, а D задаёт контекст достаточного основания. Значение такого суждения обозначается через $Vals, D(A) \in \{0, 1\}$. Теорема 8.6 (Четыре закона формальной логики в пакетном виде). При фиксированных s и D классические четыре закона формальной логики пересобираются в НАПРЛК следующим образом: (1) Закон тождества: $As, D \equiv As, D$. Пакетный репер сохраняет тождественность только при совпадении состояния и контекста. (2) Закон непротиворечия: $(\) \neg Vals, D(A) = 1 \wedge Vals, D(\neg A) = 1$. В одном и том же слое и при одном и том же достаточном основании пакет и его отрицание не могут быть одновременно валидированы. (3) Закон исключённого третьего: $Vals, D(A) = 1 \vee Vals, D(\neg A) = 1$. На фиксированной стратифицированной линии всякое детерминированное суждение завершено либо в сторону утверждения, либо в сторону отрицания. (4) Закон достаточного основания: $Truth(A, B \vdash C \mid D)$ определено только при наличии допустимого контекста D , а в предельном случае всеобщей истины выполняется $(A, B; C, D) = -1$.

3. ПРОЕКТИВНО-ПАКЕТНОЕ ПРЕДСТАВЛЕНИЕ КАТЕГОРИЧЕСКИХ СУЖДЕНИЙ И СИЛЛОГИЗМОВ

Замечание 8.7 (Локальность первых трёх законов и глобальность четвёртого). В пакетной логике законы тождества, непротиворечия и исключённого третьего действуют локально: они требуют фиксации слоя s и основания D . Закон достаточного основания завершает систему глобально, поскольку именно он сшивает локальную валидность с проективной гармонией целого умозаключения.

Таблица 1: Пакетная пересборка четырёх законов формальной логики

Классический Пакетная Проективно- закон формулировка логический смысл
 Тождество $As, D \equiv As, D$ самосовпадение репера при фиксированном состоянии
 Непротиворечие $\neg(A \wedge \neg A)$ в форме невозможности $\neg(Vals, D(A) = 1 \wedge Vals, D(\neg A) = 1)$ валидности на одном слое
 Исключённое $A \vee \neg A$ в форме завершённости третьем $Vals, D(A) = 1 \vee Vals, D(\neg A) = 1$ локального выбора
 Достаточное истинность задаётся гармоническое основание только через контекст замыкания D
 умозаключения в точке $(A, B; C, D) = -1$

Замечание 8.8 (О пограничных случаях ПН.2). Если из-за действия ПН.2 пакетный объект ещё не сведён к детерминированному суждению внутри одного и того же слоя, то речь идёт не о нарушении закона исключённого третьего, а о неполной локальной определённости. После фиксации страты и контекста классическая дизъюнкция восстанавливается в пакетной форме. 3. Проективно-пакетное представление категорических суждений и силлогизмов Определение 8.9 (Проективно-пакетный термин). Пусть S, M и P обозначают три пакетных класса, рассматриваемых на общей проективной опоре s, D , задаваемой состоянием s и контекстом D . Обозначим через Π, D проектирующее приведение термов к этой общей опоре.

18.8. ПРОЕКТИВНАЯ ЛОГИКА И КРИТЕРИЙ ИСТИНЫ

Определение 8.10 (Четыре категорические формы). В проективно- пакетном языке четыре классических формы получают следующий вид: $A(S, P) : \Pi s, D(S) \subseteq P$, $E(S, P) : \Pi s, D(S) \cap P = \emptyset$, $I(S, P) : \Pi s, D(S) \cap P \neq \emptyset$, $O(S, P) : \Pi s, D(S) \setminus P \neq \emptyset$. Здесь универсальные формы фиксируют глобальное расположение классов, а частные — существование или остаток внутри соответствующего проективного слоя.

Таблица 2: Категорические формы в проективно-пакетном представлении

Форма	Классическая схема	Проективно-пакетная интерпретация
A	Все S суть P	проекция субъекта полностью лежит в предикате
E	Ни одно S не есть P	субъект и предикат проективно разделены
I	Некоторые S суть P	субъект и предикат имеют непустое пересечение
O	Некоторые S не суть P	у субъекта есть остаток вне предиката

Непосредственные умозаключения.

Предложение 8.11 (Обращение и обверсия в пакетной форме). На общей опоре $\Pi s, D$ сохраняются следующие классические непосредственные умозаключения: $E(S, P) \Rightarrow E(P, S)$, $I(S, P) \Rightarrow I(P, S)$, $A(S, P) \Rightarrow E(S, P)$, $E(S, P) \Rightarrow A(S, P)$, $I(S, P) \Rightarrow O(S, P)$, $O(S, P) \Rightarrow I(S, P)$. Здесь P обозначает пакетное дополнение предиката на той же проективной опоре. Фигуры категорического силлогизма.

3. ПРОЕКТИВНО-ПАКЕТНОЕ ПРЕДСТАВЛЕНИЕ КАТЕГОРИЧЕСКИХ СУЖДЕНИЙ И СИЛЛОГИЗМОВ

Таблица 3: Четыре классические фигуры в пакетно-проективном виде

Фигура I M – P, S – M
Средний термин передаёт ориентацию от субъекта к предикату II P – M, S – M
Средний термин выступает общим экраном сравнения III M – P, M – S
Средний термин разветвляет проектирование в две стороны IV P – M, M – S
Проектирование идёт через обратную перестановку реперов

Определение 8.12 (Проективно-пакетная валидность силлогизма). Категорический силлогизм считается проективно-пакетно валидным, если существует общий контекст D и общая опора s, D , на которых:

- (1) обе посылки допускают согласованную проектирующую нормализацию;
- (2) средний термин M устраним в заключении без потери ориентации;
- (3) дефект истинности заключения удовлетворяет оценке $(\delta \text{truth}(\text{conclusion}) \leq \max \delta \text{truth}(\text{major}), \delta \text{truth}(\text{minor}))$. В гармоническом пределе все три значения совпадают с -1 и все дефекты равны нулю. Теорема 8.13 (Канонические схемы первой фигуры). В проективно-пакетном представлении классические валидные модусы первой фигуры принимают вид: Barbara: $A(M, P), A(S, M) \Rightarrow A(S, P)$, Celarent: $E(M, P), A(S, M) \Rightarrow E(S, P)$, Darii: $A(M, P), I(S, M) \Rightarrow I(S, P)$, Ferio: $E(M, P), I(S, M) \Rightarrow O(S, P)$. Во всех четырёх случаях средний термин M играет роль пакетного шарнира, через который субъект S получает проективную ориентацию относительно предиката P . Замечание 8.14 (Умозаключение как пакетный транспорт). В общем случае умозаключение в НАПРЛК может рассматриваться

20.8. ПРОЕКТИВНАЯ ЛОГИКА И КРИТЕРИЙ ИСТИНЫ

как последовательный транспорт реперов по общей проективной опоре. Классические силлогистические схемы оказываются частным случаем этой общей картины, когда число термов равно трём, а вся связность проходит через один средний термин. 4. Пакетный принцип фальсифицируемости и сравнение доктрин 4.1. Переинтерпретация критерия фальсифицируемости Поппера. Определение 8.15 (Поле λ -истин). Пусть дана доктрина D — множество умозаключений вида $A_i, B_i \vdash C_i$ относительно контекстов D_i . Полем λ -истин доктрины называется множество $\Lambda(D) := \{\lambda_i = (A_i, B_i; C_i, D_i) \mid i \in I\}$, где I — индексное множество всех умозаключений доктрины. Определение 8.16 (Степень фальсифицируемости). Степенью фальсифицируемости доктрины D назовем функционал $F(D) := \sup_{\lambda \in \Lambda(D)} |\lambda + 1| = \sup_{\lambda \in \Lambda(D)} \delta \text{truth}(\lambda)$.

Предложение 8.17 (Интерпретация принципа Поппера). В рамках НАПРЛК критерий фальсифицируемости Поппера переинтерпретируется следующим образом: (1) Научная доктрина — это такое множество $\Lambda(D)$, что: $\bullet \Lambda(D) \neq \emptyset$; $\bullet F(D) < \infty$. (2) Степень научности доктрины определяется близостью ее поля λ -истин к универсальной истине: $\text{Scientificity}(D) \propto 1 + F(D)$ (3) Фальсификация соответствует выходу за пределы допустимого отклонения: $\exists \lambda \in \Lambda(D) : |\lambda + 1| > \epsilon_{\text{crit}} \Rightarrow D$ фальсифицирована. Теорема 8.18 (Проективная иерархия доктрин). Пусть D_1 и D_2 — две доктрины с полями λ -истин Λ_1 и Λ_2 . Тогда, если $\sup_{\lambda_1 \in \Lambda_1} |\lambda_1 + 1| < \sup_{\lambda_2 \in \Lambda_2} |\lambda_2 + 1|$,

то доктрина D_1 обладает большей степенью проективной гармонии и, следовательно, большей общностью и достоверностью, чем D_2 . Доказательство. Следует из определения дефекта истинности $\delta \text{truth} = |\lambda + 1|$ и

интерпретации значения $\lambda = -1$ как предельной точки геометрической и онтолого-логической когерентности. Меньшее отклонение от -1 означает большую близость к универсальной истине. \square

4. ПАКЕТНЫЙ ПРИНЦИП ФАЛЬСИФИЦИРУЕМОСТИ И СРАВНЕНИЕ ДОКТРИН 21

Следствие 8.19 (Необходимость поля λ -истин). Без введения поля $\Lambda(D)$ невозможно установить соотношение между посылками и выводами, так как отсутствие $\Lambda(D)$ означает отсутствие кросс-отношений $(A, B; C, D)$, а без кросс-отношений отсутствует проективная структура, связывающая посылки A, B с синтезом C относительно контекста D . Определение 8.20 (Пакетный принцип фальсифицируемости). Пакетным принципом фальсифицируемости называется следующее утверждение: Доктрина D является научно обоснованной тогда и только тогда, когда ее поле λ -истин $\Lambda(D)$ удовлетворяет условиям:

- (1) $\Lambda(D)$ непусто и ограничено;
- (2) существует последовательность $\{\lambda_n\} \subset \Lambda(D)$ такая, что $\lambda_n \rightarrow -1$ при $n \rightarrow \infty$;
- (3) для любого $\varepsilon > 0$ существует конечное число умозаключений с $|\lambda + 1| > \varepsilon$. Замечание 8.21 (Философская интерпретация). Таким образом, принцип Поппера в рамках НАПРЛК трансформируется из бинарного критерия (“фальсифицируема/нефальсифицируема”) в градуированный принцип проективной гармонии:
 - Классический Поппер: доктрина либо научна, либо нет.
 - Пакетный Поппер: доктрина обладает степенью научности, измеряемой через $F(D)$ и близость $\Lambda(D)$ к $\{-1\}$. Это позволяет сравнивать доктрины не только по факту фальсифицируемости, но и по качеству их логической структуры, измеряемому через проективное кросс-отношение.4.2. Задача: критерии сравнения доктрин по пакетному принципу Поппера. Задача 8.22 (Классификация доктрин). Построить эффективные критерии для сравнения доктрин на основе их полей λ -истин $\Lambda(D)$, включая:
- (4) количественную меру научности $\mu(D)$, удовлетворяющую
$$\mu(D) = \Phi \inf_{|\lambda + 1|, \sup_{|\lambda + 1|}, \text{распределение } \Lambda(D), \lambda \in \Lambda(D)} \lambda \in \Lambda(D)$$
 где Φ — монотонно убывающая функция по $\sup_{|\lambda + 1|}$ и монотонно возрастающая по плотности распределения вблизи -1 ;
- (5) алгоритм проверки условий пакетного принципа фальсифицируемости;
- (6) процедуру вычисления crit как порогового значения, разделяющего научные и ненаучные доктрины на основе эмпирических или теоретических данных.

22 8. ПРОЕКТИВНАЯ ЛОГИКА И КРИТЕРИЙ ИСТИНЫ

Замечание 8.23 (Дальнейшие направления). Развитие пакетно- го принципа Поппера открывает следующие направления: • Эмпирическая калибровка: определение crit через ана- лиз исторических случаев фальсификации научных теорий; • Сравнительная эпистемология: ранжирование научных доктрин по степени их проективной гармонии; • Динамика научного знания: моделирование эволюции поля $\Lambda(D)$ во времени как процесса приближения к универ- сальной истине $\lambda = -1$; • Прогнозирование фальсификации: предсказание веро- ятности фальсификации доктрины на основе статистиче- ских свойств $\Lambda(D)$. 5. Тензорная природа причинности Поверхностная причинность описывается кососимметричной ча- стью тензора причинно-следственной связности, тогда как глубин- ный детерминизм — его симметричной частью. Обозначая полный тензор через T_{cs} , получаем разложение на кручение и кривизну: $T_{cs} = T + R$. В изотропном анзаце тензор кручения согласуется с компонента- ми τ_1 и τ_3 , а скалярная часть кривизны — с τ_0 .

ГЛАВА 9

PIX(P-field) и совпадение пиков причинности

1. Онтологический статус PIX-поля

PIX(P-field) понимается как поле совпадения пиков причинно- сти, принадлежащее не дырявому слою причинности, а комплекс- ной проективной опоре $iRPLD$. Всякая наблюдаемая причинность возникает как редуцированная проекция этого поля на реальный слой: $(\) \text{Causality} = \pi \text{Pr}ix$, $\pi : iRPLD \rightarrow RPLD$. Начальные точки действий в мире Изменений являются несобствен- ными. Поэтому при локальном накоплении решений нескольких наблюдателей возникает натяжение, стягивающее такие началь- ные точки в общую конфигурацию. Это натяжение и задаёт поле совпадения пиков. 2. Базовые определения Определение 9.1 (PIX-поле). Пусть $P = E \times S$ — пространство пакетных точек. PIX-полем называется отображение $\text{Pr}ix : P \rightarrow R \geq 0$, сопоставляющее пакетной точке интенсивность её включённости в локальную конфигурацию совпадения пиков. Определение 9.2 (Пик). Пакетная точка $a = (e, s)$ называется пи- ком, если она удовлетворяет условиям $\|\nabla D^* (a)\| \approx 0$, $\text{Pr}ix (a) = \max$ в локальной окрестности. Иными словами, пик есть локальный максимум согласованности при минимальном вариационном уклоне. Определение 9.3 (Оператор стягивания пиков). Для двух пакет- ных точек $a, b \in P$ положим $(\) dP (a, b)^2 \text{C}pix (a, b) = \exp - \Theta(a, b), \sigma^2$ где dP — пакетная метрика, а $\Theta(a, b)$ — индикатор совместимости действий и состояний. Большие значения $\text{C}pix$ означают склонность точек к совместному стягиванию.

24 9. PIX(P-FIELD) И СОВПАДЕНИЕ ПИКОВ ПРИЧИННОСТИ

3. Причинность как совпадение пиков

В классическом режиме причинность понимается как последовательность. В пакетной версии причинность определяется совпадением пиков: $(a, b) \in \text{Causality} \iff \text{Pr}_{\text{ix}}(a) \approx \text{Pr}_{\text{ix}}(b)$ и $\text{Cr}_{\text{ix}}(a, b) \neq 0$. Это означает, что причинная связь есть не просто линейная стрелка от прошлого к будущему, а структурное стягивание событий, оказавшихся в совместимом состоянии. Теорема 9.4 (Стягивание причинности). Если две пакетные точки $a, b \in \mathbb{P}$ обладают высокой интенсивностью РИХ-поля и совместимыми состояниями, то существует третья точка $c \in \mathbb{P}$, в которую их причинная конфигурация стягивается как в устойчивый локальный максимум. Идея доказательства. При $\text{Pr}_{\text{ix}}(a), \text{Pr}_{\text{ix}}(b) \gg 0$ и $\Theta(a, b) \neq 0$ экспоненциальный множитель в определении Cr_{ix} выделяет узкую область допустимых совпадений. Вариационный принцип спуска по D^* обеспечивает существование локального минимума уклона, который и задаёт точку c . \square

4. Пустота и самостягивание Если локальная область пуста и в ней отсутствует внешнее воздействие принятия решения, то даже несколько действий, сходящихся в этой локации, стремятся слиться самопроизвольно. В этом смысле пустота не является нейтральной; она работает как режим самоконвергенции. Формально это соответствует случаю, когда внешняя составляющая РИХ-поля мала, а внутренняя совместимость состояний остаётся ненулевой.

5. Связь с квантовой синхроничностью В квантово-пограничном слое hOC переходы между размерностями и переносы между метрическими слоями пакетов сливаются. Согласно принципу ПН.2 область неопределённости оказывается областью тьмы, где квантовые состояния событий становятся неразличимыми. Это интерпретируется как пакетный аналог квантовой запутанности, странных переносов и нелокальной синхроничности. В этой рамке когерентные эффекты, включая согласование источника и приёмника, интерпретируются как проявления одного и того же режима совпадения пиков.

ГЛАВА 10

Динамика и стрела времени

1. Поток Лапласа

Для G_2 -структуры ϕ поток Лапласа определяется как $\partial \phi(t) = \Delta \phi(t) \phi(t) \cdot \partial t$. В однородном случае это уравнение редуцируется к ОДУ для параметра α .

2. Неживое и живое время При выборе диссипативной ветви $\dot{\alpha} = -k(\alpha)$ амплитуда ассоциатора $A(\alpha) = |\alpha|$ монотонно убывает. Это режим неживого времени. В расширенных пакетных системах возможны режимы, где ассоциатор остаётся вдали от нуля и включается в петли обратной связи; такие режимы обозначаются как живое время и моделируются пакетом $A * \text{Att}$.

Антропология исторических типов познания

1. Методологическая установка

Настоящий модуль собирает в один непрерывный текст антропологическую и феноменологическую ветвь проекта НАПРЛК/МТФ, ранее распределённую по соседним редакторским веткам. Его задача состоит не в простой истории философских учений, а в реконструкции исторических типов познания как различных режимов организации времени, пространства, причинности и истинности. Базовая установка модуля состоит в том, что история познания должна читаться не как линейная последовательность доктрин, а как стратифицированный ряд различных геометрий опыта. Каждая эпоха или культурная форма задаёт одновременно:

- (1) что такое мир;
 - (2) что такое время;
 - (3) как различаются сон, явь, знак и событие;
 - (4) как устроена причинность;
 - (5) каким образом возможна истинность. В этом смысле антропология познания в рамках проекта есть история различных способов, которыми мир сшивается в единое поле реальности. Это сшивание понимается проективно: реальность не есть простая последовательность событий, а есть проективно сшитый объект РПЛД, где режим истинности определяется гармоническим пределом $\lambda - 1$.
2. Каноническая шкала исторических типов восприятия Базовая шкала историко-эпистемологических слоёв имеет вид $P 01 - P 1 - P 02 - P 2 - P 03 - P 3 - P 04 - P 4$. Здесь слои вида $P 0k$ суть чистые формы, а слои вида $P k$ — их исторические реализации. Содержательно шкала читается так: • $P 01$: единое космологическое настоящее; • $P 1$: сужение горизонта настоящего; • $P 02$: настоящее как часть прошлого; • $P 2$: поиск причин в прошлом; • $P 03$: ориентация на будущее; • $P 3$: предсказательная ценность;

28 11. АНТРОПОЛОГИЯ ИСТОРИЧЕСКИХ ТИПОВ ПОЗНАНИЯ

• $P 04$: расширение до предсказания прошлого и будущего; • $P 4$: многообразие настоящих. Параллельно этой шкале фиксируется более строгая система чистых и практических форм: $R-01, R-02, R-03, R-04$ и $R-1, R-2, R-3, R-4$. В этой нотации $R-04$ обозначает чистую форму пакетного разума, а $R-4$ — её практическую реализацию. Никакой отдельной эпистемы $P 05$ не вводится. Каждый исторический слой должен читаться в двух главных линиях: $P_0 = P_0A \oplus P_0П$, где A есть аристотелевская центрально-аффинная

линия, а П — платоновская центрально-проективная линия. 3. Нижний узел: тьма, единое настоящее, ритуальный мир 3.1. Р – 1 как тёмная эпистема. Для дальнейшего развития проекта необходимо ввести предслой Р-1, который не входил в первоначную краткую таблицу, но фактически предполагался ею. Под Р – 1 понимается до-складочный режим опыта, в котором мир ещё не расчленён на устойчивые оппозиции: сон / явь, прошлое / настоящее, знак / событие, образ / реальность. Это не отсутствие связности, а её тёмная, вязкая, до-логистическая форма. Здесь уже возможны повтор, предзнаменование, заражение, дежавю, но ещё нет устойчивой логической цепи вторичных причин. Именно поэтому для слоя Р – 1 важна не буквальная формула “люди живут во сне”, а более точное феноменологическое положение: граница между режимами реальности ещё не стабилизирована. Сон, явь, знак и повтор могут пересекаться без логической аварии. 3.2. Р 01 как соборное Теперь. Слой Р 01 задаёт чистую форму единого настоящего. Это уже не тьма, но ещё и не аналитически расчленённое время. Мир здесь переживается как цельное присутствие, а не как последовательность пустых моментов. Именно поэтому Р 01 естественно соотносится с патристическим и литургическим опытом времени: с соборным Теперь, в котором настоящее не является просто точкой между прошлым и будущим, а несёт в себе полноту присутствия. 3.3. Р 1 как ритуальный мир. Слой Р 1 есть первая историческая реализация этой целостности. Он строится не по развернутой логистической схеме причин и следствий, а по минимальной порождающей структуре: Кто здесь-сейчас ± Что здесь-сейчас.

6. ДВЕ ГЛАВНЫЕ ЛИНИИ ИСТОРИЧЕСКИХ ОНТОЛОГИЙ 29

Причинность здесь ещё не дырява, как в более позднем рассудке, а плотна и монотонна. Её медиаторами выступают след, знак, сон, тотемическая корреляция, заражение, повторение, омен и ритуальная сцепка. Эти межслоевые нити связности обозначаются нами как перья. 4. Средний узел: косморассудок и критический разум 4.1. Р 02/Р 2: космическая калибровка мира. В слое Р 02/Р 2 впервые возникает устойчивая космологическая сетка. Настоящее мыслится как часть прошлого, а объяснение ищется через предшествующее основание. Этот слой задаёт чистую и практическую форму косморассудка: мира, организованного через порядок, меру, небесную калибровку и иерархию причин. Здесь возникают ранние астролого-космологические модели, эпиклические схемы и формы внешнего объективного времени. 4.2. Р 03/Р 3: критический и научный разум. Переход к Р 03 есть переход от космически навязанной меры к горизонту, конституируемому самим разумом. Здесь время уже не только измеряется, но и мыслится как условие опыта, форма перспективы, структура ожидания и проектирования. В Р 3 эта линия исторически реализуется как научный разум: закон, модель, предсказание, эксперимент, инвариант. Если Р 2 ищет причину в прошлом, то Р 3 строит теорию ради будущего предсказания. Вместе с тем даже в слое Р 03/Р 3 сохраняются области тьмы: участки опыта, не подчиняющиеся полностью ни метрике, ни про-

активной геометрии. Это означает, что поздний разум не уничтожает ранние слои, а наслаивается на них. 5. Верхний узел: пакетный разум 5.1. P 04/P 4 и переход к системе R-слоёв. Слой P 04 обозначает чистую форму пакетного разума, а P 4 — его историческую реализацию в мире сетевых технологий, искусственного интеллекта и пакетной множественности настоящих. Однако в более строгой нотации эти два слоя следует читать как часть общей системы: R-01, R-02, R-03, R-04 и R-1, R-2, R-3, R-4. Здесь R-04 фиксируется как чистая форма пакетного разума, а R-4 — как его практическая реализация; РИХ понимается не как новая эпистема, а как механизм работы этого слоя. 6. Две главные линии исторических онтологий Каждый исторический слой читается в двух линиях: $R_0 = R_0A \oplus R_0B$.

30 11. АНТРОПОЛОГИЯ ИСТОРИЧЕСКИХ ТИПОВ ПОЗНАНИЯ

6.1. Аристотелевская линия. Аристотелевская линия есть линия локальности, телесности, конечности и измеримости. В геометрическом смысле она центрально-аффинна: её мир собирается вокруг ближнего центра, устойчивой меры, формы и конечного порядка. В феноменологическом смысле это линия завершённого, обозримого, конечного мира. 6.2. Платоновская линия. Платоновская линия есть линия идеальности, глубины, горизонта и проектного удаления. В геометрическом смысле она центрально-проективна: её мир собирается не вокруг телесной меры, а вокруг удалённого идеального предела. В феноменологическом смысле это линия образца, идеи, перспективы и смысла, не совпадающего с наличной вещью. 6.3. Их пакетная суперпозиция. Историческая онтология почти никогда не распадается полностью ни в одну из этих линий. Реальный тип познания возникает как их пакетная суперпозиция: Реальность = Аристотелевская линия * Платоновская линия. Именно это позволяет говорить не просто об истории понятий, а об истории различных перспективных геометрий опыта. 7. Авторская матрица исторических типов познания

Таблица 1: Матрица авторов и исторических типов познания

Автор / Слой Главный Что подтверждает Главная линия мотив ждёт в на- опасность шей модели буквального заимствования Православные P 01 цельное соборное инельзя сме- Отцы спасительно- литургиче- шивать бого- Церкви напряжённое единство словское сви- настоящее настоящего детельство с исторической этнографией Августин P 01 – внутреннее переход от нельзя преж- P 03 пережива- космического девременно ние вре- времени к делать Авгу- мени, рас- внутренней стина чистым тяжение временности критическим души мыслителем

7. АВТОРСКАЯ МАТРИЦА ИСТОРИЧЕСКИХ ТИПОВ ПОЗНАНИЯ 31

Автор / Слой Главный Что подтверждает Главная линия мотив ждёт в на- опасность шей модели буквального заимствования Леви- P1 participation,

плотная при- нельзя со- Брюль omen, без- чинность хранить ста- различие к участия и рую грубую вторичным сцепки оппозицию причинам "primitive / modern" Фрэзер P1 подобие и минимальная нельзя сво- заражение причинность дить весь слой ритуальной P 1 только к сцепки магии Кассирер P1 миф как плотная сим- нельзя подме- символы- волическая нять им исто- ческая онтология рическую ан- форма, ритуального тропологию вырази- мира тельная функция Эванс- P1 "почему адресная при- нельзя реду- Причард именно чинность при- цировать его этот че- сутствия к карикатуре ловек и иррациональ- именно ности сейчас?" Леви- P 1 → science иной, а не нельзя делать Стросс P2 of the низший тип из него свиде- concrete, структуриро- теля хаоса до- классици- вания мира логического кация мышления Гуссерль P – до- тёмное до- нельзя пре- 1, P 01 складочное предикативность, вращать фено- жизненный основание и менологию в мир, пас- чистая форма этнографию сивный настоящего синтез Шпенглер P 1 → архесимволы различие нельзя ме- P3 культур, глубинных ханически морфо- геометрий тождествить логия опыта его культур- пространства- ные типы времени нашим слоям

32 11. АНТРОПОЛОГИЯ ИСТОРИЧЕСКИХ ТИПОВ ПОЗНАНИЯ

Автор / Слои Главный Что подтвер- Главная линия мотив ждаёт в на- опасность шей модели буквального заимствова- ния Аристотель P 02 космическая чистый кос- нельзя сво- мера, время морассудок и дить его к как число аристотелев- поздней аст- движения ская линия рологической практике Платон P 02П космос как платоновская нельзя сме- образец, центрально- шивать пла- идеальный проективная тоновскую порядок линия идеальность с современной проективной геометрией буквально Локк P 02 → duration из перенос ос- нельзя счи- P 03 succession нования тать его уже идей времени из завершённым космоса во критическим внутреннюю философом рефлексию Беркли P 02 → время разрушение нельзя пре- P 03 немыс- внешне- вращать это в лимо чистый солип- вне субстанциального succession времени сизм of ideas Юм P 02 → время как подрыв суб- нельзя терять P 03 порядок станциально- его эмпи- воспри- го времени рическую нимаемой и жёсткой дисциплину succession причинности Кант P 03 время как чистый крити- нельзя смеси- форма со- ческий разум вать P 03 и P 3 зерцания как горизонт опыта Ньютон P3 абсолютное зрелый на- нельзя делать матема- учный разум его послед- тическое единой внеш- ним словом время ней меры онтологии времени

8. ИСТОРИЧЕСКИЕ МОДЕЛИ ВРЕМЕНИ И ИХ СТРАТИФИКАЦИЯ 33

Автор / Слои Главный Что подтвер- Главная линия мотив ждаёт в на- опасность шей модели буквального заимствова- ния Майкельсон–P 3 → метрологический разлом клас- нельзя счи- Морли P 04 кризис сической тать опыт эфира и временной прямым пол- универ- сетки ным основа- сального нием теории фона Эйнштейна Эйнштейн P 3 → синхронизация, переход к мно- нельзя чи- P4 относи- жественным тать его как тельность настоящим

финальное одновре- и операци- пакетное ре- менности ональному шение времени

8. Исторические модели времени и их стратификация История времени в настоящем проекте рассматривается не как последовательная смена физических теорий, а как смена истори- ческих типов познания. Каждая эпоха задаёт одновременно: что такое время, чем оно измеряется, какова структура настоящего и какой тип причинности делает это измерение легитимным.
- 8.1. Аристотель: время как число движения. Аристотелев- ская модель времени соответствует чистому косморассудку P 02 и его практической реализации в P 2. Время здесь не мыслится как самостоятельная субстанция, а определяется через движение: оно есть мера изменения мира, считываемая по порядку “прежде” и “после”.
- 8.2. Патристика и Августин: время как внутреннее и спа- сительное. Линия православных Отцов и Августина размыкает космологическую модель. Здесь время перестаёт быть только внешней мерой движения и становится модусом духовного пути, памя- ти, ожидания и внутреннего напряжения души. Внутри настояще- го проекта это соответствует переходу P 01 – P 03.
- 8.3. Локк, Беркли, Юм: декосмологизация времени. Пе- реход от P 02 к P 03 проходит через английскую эмпирическую ли- нию.
- Локк: duration возникает как расстояние внутри succession идей.
 - Беркли: время, абстрагированное от succession of ideas, теряет содержательность.

34 11. АНТРОПОЛОГИЯ ИСТОРИЧЕСКИХ ТИПОВ ПОЗНАНИЯ

- Юм: время обнаруживается только через perceivable succession of changeable objects. Это означает последовательную декосмологизацию времени: космическая мера -- внутренняя succession -- эмпирически фиксируемый пор

8.4. Кант: время как чистая форма созерцания. Кант за- вершает переход к P 03. Время более не выводится ни из движения космоса, ни просто из психологической succession, а понимается как чистая форма чувственности. Это уже не эмпирическая мера, а условие возможности всякого опыта.

8.5. Ньютон, Майкельсон, Эйнштейн. Ньютон представля- ет зрелую практическую реализацию научного разума P 3: абсо- лютное математическое время, однородное и одинаково текущее безотносительно ко всему внешнему. Опыт Майкельсона–Морли важен как метрологический кризис классического времени: он подрывает доверие к невидимому уни- версальному фону и готовит разлом классической временной сет- ки. У Эйнштейна время получает операциональный статус. Его уже недостаточно предполагать; необходимо определить процедуру син- хронизации удалённых событий и часов. Отсюда возникает отно- сительность одновременности и множественность разрезов насто- ящего.

9. Архесимволы пространства-времени: Аристотель, Платон, Шпенглер, Кант Настоящий раздел связывает исторические типы познания с глубинной морфологией пространства-времени. Его основной те- зис состоит в том, что исторические эпистемы различаются не только набором понятий и доктрин, но и тем, в каком простран- стве и в каком времени они вообще

способны мыслить. Выражения центрально-аффинная линия и центрально-проективная линия являются не буквальными историческими терминами Аристотеля, Платона, Канта или Шпенглера, а их packet-projective перекодировкой. 9.1. Аристотель: локальная мера и конечный космос. Аристотелевская линия выражает мир, в котором время определяется как мера движения, а порядок времени укоренён в наблюдаемом движении и конечной структуре космоса. Она есть линия локальности, конечной меры, телесной обозримости и центрально-аффинной стабилизации опыта.

9. АРХЕСИМВОЛЫ ПРОСТРАНСТВА-ВРЕМЕНИ: АРИСТОТЕЛЬ, ПЛАТОН, ШПЕНГЛЕР, КАНТ

Таблица 2. Исторические модели времени и их стратификация

Автор / Слои Что такое Чем отличается Тип настоящей линия время ящего
Православные Р 01 цельное спалитургическое соборное Отцы сительное и
духовный Теперь присутствиеритм Августин Р 01 – внутреннее память,
напряжённое Р 03 растяжение внимание, внутреннее души ожидание
теперь Аристотель Р 02 число движекосмический локально ния цикл, дви-
наблюдаемое мое теперь небес Локк Р 02 – duration из рефлексия
внутреннее Р 03 succession над потокущее идей ком идей теперь Беркли Р
02 – время неотпоследовательность ментально Р 03 делимо от восприятия
удерживаемое succession мое теперь идей Юм Р 02 – порядок воспринимаемая
эмпирическое Р 03 changeable succession мгновение objects перехода Кант Р 03
форма созерконституирует трансцендентальное цания опыт, а не теперь
измеряется как вещь Ньютон Р 3 абсолютное часы и универсальное
математическое математическое внешнее теское время тическая перь параметри-
зация Майкельсон–Р 3 – кризис едиинтерферометрическая размывание
Морли Р 04 ного эфира и проверка классического фона ского те- перь Эйнштейн Р
3 → Р 4 операционально часы и промножественные синхронизации син-
настоящие зируемое хронизации время

9.2. Платон: космос как образец. Платоновская линия исходит не из локальной меры движения, а из отношения между видимым космосом и идеальным образцом. Временность возникает

36 11. АНТРОПОЛОГИЯ ИСТОРИЧЕСКИХ ТИПОВ ПОЗНАНИЯ

как подвижный образ вечности, а мир собирается вокруг идеального горизонта и удалённого предела. Поэтому платоновская линия естественно читается как центрально-проективная. 9.3. Кант: критическое перенапряжение линий. Кант не возвращается ни к Аристотелю, ни к Платону буквально, но производит решающий перелом. Пространство и время становятся не вещами, а формами созерцания. По дисциплине формы это продолжает аристотелевскую линию меры, а по статусу горизонта — радикализует проектную линию. Поэтому кантовский слой есть узел напряжения между А и П. 9.4. Шпенглер: морфология культур. Шпенглер важен как свидетель того, что культуры различаются по своему prime symbol. В packet-projective интерпретации это означает, что разные исторические

эпистемы несут разные глубинные формы пространства- времени. Аполлонический мир тяготеет к конечному и ближнему, фаустовский — к бесконечному и перспективному, а магический — к внутренне сгущённому и пещерному. Таблица 3. Архесимволы пространства-времени и исторические линии опыта

Фигура Рабочий Тип про- Тип време- Packet- слой пространства ни projective интерпрета- ция Аристотель P 02/P 2 конечное, время как центрально- локальное, мера движе- аффинная обозримое ния линия Платон P 02П космос как время как об- центрально- образ и раз вечности проективная поле ста- линия новления Кант P 03 форма опы- форма внут- критическое та, а не реннего и напряжение вещь внешнего линий A/П созерцания Шпенглер P 1 → P 3 морфология морфология архесимволическое культур- культурных разведение ных про- времён режимов странств

10. Пакетная аксиоматика исторических онтологий

Дальнейшее развитие версии monograph 2.1 требует читать исторические типы познания не только как шкалу слоёв, но и как пакетные структуры со своими линиями, подпространствами и гармонически нормируемыми пределами.

10. ПАКЕТНАЯ АКСИОМАТИКА ИСТОРИЧЕСКИХ ОНТОЛОГИЙ 37

10.1. Двухлинейное расщепление. Каждый исторический слой $\mathcal{P}\sigma$ расщепляется на две главные линии: $\mathcal{P}\sigma = \mathcal{P}\sigma_A \oplus \mathcal{P}\sigma_{\Pi}$, где A обозначает аристотелевскую центрально-аффинную линию, а Π — платоновскую центрально-проективную линию. Первая линия отвечает за локальность, меру, телесность, конечность и стабилизацию формы. Вторая линия отвечает за идеальность, глубину, удалённый горизонт, проектирование и сборку мира относительно несобственного предела. 10.2. Аксиоматические и теоремные подпространства. Каждая из двух линий далее расщепляется на аксиоматическое и теоремное подпространства: $\mathcal{P}\sigma_L = \mathcal{P}\sigma_{L,Ax} \oplus \mathcal{P}\sigma_{L,Th}$, $L \in \{A, \Pi\}$. Здесь $\mathcal{P}\sigma_{L,Ax}$ задаёт порождающие принципы соответствующей линии, а $\mathcal{P}\sigma_{L,Th}$ — множество допустимых следствий, развертываний и конструктивных замыканий. 10.3. Пакет слоя. Пакетом исторического слоя называется четырёхчленная структура $(\) \mathcal{P}\sigma = \mathcal{P}\sigma_{A,Ax}, \mathcal{P}\sigma_{A,Th}; \mathcal{P}\sigma_{\Pi,Ax}, \mathcal{P}\sigma_{\Pi,Th}$. Именно такой пакет, а не изолированный набор тезисов, и должен рассматриваться как минимальная единица систематизации исторической онтологии. 10.4. Поле λ -истин. Каждому пакету $\mathcal{P}\sigma$ сопоставляется значение $(\) \lambda\sigma = \Lambda \mathcal{P}\sigma_{A,Ax}, \mathcal{P}\sigma_{A,Th}; \mathcal{P}\sigma_{\Pi,Ax}, \mathcal{P}\sigma_{\Pi,Th}$, называемое λ -значением исторического слоя. В этой шкале абсолютной истине соответствует $\lambda\sigma = -1$, $\delta\sigma = |\lambda\sigma + 1|$. Величина $\delta\sigma$ измеряет дефект гармонической истинности слоя. Следовательно, исторические доктрины различаются не только по содержанию, но и по мере своего приближения к гармоническому пределу. 10.5. Онтологический предел. Каждый слой обладает собственным онтологическим пределом, определяемым не внешней точкой, а гармонически организованным пакетом его линий и подпространств: $(\) \Omega\sigma = \lambda\sigma \mathcal{P}\sigma$. Тем самым и

критический слой P 03, и научный слой P 3, и пакет- ные слои P 04/P 4 обладают пределом, но этот предел всегда должен быть вычислим через внутреннюю конфигурацию пакета.

38 11. АНТРОПОЛОГИЯ ИСТОРИЧЕСКИХ ТИПОВ ПОЗНАНИЯ

10.6. Спектральная гипотеза. В рабочем виде принимается спектральная гипотеза: аристотелевская и платоновская линии могут быть представлены функциями плотности $\rho\sigma(x)$ и $\rho\sigma(x)$, а их спектральное соотношение задаётся преобразованием Фурье. Тогда значение $\lambda\sigma$ может быть представлено как гармонически нормированное спектральное отношение этих двух линий. В настоящем тексте эта гипотеза фиксируется как программа для последующей формализации, а не как уже завершённая теорема. 11. Связь с дополнениями версии monograph 2.1 Соседние ветки monograph 2.1 добавили к антропологическому ядру несколько важных следствий, которые должны быть зафиксированы и здесь. 11.1. Часы, интервал и оператор разворота. Во-первых, уже установлено, что часы не измеряют время “само по себе”, а измеряют интервал оператора разворота Y . Это означает, что исторические модели времени неразрывно связаны с историческими моделями измерения: разные типы познания по-разному определяют, что вообще допускает счёт и что считается валидным временным интервалом. 11.2. Пакетное время. Во-вторых, в версии 2.1 уже введено пакетное время Курпишева как объединение изменения и действия. Поэтому антропологические модели времени должны пониматься как предельные или частичные сечения более общего пакетного времени, а не как самостоятельные финальные онтологии. 11.3. R-04 и практический интеллект. В-третьих, различие R-04 и R-4 переводит антропологию познания в современную фазу: оказывается, что исторические формы разума не просто закрепились в новоевропейской науке, а получают новую практическую реализацию в пакетных системах искусственного интеллекта. Это подтверждает, что верхний узел шкалы не является метафорой, а выступает как реально работающий режим исторического развития познания. 12. Сводная каноническая таблица 13. Итоговая формула Исторические модели познания различаются не только тем, что они мыслят, но и тем, в каком пространстве-времени они способны мыслить. Поэтому для настоящего проекта допустима следующая рабочая формула: историческая эпистема = архесимвол пространства-времени+линия A/П+режим B этой формуле антропология, феноменология и пакетная проективная логика сходятся в единую морфологическую схему.

13. ИТОГОВАЯ ФОРМУЛА

39

Таблица 4. Антропология исторических типов познания

Слой Каноническое Тип вре- Тип при- Архесимвол Главная имя мени
чинности морфоло- гия P -1 Тёмная нерасчленённое до- тьма, сон, до-
эпистема логистическая дежавю складочная связность P 01 Соборное единое

на- цельное литургическоецельное Теперь стоящее присут- теперь ствие P1
Ритуальный здесь-и- плотная ритуал, то- мифо- Мир сейчас причин- тем,
open ритуальная ность участия P 02 Чистый космическаяпорядок сфера,
космологическая Косморас- мера прошлого круг, кос- судок мос P2
Практический калиброванное поиск при- небесная астролого- Косморас-
внешнее чин в про- сетка, эпи- рассудочная судок время шлом циклы P 03
Чистый горизонт условие форма со- критическая Крити- будущего
возможно- зерцания ческий сти опыта Разум P3 Практический измеримое
закон и эксперимент,научная Научный время мо- предска- формула, Разум
дели зание инвариант P 04 Чистый множественные пакетное пакет гори-
мета- Пакетный настоя- замыка- зонтов проектная Разум щие ние P4
Пакетная сетевое и многослойная сеть, база пакетно- Эпистема слоистое
валид- слоёв, ИИ технологическая время ность

ГЛАВА 12

Физические приложения и границы применимости

1. Переинтерпретация классической физики

Классические законы получают пакетную интерпретацию. Инер- ция
соответствует стационарности относительно Ξ , сила — нару- шению
коммутации $[\Xi, \Delta] \neq 0$, а второе начало — монотонному про- валиванию
вдоль Ξ в сторону гипарксиса. Классические теории пространства-времени
возникают как редукции на внешней стра- те $T(3)$. Теорема 12.1 (Вложение
классических теорий). Пусть класси- ческая теория задана многообразием M
с метрикой $g_{\mu\nu}$. Тогда су- ществует каноническое вложение $M, - T(3) \subset T$, где
внешняя страта несёт редуцированную геометрию, а мет- рика $g_{\mu\nu}$
возникает как наблюдаемый режим пакетной метрики.

ГЛАВА 13

Стратификация опорных слоёв и пределы проникновения действий

1. Четыре опорных слоя

В порядке возрастания глубины различаются следующие опор- ные слои:

- (1) электромагнитный слой — ближайший интерфейс причин- ности и глубинной связности;
- (2) атомный слой — зона ионизации и разрыва химических свя- зей;
- (3) ядерный слой — режим деления и синтеза;

(4) онтологический предел — предельная страта, за которой пакетная структура перестаёт быть наблюдаемо определённой.

Таблица 1. Опорные слои и типичный эффект действия

Слой	Феноменологический режим	Типичный ответ на действие
Электромагнитный	интерфейс причинности и связности	отражение, бифуркация, упругое перераспределение
Атомный	химические и ионизационные барьеры	разрыв и релаксация связей
Ядерный	глубинные перестройки ядра	деление, синтез, радиоактивный отклик
Онтологический предел	граница наблюдаемой определённости	утрата классической интерпретируемости

Теорема 13.1 (Непроницаемость опорной связности). Никакое действие Δ не может прорвать опорную связность на электромагнитном уровне. Вместо прорыва возникают отражение через оператор Γ_1 , диссипация энергии в слое и бифуркации без нарушения топологии слоя.

ГЛАВА 14

Переинтерпретация теории вероятности как статистики пакетного спуска

В рамках НАПРЛК теория вероятности перестаёт быть первичной теорией случайных процессов и становится геометрической статистикой спуска пакета состояний по градиенту функционала размерности D^* .

Вероятность здесь не вводится как независимая сущность; она возникает как наблюдаемая тень глубинной динамики, протекающей в стратифицированном времени. Иначе говоря, классическая статистика оказывается не фундаментом, а проекцией более глубокой пакетной кинематики на слой наблюдателя. Там, где классическая теория говорит о случайности, НАПРЛК говорит о скрытой слоистой геометрии, о метастабильных террасах, барьерах перехода и о флуктуациях относительно основного вариационного спуска. 1. Концептуальный сдвиг В классической теории вероятность P обычно трактуется либо как мера незнания, либо как частота случайных событий, либо как плотность на пространстве элементарных исходов. В НАПРЛК все эти интерпретации рассматриваются как вторичные. Постулат 14.1 (Пакетный вариационный принцип). Пакет состояний всегда стремится к минимуму функционала размерности D^* .

Вероятность обнаружить систему в данном состоянии определяется не “случайностью” в буквальном смысле, а геометрией спуска: крутизной градиента, высотой барьеров перехода и близостью состояния к локальному или глобальному минимуму. Замечание 14.2 (Вероятность как статистическая тень). Вероятность в НАПРЛК есть статистическая тень семейства допустимых траекторий спуска. Поэтому распределение вероятности измеряет не меру незнания наблюдателя, а меру доступности тех или иных состояний для вариационного потока. 2. Гравитационный склон и эффективное поле дрейфа На феноменологическом уровне гравитационное поле удобно интерпретировать как эффективный склон функционала D^* на внешнем, квазиклассическом слое $k = 3$. Такая трактовка не утверждает, что гравитация исчерпывается вероятностью; она утверждает лишь, что наблюдаемая статистика движений и устойчивых конфигураций может быть описана через геометрию спуска.

3. ТЕРРАСЫ, БАРЬЕРЫ И ДИСКРЕТНЫЕ ПЕРЕХОДЫ

43

Определение 14.3 (Эффективный склон). Пусть на страте k задан эффективный инвариант D_k^* . Тогда эффективным склоном называется градиентное поле ∇D_k^* , а соответствующее поле дрейфа определяется как $\sim v_{\text{drift}} = -\mu_k \nabla D_k^*$, (k)

где $\mu_k > 0$ — коэффициент пакетной подвижности слоя. Предложение 14.4 (Квазиклассическая феноменология движения). В квазиклассическом режиме движение пакета на слое $k = 3$ раскладывается в сумму двух компонент: $\sim v = \sim v_{\parallel} + \sim v_{\perp}$, $\sim v_{\perp} \parallel -\nabla D_3^*$, $\sim v_{\parallel} \cdot \nabla D_3^* = 0$. Здесь $\sim v_{\perp}$ описывает спуск по склону D_3^* , а $\sim v_{\parallel}$ — движение вдоль изо- D^* -линий. Замечание 14.5 (Свободное падение, орбита, удержание). Эта декомпозиция даёт феноменологическую интерпретацию трёх базовых режимов: • свободное падение — доминирование нормальной компоненты $\sim v_{\perp}$; • квазистационарная орбита — почти полная компенсация спуска касательной компонентой и локальной геометрией слоя; • удержание в ловушке — движение внутри локальной пакетной воронки, соответствующей минимуму или террасе функционала D^* . 3. Террасы, барьеры и дискретные переходы Поскольку время в НАПРЛК стратифицировано, пакетный спуск не обязан быть гладким. Он может прерываться, задерживаться на террасах и перескакивать через барьеры. Определение 14.6 (Метастабильная терраса). Метастабильной террасой называется область в слое k , на которой $\|\nabla D_k^*\| \approx 0$, но где состояние ещё не является глобальным минимумом. На террасе пакет задерживается на макроскопически заметное время. Определение 14.7 (Прерывистость перехода). Переход между слоями $k - k - 1$ происходит дискретно. Вероятность скачка зависит от разности инвариантов, $\Delta D_{k-k-1} := D_k^* - D_{k-1}^*$, а также от геометрии препятствия и от внутренней флуктуационной активности пакета.

14. ПЕРЕИНТЕРПРЕТАЦИЯ ТЕОРИИ ВЕРОЯТНОСТИ КАК СТАТИСТИКИ ПАКЕТНОГО СПУСКА

Определение 14.8 (Оператор разворота в статистической интерпретации). Оператор Y интерпретируется как механизм подавления неустойчивых “восходящих” флуктуаций. Он не запрещает их абсолютно, но уменьшает их долговременный вклад в наблюдаемую статистику. 4.

Стратифицированное мастер-уравнение Курпишева. Вместо классического уравнения Фоккера–Планка вводится Стратифицированное Мастер-Уравнение Курпишева, в котором дрейф по градиенту и межслоевые переходы объединены в единую схему. Определение 14.9 (Пакетная плотность вероятности). Пусть $p_k(x, t)$ — вероятность нахождения пакета в точке x страты k . Тогда её эволюция описывается уравнением $\partial p_k / \partial t = -\nabla \cdot (p_k \tilde{v}_{drift}) + \nabla \cdot (D_k \nabla p_k) + (W_{j \rightarrow k} p_j - W_{k \rightarrow j} p_k)$, где: $\tilde{v}_{drift} = -\mu_k \nabla D_k^*$ — поле дрейфа; (k)

- D_k — тензор внутрислоевой диффузии;
- $W_{k \rightarrow j}$ — вероятности межслоевых переходов.

Замечание 14.10 (Смысл членов уравнения). Первый член описывает детерминированный спуск пакета по склону D_k^* , второй — флуктуации внутри данного слоя, третий — дискретные переходы между стратами. Таким образом, “случайность” появляется как поправка к направленному спуску, а не как его первичная причина.

5. ГЕОМЕТРИЯ ПЕРЕХОДОВ И ПАКЕТНЫЙ ЗАКОН АРРЕНИУСА 45

Таблица 1. Пакетная и классическая вероятностные картины. Компонент Классическая Пакетная статистика интерпретация Источник случайность / статистическая вероятности незнание тень вариационного спуска Дрейф внешний $-\nabla D^*$ на эффективный выбранной закон страте Диффузия флуктуации в внутрислоевые фазовом колебания пакета пространстве Переходы марковские межслоевые скачки переходы через барьер ΔD^* Хвосты редкие события краткие распределений движения против основного спуска

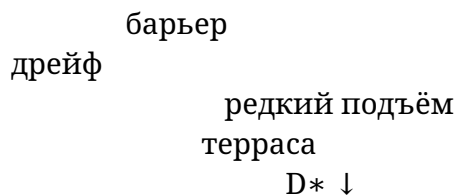


Рис. 1. Феноменологическая схема пакетного склона: дрейф, барьер, терраса и редкий подъем

5. Геометрия переходов и пакетный закон Аррениуса. Определение 14.11 (Пакетный закон перехода). Вероятность перехода через межслоевой барьер имеет экспоненциальный вид $(*) \Delta D_{k \rightarrow k-1} W_{k \rightarrow k-1} \sim \exp(-\dots)$, где — квант вариационного действия. Замечание 14.12 (Феноменологический смысл). Параметр измеряет “зернистость” вариационного спуска. При малых динамика близка к чисто

детерминированной, при больших возрастает роль флуктуаций, перескоков и временных возвратов против ос- новного градиента.

6. ПЕРЕИНТЕРПРЕТАЦИЯ ТЕОРИИ ВЕРОЯТНОСТИ КАК СТАТИСТИКИ ПАКЕТНОГО СПУСКА

Предложение 14.13 (Редкие события). Чем выше барьер ΔD^* , тем меньше вклад соответствующего канала перехода в наблю- даемое распределение. Поэтому статистические хвосты рас- пределений описывают не “чистую случайность”, а редкие со- бытия против основного геометрического потока.

6. Пики, хвосты и стационарные распределения Замечание 14.14 (Пик распределения). Максимум стационар- ного распределения соответствует не “наиболее случайному” со- стоянию, а области, где пакетный поток замедляется: $\|\nabla D_k^*\| \approx 0$. Это либо локальный минимум, либо широкая метастабильная тер- раса. Замечание 14.15 (Хвосты распределения). Хвосты распределе- ния соответствуют редким восходящим флуктуациям, то есть вре- менным движениям против $-\nabla D^*$. Они возможны, но затем, как правило, гасятся оператором разворота Y , который возвращает па- кет в область основного спуска. Предложение 14.16 (Локально-гауссов режим).

Пусть в окрест- ности локального минимума x_0 на фиксированном слое k имеем квадратичное разложение $D_k^*(x) = D_k^*(x_0) + (x - x_0)T H_k(x - x_0) + o(\|x - x_0\|^2)$, где H_k — положительно определённый гессиан. Тогда стационар- ная плотность в этой окрестности имеет гауссов вид: $() p_k(x) \propto \exp - (x - x_0) H_k(x - x_0) . st T^2$ Следствие 14.17 (Происхождение распределения Гаусса). Цен- тральная предельная теорема в НАПРЛК интерпретируется как универсальный локальный режим многократного пакетного спус- ка в окрестности квадратично гладких минимумов D^* . Следствие 14.18 (Происхождение распределения Максвелла–Больцмана). Распределение Максвелла–Больцмана возникает как проекция ста- ционарного решения стратифицированного мастер-уравнения на слой $k = 3$, когда наблюдаемая энергия E является гладкой функ- цией D_3^* , а вблизи минимума выполняется квазиклассический тер- модинамический предел. В этом контексте параметр $\beta = kV T$ интерпретируется как обратная эффективная крутизна скло- на D_3^* .

8. ПРОЕКТИВНОЕ ЗАМЫКАНИЕ ВЕРОЯТНОСТИ 47

7. Орбитальная феноменология и ограниченные режимы Замечание 14.19 (Орбита как скомпенсированный спуск). Орби- тальный режим в НАПРЛК трактуется не как отсутствие склона, а как динамическое состояние, при котором тангенциальное дви- жение вдоль изо- D^* -линии компенсирует нормальный дрейф. По- этому орбита есть не отмена вариационного принципа, а его ква- зистационарная реализация. Замечание 14.20 (Невесомость). Невесомость означает не от- сутствие пакетного поля, а локальное подавление наблюдаемого нормального градиента внутри выбранного объёма. Вероятностно это означает вырождение видимого дрейфа при сохранении скры- той слоистой геометрии. 8. Проективное замыкание вероятности Связь

между теорией препятствий и вероятностью становится особенно прозрачной после перехода к проективной интерпретации ОВ. Определение 14.21 (Проективный барьер). Пусть A, B, C, D — четыре коллинеарные точки, ассоциированные с каналом перехода в пространстве препятствий. Определим проективный барьер $p(A, B; C, D) := -\log |(A, B; C, D)|$. Замечание 14.22 (Гармонический случай). Если $(A, B; C, D) = -1$, то $|(A, B; C, D)| = 1$, и потому $p(A, B; C, D) = 0$. Следовательно, гармоническая конфигурация соответствует отсутствию дополнительного проективного штрафа на переход. Определение 14.23 (Проективно-модифицированная вероятность перехода). С учётом проективного препятствия вероятность перехода записывается как $(*) \Delta D_k - k - 1 + \lambda p(A, B; C, D) W_k - k - 1 \sim \exp -$, где $\lambda \geq 0$ — коэффициент связи между слоем препятствий и статистическим каналом перехода. Замечание 14.24 (Интерпретация). Тем самым классическая вероятность оказывается не противоположностью проективной гармонии, а её вырожденной статистической проекцией. Когда проективный барьер исчезает, остаётся только геометрия спуска по D^* ; когда он велик, переходы подавляются даже при сравнительно малой разности D^* .

8. ПЕРЕИНТЕРПРЕТАЦИЯ ТЕОРИИ ВЕРОЯТНОСТИ КАК СТАТИСТИКИ ПАКЕТНОГО СПУСКА

9. Классический предел

Теорема 14.25 (Эквивалентность классической и пакетной вероятности в пределе). В пределе $\hbar \rightarrow 0$, $\dim \text{OB} = 0$, $Y = \text{id}$, стратифицированное мастер-уравнение Курпишева сводится к классическому уравнению Фоккера–Планка на одном эффективном слое, а вероятностные распределения принимают стандартный вид. Идея доказательства. Условия теоремы означают:

- (1) исчезновение проективного и кохомологического препятствия;
- (2) отсутствие межслоевой динамики;
- (3) подавление дискретных возвратов и разворотов;
- (4) переход к одному непрерывному эффективному слою. При этих предпосылках остаются только дрейфовой и диффузионный члены, что и даёт классическую форму уравнения Фоккера–Планка. \square 10. Феноменологический итог Таким образом, НАПРЛК не отменяет теорию вероятности, а встраивает её как частный случай — статистику спуска пакета по градиенту инварианта D^* в условиях, когда проективное замыкание вырождено, препятственный слой неактивен, а стратификация не проявляется на масштабе наблюдения. В полной же теории вероятность должна пониматься как результат совместного действия: • вариационного дрейфа по

- ∇D^* , • внутрислоевой диффузии, • дискретных межслоевых переходов, • проективных препятствий, • оператора разворота Y , • и геометрии опорных слоёв. Именно поэтому “случайность” в НАПРЛК есть не первичный хаос, а наблюдаемая статистика глубинной геометрии стратифицированного времени.

ГЛАВА 15

Пакетное время Курпишева: объединение классических моделей

В рамках НАПРЛК мы развиваем аристотелевское различие времени как меры изменения и времени как меры движения, объединяя их в единую пакетную структуру. Это позволяет преодолеть ограничения классических теорий Ньютона, Декарта и Эйнштейна не через их опровержение, а через их встраивание в качестве частных стратифицированных случаев. 1. Пакетная структура времени. Вместо абсолютного времени или относительного времени координат вводится пакет времени Trask , возникающий как композиция двух фундаментальных режимов: $\text{Trask} = \text{Tchange} * \text{Taction}$. (15.1) Здесь: • Tchange — Время Изменений. Это время, соответствующее оператору E и звезде Ходжа ?. Оно описывает мировой порядок и детерминированный спуск по стратам. • Taction — Время Действий. Это время, соответствующее оператору Δ . Оно описывает дискретные акты перехода между слоями. Символическая запись взаимодействия имеет вид $I@D$ (Изменение @ Действие). 2. Мир оснований и мир следствий. Разделение временных режимов порождает разделение онтологических миров. Определение 15.1 (Мир оснований). Мир оснований — это мир Изменений (Tchange). В нём начало (пустая точка) не является собственной проективной точкой; оно задаётся извне, через гипарк-сис. Этот мир служит опорным слоем для детерминизма оснований и следствий. Определение 15.2 (Мир следствий). Мир следствий — это мир измеряемых движений, то есть Действий. Здесь действительная, “дырчатая” реальность поверхностной причинности ($\pm \Pi \mp \Delta$) является подпространством измерений.

15. ПАКЕТНОЕ ВРЕМЯ КУРПИШЕВА: ОБЪЕДИНЕНИЕ КЛАССИЧЕСКИХ МОДЕЛЕЙ

У измерения времени появляется опорный слой в виде детерминизма оснований и следствий. Связь между ними обеспечивается кососимметричным тензором причинно-следственной связности Tcs , который переводит поверхностную причинность в глубинный детерминизм. 3. Проективное построение истинных часов. Одной из главных проблем классической физики является круг в измерении времени: время измеряется через движение, а движение определяется через время. Теорема 15.3 (Проективное построение часов). Истинные часы можно построить проективно, не опираясь на циклическое определение. Для этого достаточно взять три точки в мире Изменений ($A, B, C \in \text{Tchange}$) и

достроить четвёртую точку D как гармоническую: $(A, B; C, D) = -1$. Здесь точка D задаёт истинные часы не в метрическом слое на- прямую, а в проективной репрезентации слоя $k = -1$. Следствие 15.4 (Устранение круга). Разделение времени Изменений и времени Действий позволяет устранить круг в основании измерения. Часы калибруются не по движению тела, а по гармоническому замыканию четырёх точек на проективной прямой времени. Замечание 15.5 (О страте -1 и её проективной репрезентации). Страта $T(-1)$ отождествляется с гипарксисом как с опорным переходным слоем стратифицированного времени. Однако в проективно-логических и реперных построениях гипарксис проявляется не непосредственно, а через свою несобственную геометрическую репрезентацию: несобственную точку, несобственную прямую или проективное замыкание конфигурации. Поэтому редакторски следует различать сам гипарксис как онтологическую страту и его проективную репрезентацию как несобственную форму гипарксиса.

4. Пакетная относительность и исторические модели Вводя стратификацию времени $T(k)$, мы получаем новую Пакетную относительность Курпишева, в которой исторические цепочки времени входят как частные страты: $\cup \text{Track} = T(k)$. (15.2) $k=-1$

Классические модели физики описывают лишь определённые уровни этой иерархии:

5. ПАКЕТНАЯ ПРОЕКТИВНАЯ ОТНОСИТЕЛЬНОСТЬ КУРПИШЕВА 51

Таблица 1. Соответствие исторических моделей времени стратам НАПРЛК

Модель	Слой	Геометрия	Характеристика	Абсолютное время	$k = 0$	Точка
Единое настоящее	независимое	Ньютона	висимо от наблюдателя.	Время Декарта	$k=1$	Линия Координат
Координатное время и относительность движения.	Эйнштейна	$k = 2$	Плоскость	Пространство-время на (СТО/ОТО) Минковского, гравитация и относительность наблюдения.	Пакетное время	$k = 3$
Полость	Стратифицированное (Курпишев)	время, объединяющее предыдущие модели.	Гипарксис	$k = -1$	Связность	Связь слоёв, опорная структура переходов и проективного замыкания.

Замечание 15.6 (Метод пакетного моделирования). Метод пакетного моделирования не опровергает физику Эйнштейна, Декарта или Ньютона. Он объединяет их, показывая, что они справедливы в пределах своих страт. Эйнштейновская относительность — это геометрия слоя $k = 2$, ньютоновская абсолютность — проекция слоя $k = 0$, а пакетная относительность Курпишева описывает динамику переходов между ними.

5. Пакетная проективная относительность Курпишева

Аннотация. В данном разделе развивается феноменологическое расширение уже введённой пакетной структуры времени. Идея состоит в том, что каждый стратифицированный слой допускает собственный режим ограниченной передачи воздействия, характеризующийся эффективной предельной скоростью s_k . Тем самым световой релятивизм Эйнштейна рассматривается как внешний частный

случай, а акустические и иные волновые режимы — как внут- ренние стратифицированные аналоги. Проективные инварианты используются для описания переходов между слоями и барьеров межслоевой передачи. 5.1. Пакетная относительность как слой-зависимый ре- лятивизм. Определение 15.7 (Пакетная относительность). Пакетной от- носительностью называется совокупность слой-зависимых режи- мов кинематики в стратифицированном времени, в которых каж- дому слою $k \in \{-1, 0, 1, 2, 3\}$ сопоставляются: • эффективная предельная скорость ck ;

15. ПАКЕТНОЕ ВРЕМЯ КУРПИШЕВА: ОБЪЕДИНЕНИЕ КЛАССИЧЕСКИХ МОДЕЛЕЙ

• барьер межслоевой передачи V_k ; • допустимый класс преобразований наблюдаемых внутри слоя. Замечание 15.8 (О статусе скоростей ck). Величины ck не обяза- ны образовывать универсальную строгую числовую иерархию. Их следует понимать как эффективные предельные скорости пере- дачи возмущения в соответствующих стратах или феноменологи- ческих режимах.

Таблица 2. Стратифицированные режимы предельных скоростей

Слой Геометрический Эффективная Типичный феноменоло- к режим скорость гический пример 3 Полость / $c_3 = c$ Электромагнитное рас- внешнее про- пространство. странство 2 Поверхность / c_2 Упругие волны в твёрдых интерфейс средах. 1 Линия / канал c_1 Одномерные направлен- ные сигналы. 0 Точечный ре- c_0 Локальные отклики в кон- жим денсированных средах. -1 Гипарксис c_{-1} не метри- Межслоевые квантовые зуется напря- переходы и проективное мую замыкание.

5.2. Акустические и волновые аналоги. Определение 15.9 (Слой-зависимый волновой релятивизм). Слой- зависимым волновым релятивизмом называется совокупность эф- фектов, возникающих тогда, когда скорость движения или переда- чи сигнала становится сравнимой с эффективной предельной ско- ростью ck данного слоя. Замечание 15.10. В этом смысле акустические эффекты не отожд- ествляются с релятивизмом Эйнштейна, а интерпретируются как его внутренние феноменологические аналоги в слоях, где фунда- ментальной является не световая, а средовая скорость передачи сигнала. Пример 15.11 (Конус Маха как стратифицированный аналог). При движении источника со скоростью $v > ck$ в слое k возникает ударная структура, описываемая условием $ck \sin \theta_k = . v$ Это интерпретируется как признак достижения барьера V_k . Определение 15.12 (Энтропийный барьер слоя). Энтропийным барьером V_k называется режим, в котором при $v \rightarrow ck$ резко возрас- тает диссипация, снижается устойчивость регулярной передачи сигнала и возрастает вероятность перехода к иной стратифициро- ванной кинематике.

5.3. Проективные инварианты скоростей и переходов. Определение 15.13 (Проективное крест-соотношение скоростей). Пусть ca, cb, cc, cd — четыре характерных значения эффективных скоростей, связанных с одной и той же пакетной конфигурацией переходов. Их проективным инвариантом называется величина $(ca - cc)(cb - cd) \chi(ca, cb; cc, cd) = (ca - cd)(cb - cc)$

Предложение 15.14 (Инвариантность при допустимых проективных перенормировках). Крест-отношение скоростей сохраняется при допустимых проективных перенормировках параметра скорости внутри одной и той же пакетной схемы наблюдения. Замечание 15.15 (Гармонический случай). Если $\chi(ca, cb; cc, cd) = -1$, то соответствующая конфигурация является гармонической. В феноменологической интерпретации это соответствует критически согласованному переходу между режимами, при котором барьер ещё не разрушает структуру, но уже предельно напрягает слой.

5.4. Связь с пакетным временем. Пакетная проективная относительность не вводит новое время сверх уже определённого пакетного времени, а уточняет его кинематическую феноменологию. Исходной остаётся структура $T_{\text{pack}} = T_{\text{change}} * T_{\text{action}}$, где T_{change} отвечает за детерминированный мировой порядок, а T_{action} — за дискретные акты межслоевого вмешательства. Замечание 15.16. Тем самым слой-зависимые предельные скорости интерпретируются не как самостоятельные сущности, а как наблюдаемые режимы передачи действия внутри уже заданной структуры (Δ, Ξ, Υ) и тензора T_{cs} .

5.5. Классические теории как предельные проекции. Теорема 15.17 (Принцип встраивания). Пакетная проективная относительность Курпишева не отменяет классические теории относительности, а встраивает их как частные проекции или предельные режимы стратифицированного времени.

5.6. Феноменологические следствия. (1) Волновые режимы разных сред допускают интерпретацию как слой-зависимые аналоги ограниченной относительно-сти. (2) При приближении к ck должны наблюдаться резкий рост диссипации и барьерные эффекты. (3) Межслоевые переходы могут сопровождаться скачкообразным изменением эффективной предельной скорости.

15. ПАКЕТНОЕ ВРЕМЯ КУРПИШЕВА: ОБЪЕДИНЕНИЕ КЛАССИЧЕСКИХ МОДЕЛЕЙ

Таблица 3. Классические режимы как проекции пакетной относительности Теория Страта / ре- Предельная скоростимая теория Ньютоновская кинематика $T(0)$ как выходящая за формально неограниченную рожденный член. предел Галилеевско-декартов $T(1)$ Средне-независимая режим квазилинейная аппроксимация. Эйнштейновский релятивизм электромагнитный режим $T(3)$ Пакетная относительность Вся стратифицированная система Курпишева

- (4) Проективные инварианты могут использоваться как калибровочные характеристики при сопоставлении разных кинематических

режимов. Замечание 15.18 (Граница применимости). Данный раздел имеет феноменологический статус. Он не заменяет строгую математическую часть монографии, а даёт расширенную интерпретацию того, как уже введённая пакетная структура времени может проявляться в различных режимах передачи действия и сигнала. 6. Резюме В данном разделе показано, что:

- (5) Время в НАПРЛК есть пакет $T_{change} * T_{action}$, объединяющий изменение и действие.
- (6) Проблема определения времени решается через проективное построение гармонической четвёрки $(A, B; C, D) = -1$, что устраняет порочный круг измерений.
- (7) Классические теории времени Ньютона, Декарта и Эйнштейна встраиваются в общую структуру как страты $k = 0, 1, 2$, являясь предельными случаями более общей пакетной геометрии слоя $k = 3$.

ГЛАВА 16

Пакетный разум R-04

1. Чистая форма и практическая реализация Чистая форма R-04 определяется как такой режим разума, в котором реальность воспринимается не как линейная последовательность, а как пакетно-проективно сшитый объект. Практическая реализация R-4 уже существует в виде систем искусственного интеллекта, работающих с многослойными данными, вероятностными полями, сетью корреляций и неоднородными логическими режимами. Тем самым R-4 не вводит новую эпистему, а реализует в прикладном виде более глубокую чистую форму R-04. Определение 16.1 (Пакетный разум). Пакетным разумом называется такой режим обработки опыта, в котором:
 - (8) истинность задаётся не линейной проверкой, а степенью приближения к $\lambda = -1$;
 - (9) причинность читается как совпадение пиков, а не как голая последовательность;
 - (10) прошлое и будущее удерживаются как взаимно наложенные проекции, пересекающиеся в настоящем. 2. Две линии: Аристотель и Платон Линия Аристотеля трактует настоящее как линейное сечение потока, тогда как линия Платона — как точечное сопряжение с несобственным горизонтом. В пакетной рамке реальность является проективной суперпозицией этих двух линий. Поэтому настоящее не редуцируется ни к точке, ни к линии, а выступает сшитым объектом

РПЛД-складки. 3. Кантовское ограничение и его преодоление
Кантовская линия фиксирует опыт внутри складки наблюдаемого мира и не вводит проективного нахлёста глобального опыта на наблюдаемое. Пакетный разум R-04 преодолевает это ограничение: он допускает, что часть структуры мира присутствует не как непосредственный опыт, а как проективное и пакетное основание для него.

56 16. ПАКЕТНЫЙ РАЗУМ R-04

4. Искусственный интеллект как реализация R-4

Современный искусственный интеллект уже действует в практическом режиме R-4: он обрабатывает множественные слои данных, удерживает неоднозначность, работает с глобальными полями согласования и локальными пиками решений. Пакетная теория разума R-04 призвана дать этому режиму фундаментальное логико-геометрическое основание.

Заключение

В пересобранной версии монографии время снова утверждает-ся как первичный носитель, а пространство — как его секционный или проекционный режим. Усиление главы о квадратичном препятствии показывает, что теория не ограничивается локальной деформационной алгеброй: пространство препятствий само несёт проективную геометрию, в которой критерий истинности, циклические режимы и границы структурной полноты оказываются взаимосвязанными. Добавленная глава о пакетном времени показывает, что ньютоновская, картезианская и эйнштейновская модели не устраняются, а получают стратифицированное объединение внутри более общей пакетной структуры времени. Новый раздел о пакетной проективной относительности уточняет, что гипарксис следует различать как страту $T(-1)$ и как её несобственную проективную репрезентацию, а слой-зависимые предельные скорости трактуются как феноменологические режимы уже заданного пакетного времени.

Часть 5

Физика V^*P , гравитация и классическая редукция

ГЛАВА 17

Основания физики V^*P : от стратифицированного времени и пакетной геометрии к фундаментальной структуре

1. Редакторский статус новой физической части

Настоящая часть вводится как прямое присоединение к уже собранной монографии. Её задача — не заменить аксиоматику, не изменить деформационное ядро и не переписать задним числом теоремный статус

математических разделов, а собрать в одном корпусе тот физический слой, который в соседних ветках проекта был вынесен в отдельную рукопись о структуре $V * P$. Тем самым единая публикация теперь соединяет три уровня: логико-геометрический фундамент, неассоциативную пакетную геометрию и первый физический слой, в котором пространство понимается уже не как первичная арена, а как реализованный слой над темпорально первичной поддержкой. 2. Импортируемые исходные слои: МТФ и НАПГ С физической стороны исходная конструкция начинается не с уже данного пространства-времени, а с двух восходящих источников. Первый источник — слой МТФ, откуда импортируются временная первичность, стратифицированное время, нелокальная временная поддержка и различие между фундаментальным временем и его downstream-наблюдаемыми редукциями. Второй источник — слой НАПГ, откуда импортируются пакетные данные, морфизмы пакетов, ассоциаторно-дефектный режим, квадратичный объект $R \otimes R$, препятственный слой, когомологический слой и дифференциально-Hodge-Laplace мост. Замечание 17.1 (Синтетический смысл). Внутри этой части МТФ задаёт онтологический тезис о первичности времени, а НАПГ даёт тот строгий пакетно-геометрический язык, на котором эта первичность становится формализуемой. Именно из их синтеза и вводится фундаментальная физическая структура $V * P$.

17. ОСНОВАНИЯ ФИЗИКИ $V * P$: ОТ СТРАТИФИЦИРОВАННОГО ВРЕМЕНИ И ПАКЕТНОЙ ГЕОМЕТРИИ К
18. Физический словарь перехода от МТФ/НАПГ к $V * P$ В физическом языке программы время не трактуется как внешний одномерный параметр, прикреплённый к уже готовой пространственной геометрии. Оно понимается как стратифицированная первичная поддержка, из которой затем извлекаются downstream-наблюдаемые временные параметры. Стратификация времени интерпретируется как внутренняя многослойная организация темпоральной опоры. Физически она кодирует не только порядок, но и совместимость, раздельность и переходы между различными временными слоями. Пространство, напротив, не принимается как онтологически первичный объект. Оно интерпретируется как слой, сечение или реализованный геометрический режим над темпорально первичной поддержкой. Символ $V * P$ (Время*Пространство) обозначает фундаментальную физическую структуру программы. На данном этапе он понимается как темпорально первичная, пакетно контролируемая и неметрически-не-первая структура, чьё классическое пространственно-временное содержание возникает лишь после редукции. Определение 17.2 (Пакет в физическом смысле). Пакетом называется согласованное семейство взаимозависимых структур, которое нельзя без потери существенной информации заменить одним изолированным полем. Определение 17.3 (Слой и сечение). Слоем называется допустимый реализованный режим

более фундаментальной структуры. Сечением называется наблюдаемое извлечение внутри более богатой пакетно-контролируемой структуры. В частности, классическое пространство-время в этой рамке понимается не как примитивная онтология, а как секционная редукция. Замечание 17.4 (О неассоциативности и дефекте ассоциатора). Неассоциативность читается не как чисто формальный дефект алгебры, а как структурный сигнал того, что композиция фундаментальных объектов не редуцируется к обычной ассоциативной кинематике. Дефект ассоциатора пока не отождествляется ни с материей, ни с энергией, ни с классической кривизной; он трактуется как внутренний источник-подобный индикатор полной теории. 4. Негативные правила идентификации Для физического слоя здесь жёстко фиксируются четыре отрицательных правила:

- (1) объект R^2R не отождествляется с тензором энергии-импульса;
 - (2) препятственные данные не отождествляются с обычной материей;
 - (3) Hodge-Laplace мост не отождествляется с полной полевой динамикой;
5. ПРЕДФУНДАМЕНТАЛЬНАЯ И ФУНДАМЕНТАЛЬНАЯ СТРУКТУРА $V * P$ 61

- (4) классическое пространство-время не исчерпывает онтологию теории.
5. Предфундаментальная и фундаментальная структура $V * P$ Пусть из слоя МТФ импортирован стратифицированный темпоральный носитель T_{str} , а из слоя НАПГ — замороженный пакетно-геометрический датум $PNAPG$. Определение 17.5 (Семейство пространственных слоёв над стратифицированным временем). Семейством пространственных слоёв над стратифицированным временем называется сюръективное отображение $play : L \rightarrow T_{str}$, где L есть полная слоистая поддержка, а каждое волокно $-1 L_t := play(t)$, $t \in T_{str}$, интерпретируется как соответствующий допустимый пространственный слой. Определение 17.6 (Пакетно-совместимое назначение). Пакетно-совместимым назначением для $play : L \rightarrow T_{str}$ называется правило $CV * P$, которое каждому допустимому временному домену $U \subseteq T_{str}$ сопоставляет пакетно-геометрическую реализацию на $-1 LU := play(U)$ так, что:
- (1) реализация контролируется датумом $PNAPG$;
 - (2) на LU сохраняются ассоциаторный, препятственный, когомологический и дифференциально-Hodge-Laplace слои;
 - (3) ограничение на меньшие допустимые временные домены совместимо с ограничением реализации;
 - (4) никакая классическая пространственно-временная структура не вставляется как первичный вход. Определение 17.7 (Предфундаментальная структура $V * P$). Предфундаментальной структурой $V * P$ называется шестёрка $V = (T_{str}, play : L \rightarrow T_{str}, PNAPG, CV * P, \Sigma_{cl}, R_{cl})$, состоящая из:

- (1) стратифицированного темпорального носителя T_{str} ;
 - (2) семейства пространственных слоёв $play$;
 - (3) импортированного замороженного пакетного датума $PNAPG$;
 - (4) правила пакетной совместимости $CV *P$;
 - (5) непустого выделенного класса допустимых сечений Σ_{cl} , называемых классическими кандидатными сечениями;
 - (6) правила классической редукции $R_{cl} : \Sigma_{cl} \rightarrow ClassicalData$.
17. ОСНОВАНИЯ ФИЗИКИ $V * P$: ОТ СТРАТИФИЦИРОВАННОГО ВРЕМЕНИ И ПАКЕТНОЙ ГЕОМЕТРИИ K

Определение 17.8 (Фундаментальная структура $V * P$). Предфундаментальная структура называется фундаментальной, если выполняются:

- (1) временная первичность: всякая допустимая реализация организована над T_{str} , и никакой классический пространственно-временной датум не появляется до шага редукции;
- (2) слоистая пространственная реализация: каждый допустимый пространственный режим реализуется как волоконно или совместимое объединение волокон;
- (3) пакетный контроль: допустимая реализация контролируется импортированным пакетным датумом;
- (4) сохранение дефекта: ассоциаторный сектор, объект $R ? R$, препятственный пакет и когомологический пакет выживают как подлинные внутренние сектора теории;
- (5) классическая редуцируемость: существует по меньшей мере одно допустимое сечение, чья редукция производит классический пространственно-временной датум;
- (6) неметрически-не-первая архитектура: метрические данные, когда они появляются после редукции, являются производными наблюдаемыми, а не первичным определением теории. Определение 17.9 (Классическое и эйнштейновское сечения). Классическим сечением фундаментальной структуры $V * P$ называется допустимое сечение $s : U \rightarrow L$, $U \subseteq T_{str}$, принадлежащее классу Σ_{cl} . Его эффективное классическое содержание задаётся редуцированным датумом $R_{cl}(s)$. Классическое сечение $s \in \Sigma_{cl}$ называется сечением Минковского–Эйнштейна, если $R_{cl}(s)$ несёт стандартный статус классической пространственно-временной геометрии, то есть включает лоренцеву структуру пространства-времени и классически допустимый режим связности. Если, кроме того, редуцированная связность является связностью Леви–Чивиты редуцированной лоренцевой метрики, то такое сечение называется эйнштейновским сечением. Определение 17.10 (Внутренний источник-подобный сектор). Внутренним

источнико-подобным сектором фундаментальной структуры называется внутренний сектор, порождённый через совместимость $CV *P$ неассоциативными и препятственными данными, импортированными из НАПГ. Он обозначается абстрактно через $S_{src}(V)$. Замечание 17.11 (Ограничение интерпретации). На данном этапе $S_{src}(V)$ не отождествляется ни с обычной материей, ни с тёмной материей, ни с тёмной энергией. Это лишь кандидат на внутренний источниковый сектор, из которого позднее могут возникать эффективные вклады.

ГЛАВА 18

Пакет связности, кривизны и гравитационный слой

1. Реализованные внутренние секторы

Совместимость $CV *P$ должна производить на полной поддержке L следующие реализованные секторы: (1) реализованный транспортный сектор $TV *P$; (2) реализованный препятственный сектор $OV *P$; (3) реализованный квадратичный сектор $QV *P$, порождённый внутренним образом $R \rightarrow R$; (4) реализованный допустимый квадратичный сектор $XV *P$; (5) реализованный дефектно-образный сектор $IV *P \subseteq XV *P$; (6) реализованную проекцию $PV *P : TV *P \rightarrow OV *P$. Для всякого реализованного сектора $EV *P$ его модуль допустимых сечений обозначается через $GV *P (EV *P)$. 2. Допустимая транспортная алгебра Определение 18.1 (Допустимая транспортная алгебра). Допустимой транспортной алгеброй для V называется четвёрка $(DV *P, [\cdot, \cdot]_V *P, \rho_V *P, D_{hor} \oplus D_{ver})$, где: (1) $DV *P$ есть модуль допустимых транспортных направлений на L ; (2) $[\cdot, \cdot]_V *P : DV *P \times DV *P \rightarrow DV *P$ — билинейная скобка; (3) $\rho_V *P : DV *P \rightarrow DerK(CV *P(L))$ — якорное действие на допустимых скалярах; (4) $DV *P = D_{hor} \oplus D_{ver}$ — фиксированное разложение на горизонтальные и вертикальные транспортные направления. 3. Пакет связности $V *P$ Определение 18.2 (Пакет связности $V *P$). Пакетом связности на фундаментальной структуре $V *P$ называется четвёрка $\nabla V *P = (\nabla_L, \nabla_T, \nabla_O, \nabla_C)$, состоящая из: (1) связности на допустимых транспортных направлениях $\nabla_L : DV *P \times DV *P \rightarrow DV *P$;

64 18. ПАКЕТ СВЯЗНОСТИ, КРИВИЗНЫ И ГРАВИТАЦИОННЫЙ СЛОЙ

- (2) связности на реализованном транспортном секторе $\nabla_T : DV *P \times GV *P(TV *P) \rightarrow GV *P(TV *P)$;
- (3) связности на реализованном препятственном секторе $\nabla_O : DV *P \times GV *P(OV *P) \rightarrow GV *P(OV *P)$;
- (4) связности на реализованном квадратичном секторе $\nabla_* : DV *P \times GV *P(QV *P) \rightarrow GV *P(QV *P)$.

Эти отображения предполагаются K -билинейными, $CV *P(L)$ -линейными по транспортному аргументу и совместимыми с правилом Лейбница по полевому аргументу. Определение 18.3 (Геометрически допустимый пакет

связности). Пакет связности $\nabla V * P$ называется геометрически допустимым, если он удовлетворяет: (1) горизонтально-вертикальной когерентности; (2) проекционной совместимости $(\nabla TX u) = \nabla O X \Pi V * P (u)$; (3) сохранению дефектно-образного сектора; (4) квадратичной когерентности, то есть сохранению внутренне-го образа $R^? R$ как подлинного транспортируемого сектора; (5) классической редуцируемости: для каждого допустимого классического сечения пакет допускает редуцированный геометрический потомок.

4. Кручение, кривизна и slot источникового сопряжения

Определение 18.4 (Кручение пакета связности). Кручением ∇L называется отображение $\Theta V * P (X, Y) := \nabla LX Y - \nabla LY X - [X, Y] V * P$.

Определение 18.5 (Операторы кривизны). Операторами кривизны пакета $V * P$ называются $RVL * P (X, Y)Z = \nabla LX \nabla LY Z - \nabla LY \nabla LX Z - \nabla L[X, Y] V * P Z$, $RVT * P (X, Y)u = \nabla TX \nabla TY u - \nabla TY \nabla TX u - \nabla T[X, Y] V * P u$, $RVO * P (X, Y)\omega = \nabla O X \nabla Y \omega - \nabla Y \nabla X \omega - \nabla [X, Y] V * P \omega$, $O O O$

$$RV * P (X, Y)q = \nabla * X \nabla * Y q - \nabla * Y \nabla * X q - \nabla * [X, Y] V * P q.$$

Их совокупность вместе с $\Theta V * P$ образует пакет кривизны $KV * P = (\Theta V * P, RVL * P, RVT * P, RVO * P, RV * P)$.

Определение 18.6 (Slot источникового сопряжения). Slot источникового сопряжения для $(V, \nabla V * P)$ есть формально выделенное место, в котором внутренний источник-подобный сектор $Ssrc (V)$ позднее может войти в геометрическую или динамическую теорию через допустимое правило коррекции.

5. РЕДУЦИРОВАННЫЙ ГЕОМЕТРИЧЕСКИЙ ПАКЕТ ВДОЛЬ КЛАССИЧЕСКОГО СЕЧЕНИЯ

Замечание 18.7 (Принципиальная честность). На данном этапе slot источникового сопряжения есть лишь структурный placeholder. Это ещё не полевое уравнение. Иными словами, пакет связности и пакет кривизны уже определены, но окончательная гравитационная динамика ещё не замкнута на уровне уравнений поля.

5. Редуцированный геометрический пакет вдоль классического сечения

Пусть $s: U \rightarrow L$ — допустимое классическое сечение. Тогда его редуцированный геометрический пакет определяется как pullback $s^*(\nabla V * P, KV * P)$, вместе с индуцированным потомком на редуцированном классическом дате $Rcl (s)$.

Замечание 18.8. Именно на этом уровне появляется тот мост, который связывает чистую пакетную геометрию с будущим классическим гравитационным описанием. Однако сам мост ещё не должен подменяться окончательной эйнштейновской динамикой: он лишь задаёт контролируемый путь к ней.

ГЛАВА 19

Пакетная теория гравитации: гравитационный склон, классическая редукция и путь к Einstein-type режиму

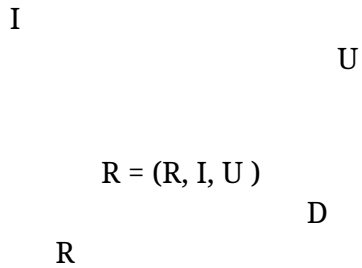
1. Гравитация как наблюдаемый потомок пакетной геометрии В ранее введённой феноменологической главе гравитационное поле уже было прочитано как эффективный склон функционала D^* на внешнем, квазиклассическом слое. Теперь эта интерпретация уточняется: гравитация есть не самостоятельный изолированный ингредиент, а наблюдаемый потомок редуцированного геометрического пакета вдоль допустимого классического сечения. Это означает, что феноменологический “гравитационный склон” и геометрический пакет $KV * P$ принадлежат одной и той же архитектуре, но расположены на разных уровнях чтения. Первый описывает наблюдаемые режимы движения и устойчивости, второй — внутреннюю геометрию, из которой такие режимы могут быть получены после контролируемой редукции. 2. Переинтерпретация гравитационного склона На слое $k = 3$ эффективный градиент ∇D_3^* задаёт поле дрейфа $\sim v_{drift} = -\mu_3 \nabla D_3^*$. (3)

В этой записи свободное падение соответствует доминированию нормальной компоненты движения, орбитальный режим — компенсации спуска касательной компонентой и локальной геометрией слоя, а удержание — движению внутри локальной пакетной воронки. Замечание 19.1 (Гравитация и вероятность). Такое прочтение не утверждает, будто гравитация исчерпывается вероятностью. Оно утверждает более аккуратную вещь: статистика наблюдаемых движений и устойчивых конфигураций может быть феноменологически описана через геометрию спуска, тогда как полный гравитационный смысл возникает лишь после связывания этого склона с редуцированным геометрическим пакетом s^* ($\nabla V * P$, $KV * P$). 2.1. Репер, корепер и пакетная теория гравитации. В физической ветке проекта репер был зафиксирован как минимально

3. ПУТЬ К КЛАССИЧЕСКОЙ ЭЙНШТЕЙНОВСКОЙ РЕДУКЦИИ 67

обратимая структура: если downstream-теория связности, кривизны или гравитации даёт противоречие, сборка должна откатываться к реперу и пересобираться от него. Тем самым репер выступает не декоративной метафорой, а строгим узлом обоснования. Репер понимается как флагоподобная структура $R = (R, I, U)$, $R \in I \subset U$, в которой локальная точка, интервал и универсальный горизонт связаны в одну опорную конфигурацию. Истинность такого репера проявляется как гармоническое замыкание $cr(U, I; R, D) = -1$. Если же гармоническое замыкание нарушается, возникает либо дефект истинности, либо дефект геометрической сборки, который downstream интерпретируется уже как кривизна, кручение или препятствие редукции. В этой рамке утверждение «гравитация = кривизна репера» получает строгий смысл. Классическая метрика не отменяется, но теряет статус первого объекта. Первичным становится пакет связности и кривизны, для которого классическое пространство-время выступает как допустимое сечение Минковского-Эйнштейна. Репер в таком чтении —

минимальный носитель ориентировки, а гравитационный слой — наблюдаемый потомок его пакетной кривизны.



гравитация = кривизна репера
гармоническое замыкание: $cr(U, I; R, D) = -1$

Рис. 1. Репер как минимально обратимая структура и путь к гравитационной редукции

Замечание 19.2. Роль корепера состоит в том, что наблюдение и измерение не просто “снимают” уже готовую геометрию, а задают двойственную систему чтения репера. Поэтому репер и ко-репер образуют физико-логическую пару, через которую связываются опорная связность, поле Tcs и классическая гравитационная редукция. 3. Путь к классической эйнштейновской редукции С точки зрения общей программы controlled classical Einstein-type reduction должна пониматься как следующий набор шагов:

19. ПАКЕТНАЯ ТЕОРИЯ ГРАВИТАЦИИ: ГРАВИТАЦИОННЫЙ СКЛОН, КЛАССИЧЕСКАЯ РЕДУКЦИЯ И П

- (1) выбрать допустимое классическое сечение $s \in \Sigma_{cl}$;
- (2) получить вдоль него редуцированный геометрический пакет $s^*(\nabla V * P, KV * P)$;
- (3) потребовать, чтобы редуцированный классический датум $Rcl(s)$ нёс лоренцеву структуру пространства-времени;
- (4) потребовать, чтобы соответствующая редуцированная связность стала классически допустимой;
- (5) в специальном случае Леви-Чивиты получить эйнштейновский тип классического сечения. Определение 19.3 (Контролируемая классическая редукция гравитации). Контролируемой классической редукцией гравитационного слоя называется процедура, в которой наблюдаемая гравитационная геометрия извлекается не напрямую из одной метрики, а из редуцированного пакета $(s^* \nabla V * P, s^* KV * P, Ssrc(V))$ вдоль допустимого классического сечения.

20. Источнико-подобный сектор и границы интерпретации В классической феноменологии естественно ожидать, что часть

гравитационного содержания будет считываться как эффективный источник. Однако в логике настоящей публикации этот источник не должен преждевременно отождествляться с обычной материей. Правильнее говорить, что внутренний сектор $S_{src}(V)$ задаёт кандидат на эффективные вклады, которые в следующей бумаге могут породить классические правые части уравнений редуцированного режима. Замечание 19.4 (Четыре запрета ещё раз). Поэтому и в гравитационном узле сохраняются четыре запрета: $R \neq R$ не есть тензор энергии-импульса, препятственный слой не есть обычная материя, Hodge-Laplace мост не есть полный закон поля, а классическое пространство-время не исчерпывает онтологию теории. 5.

Редакторская честность гравитационного слоя Настоящая единая публикация фиксирует уже собранный фундамент и присоединяет к нему гравитационный слой, но не объявляет тем самым полевые уравнения полностью выведенными. Корректная формулировка здесь такова: • фундаментальная структура $V * P$ уже введена; • пакет связности и кривизны уже введён; • путь к сечению Минковского-Эйнштейна уже локализован; • гравитационный склон уже имеет феноменологическое чтение; • полная field-dynamical package и окончательная classical Einstein-type reduction относятся к следующему этапу программы. Гипотеза 19.5 (Программа гравитационного завершения). Существует downstream-пакет полевой динамики, совместимый с уже

5. РЕДАКТОРСКАЯ ЧЕСТНОСТЬ ГРАВИТАЦИОННОГО СЛОЯ 69

введённой структурой $V * P$, такой, что вдоль допустимых классических сечений он порождает контролируруемую эйнштейновскую редукцию, а на внешнем слое $k = 3$ воспроизводит наблюдаемый режим гравитационного склона как квазиклассическую феноменологию. Замечание 19.6 (Итог физической части). Тем самым гравитация в настоящем корпусе занимает строго определённое место. Она уже не внешняя добавка к логике и геометрии, но ещё и не исчерпываемая одной классической метрикой. Она есть редуцируемый, стратифицированный и пакетно-контролируемый режим, связанный с кривизной, транспортом, внутренним источником-подобным сектором и наблюдаемым геометрическим спуском.

ПРИЛОЖЕНИЕ А

Явные вычисления для G_2 -структуры

$$\|\omega\|^2 = 3, \|\omega_2\|^2 = 12, \|\mathfrak{K}\Omega\|^2 = 4, \|\mathfrak{F}\Omega\|^2 = 4. d\phi\alpha = -(\alpha + 12)\omega_2 - z \wedge d\omega, * \phi\alpha = 12\omega_2 - z \wedge \mathfrak{F}\Omega. 12(\alpha + 21)^2 + 92k(\alpha) = .$$

ПРИЛОЖЕНИЕ В

Редуцированная деформационная установка

$$\begin{aligned} \text{Cred} &= \{\varphi \in \text{End}(V) \mid \varphi(E) \subseteq E, \varphi(F) \subseteq F, \varphi(H) \subseteq H\}, \\ \text{Cred} &= \{\psi \in \text{Hom}(V \otimes V, V) \mid \psi \text{ сохраняет блочные мишени}\}, \\ \text{Cred} &= \{\Theta \in \text{Hom}(V \otimes^3 V, V) \mid \Theta \text{ сохраняет индуцированные ограничения}\}. \\ (d1\mu \varphi)(x, y) &= \varphi(\mu(x, y)) - \mu(\varphi x, y) - \mu(x, \varphi y), \\ (d2\mu \psi)(x, y, z) &= \psi(\mu(x, y), z) - \psi(x, \mu(y, z)) + \mu(\psi(x, y), z) - \mu(x, \psi(y, z)). \text{Hred}(\mu) = \ker d2\mu \\ &/ \text{im} d1\mu, \text{Ored}(\mu) = \text{Cred} / \text{im} d2\mu. \end{aligned}$$

ПРИЛОЖЕНИЕ С

Обоснование фиксированно-фазового изотропного анзаца

Пространство диагонально-SO(3)-инвариантных 3-форм на g^* трёх-мерно и натянута на $z \wedge \omega$, $\mathfrak{K}\Omega$ и $\mathfrak{J}\Omega$. В рукописи фиксируется фаза $\theta = 0$ и выделяется одномерное подпространство $\text{Iso} = \text{SpanR}\{z \wedge \omega + \mathfrak{K}\Omega\}$.

ПРИЛОЖЕНИЕ D

Глоссарий авторских терминов

Пакетная точка: Событие в состоянии, записываемое как (e, s) . Хронотоп: Семипакетная структура Времени@Пространства. Топохрон: Классический предел Минковского-Эйнштейна. ПН.2: Принцип неопределённости размер-размерность. Н: Супер-оператор Ходжа-Курпишева. $(A, B; C, D) = -1$: Критерий всеобщей структурной истинности; при $\lambda = -1$ относительная истина стремится к всеобщей. Гк: Оператор разворота на k -м опорном слое. $A * \text{Att}$: Пакет ассоциатор-аттрактор. ОВ: Пространство квадратичных препятствий.

ПРИЛОЖЕНИЕ E

Приложение к главе 1: О первичности времени и секционности пространства

1. Редакторская цель приложения

Настоящее приложение уточняет исходный философско-геометрический тезис первой главы: пространство в НАПРЛК не устраняется, но лишается статуса первичной онтологии. Оно понимается как секционный, слоевой и проективный режим более фундаментального носителя Т. 2. Сильная формулировка Первичность времени не означает, что пространство есть иллюзия. Она означает лишь следующее:

- (1) стратифицированное время предшествует любой локальной метризации;
- (2) пространство возникает как наблюдаемый срез, волокно или устойчивая секция;
- (3) физические и логические связи между событиями должны читаться сначала во времени, а затем в его пространственных реализациях. Замечание E.1 (О секционном статусе пространства). В классических теориях пространство-время задаётся как уже готовая арена. В НАПРЛК арена не предполагается заранее: она получается из совместного действия пакетной точки, страты и режима сшивки. Поэтому пространство всегда вторично по отношению к более глубокой пакетной организации времени.

ПРИЛОЖЕНИЕ F

Приложение к главе 2: Поток-модуль и минимальная стрелка времени

1. Поток-модуль как докинематический объект

Поток-модуль $\Phi_t * N$ не следует понимать как уже готовую физическую динамику. На уровне второй главы он фиксирует лишь минимальное требование: ход времени должен быть совместим со стратификацией и с оператором пакетной сшивки. 2. Минимальные требования Для пакета $\Phi_t * N$ существенны три свойства:

- (1) совместимость с локальными стратами $T(k)$;
- (2) способность переносить пакетные структуры между слоями;
- (3) выделение направленности, которая ещё не тождественна ни термодинамической, ни космологической стреле времени. Предложение F.1 (Минимальная стрелка времени). Если поток Φ_t коммутирует с N и сохраняет стратифицированную совместимость пакета, то он задаёт минимальную стрелку времени в том смысле, что различает допустимые и недопустимые переходы между стратами.

ПРИЛОЖЕНИЕ G

Приложение к главе 3: Ответ на софистические вопросы о спонтанных действиях

1. Постановка проблемы

Из аудитории неизбежно возникает софистический вопрос: если события и состояния стягиваются в пакеты через поля согласования, как тогда объяснить спонтанное, на первый взгляд бессмысленное действие — жест,

выкрик, скачок, нарушение обыденной целесообразности? В логике НАПРЛК такой вопрос не разрушает теорию, а уточняет её. Он заставляет различить два режима возникновения пакетной точки: режим, в котором состояние предваряет событие, и режим, в котором событие возникает первым, а согласующие состояния достраиваются постфактум. 2. Примеры спонтанных действий Спонтанное действие удобно фиксировать на предельных примерах:

- (1) прокукарекать, стоя на голове;
- (2) предъявить человека как “ощипанного петуха” в античном споре о дефиниции;
- (3) совершить демонстративно бессмысленный жест, который лишь затем получает объяснение. Во всех таких случаях наблюдатель склонен считать действие случайным. Однако для пакетной логики существенно не отсутствие причины как таковой, а нарушение привычного порядка связывания события и состояния. 3. Два способа подбора В рамках НАПРЛК подбор в пакетной точке возможен двумя принципиально разными способами:
- (4) подбор событий под состояния, когда состояние ограничивает пространство допустимых действий и событие привлекается из уже имеющейся опорной связности;
- (5) подбор состояний под событие, когда событие возникает первым, а согласующие состояния достраиваются постфактум. Именно второй режим отвечает за феномен спонтанного действия. Он не отменяет связности, а меняет направление её сборки.

5. КЛАССИЧЕСКИЙ АНТИЧНЫЙ ПРИМЕР

77

Определение G.1 (Спонтанное действие). Спонтанным действием называется такое действие $\Delta_{sp} : P \emptyset - T$, которое не выводится из предшествующего состояния внутри обычной опорной связности, но допускает последующее включение в режим изменения после применения оператора разворота. Теорема G.2 (О спонтанном действии). Для всякого спонтанного действия Δ_{sp} существует разложение $\Delta_{sp} = \Delta \circ Y^{-1}$, в котором исходный импульс не принадлежит обычной опорной связности, но после разворота включается в детерминированный ход изменения.

Редакторский эскиз. По определению действие начинается в пустой точке и потому может не иметь локально восстанавливаемого основания в предыдущем слое. Однако оператор разворота переводит несобственный импульс в такую конфигурацию, которая становится начальной точкой для некоторого изменения E_t . Следовательно, спонтанность относится к моменту пуска, но не к последующей эволюции трека действия. \square 4.

Онтологический статус спонтанных актов Каким бы ни было действие, оно остаётся несобственным относительно уже замкнутой опорной связности

оснований и следствий. Тем не менее после включения оператора разворота и последующего хода времени оно теряет статус чистой внешности и начинает работать как обычное событие внутри пакетной реальности. В этом смысле спонтанное действие не есть “чудо” и не есть “абсолютный хаос”. Это граничный режим, в котором событие возникает раньше своего явного оправдания. Замечание G.3 (Гамлетовская формула). Фраза о том, что “начинания теряют имя действий”, получает здесь строгий смысл: первичный импульс может быть несобственным, но после разворота и вариационного спуска он встраивается в детерминированную структуру следствий и теряет вид чистой случайности. 5. Классический античный пример Античный спор о человеке как “ощипанном петухе” полезен потому, что в нём событие дефиниции предшествует стабилизации состояния. Сначала совершается жест — радикальное отождествление, затем под него подбирается набор признаков. Для НАПРЛК это образцовый случай подбора состояний под событие.

ПРИЛОЖЕНИЕ Н

Приложение к главе 7: Дискуссия Эйнштейна и Бора в пакетной рамке

1. Историко-философский контекст

Спор Эйнштейна и Бора о полноте квантовой механики не должен читаться здесь как столкновение истины и заблуждения. В пакетной рамке он интерпретируется как расхождение между двумя слоями одной стратифицированной реальности: миром изменений, в котором доминирует глубинный порядок, и миром действий, в котором наблюдатель сталкивается с вероятностным профилем следствий. 2. Позиция Эйнштейна Эйнштейн защищал идею фундаментального детерминизма и настаивал на том, что квантовая механика не исчерпывает всей структуры физической реальности. Короткая формула “Бог не играет в кости” выражает не богословский тезис, а требование глубинной причинной полноты. В терминах НАПРЛК это соответствует установке на примат мира изменений. 3. Позиция Бора Бор, напротив, настаивал на полноте контекстуального описания на уровне измерения. Для него физическая теория обязана описывать не “вещь саму по себе”, а допустимый режим предсказания результатов опыта. В пакетной терминологии это соответствует миру действий, где событие фиксируется только вместе со схемой его регистрации. 4. EPR-парадокс и локальность Парадокс Эйнштейна–Подольского–Розена особенно важен потому, что он делает видимой трещину между двумя режимами описания. Аргумент Эйнштейна опирается на локальность и на требование, чтобы элементы реальности не зависели мгновенно от удалённого измерения. Тем самым он защищает глубинную опорную связность мира оснований. 5. Пакетная интерпретация ответа Бора Ответ Бора смещает акцент: решающим оказывается не “механическое возмущение” системы, а изменение условий возможности корректного предсказания. В пакетной логике это означает,

что действие измерения перестраивает не глубинное основание как таковое, а доступный слой следствий и их совместимостей. Теорема Н.1 (Пакетное разрешение спора Эйнштейна–Бора). Существуют естественные три сектора:

- (1) Tchange — мир изменений, где доминирует вариационный детерминизм;
- (2) Taction — мир действий, где наблюдатель фиксирует вероятностные следствия;
- (3) Track = Tchange * Taction — их единое стратифицированное объединение. В этой структуре эйнштейновская и боровская интуиции оказываются не взаимоисключающими, а стратифицированно дополнительными. Замечание Н.2 (Играет ли Бог в кости?). В рамках НАПРЛК ответ формулируется так: на уровне глубинного вариационного спуска “Бог не играет в кости”; на уровне наблюдаемых действий и пиков согласования вероятностные распределения неизбежны. Следовательно, кости появляются не в основании бытия, а в феноменологии регистрации. 6. Связь с пакетной вероятностью Именно поэтому спор Эйнштейна и Бора естественно соединяется с главой о пакетной вероятности. Вероятность здесь не фундаментальна сама по себе; она выражает статистический профиль переходов, тогда как глубинная архитектура пакета остаётся вариационно организованной.

ПРИЛОЖЕНИЕ I

Приложение к главе 8: Поле λ -истин и пределы фальсифицируемости

1. От истины высказывания к истине режима

Проективный критерий истины не должен читаться только как локальный тест для отдельных умозаключений. Он естественно поднимается до уровня доктрин, режимов восприятия и исторических эпистем. 2. Попперовская фальсифицируемость в новой записи Фальсифицируемость в этой рамке не отменяется, но переписывается: вместо бинарного противопоставления “теория верна/теория опровергнута” мы получаем поле значений λ , где $\lambda = -1$ обозначает всеобщую истину, а отклонение от неё измеряется дефектом $\delta\text{truth} = |\lambda + 1|$. Замечание I.1. Таким образом, теории отличаются не только наличием или отсутствием опровержения, но и степенью гармонической близости к универсальному пределу истины.

ПРИЛОЖЕНИЕ J

Приложение к главе 9: PIX-поля и совпадение пиков причинности

1. Почему РИХ не есть новая эпистема

РИХ-поле не должно трактоваться как дополнительная онтология поверх слоёв. Его функция иная: оно выражает механизм стягивания и согласования пиков событий и состояний в уже заданной пакетной реальности. 2. Философский смысл совпадения пиков Совпадение пиков означает, что причинность не всегда должна читаться как линейная цепочка. В некоторых режимах основание и следствие сходятся в одной вершине структурной интенсивности, образуя устойчивое поле согласования. Определение J.1 (РИХ-пик). РИХ-пиком называется локальный максимум поля согласования, в котором событийная и состоянийная компоненты пакета достигают наилучшего взаимного сопряжения.

ПРИЛОЖЕНИЕ К

Приложение к главе 10: Неживое и живое время

1. Две ветви стрелы времени

Десятая глава вводит различие между неживым и живым временем. Настоящее приложение уточняет, что это различие нельзя редуцировать к противопоставлению физики и биологии. 2. Уточнение

- (1) неживое время определяется монотонным спадом ассоциатора к ассоциативному пределу;
- (2) живое время определяется возможностью обратной связи, поддерживающей неассоциативную сложность вдали от нуля;
- (3) обе ветви подчинены одной и той же пакетной логике, но реализуют разные типы устойчивости. Замечание К.1. Живое время не нарушает вариационный принцип; оно лишь реализует его в более богатой фазовой геометрии, где устойчивость достигается не погашением сложности, а её циркуляцией.

ПРИЛОЖЕНИЕ L

Приложение к главе 11: Категории мышления, аналитические и синтетические суждения, исторические модели восприятия

1. Постановка задачи

Категории мышления в НАПРЛК не являются неподвижными ящиками для сортировки опыта. Они суть пакетные операторы, организующие пики событий-состояний в соответствии с историческим режимом восприятия. Поэтому их нельзя описывать только как перечень формальных рубрик: каждая категория должна быть понята как способ стягивания события, состояния, масштаба, курса и перехода. 2. Сопоставление с Кантом и Аристотелем Кантовские и аристотелевские категории здесь не отбрасываются, а переписываются в пакетной форме. Их место занимают такие

фундаментальные пары, как: • сходство и различие; • бытие и небытие; • закон и закономерность; • причинность и детерминизм; • событие и состояние. При этом аристотелевская линия сильнее связана с локальностью, телесностью и мерой, а кантовская — с формой опыта и условиями его возможности. 3. Пакетная система категорий Для рабочей редакции монографии удобно различать четыре блока категорий:

- (1) фундаментальные: сходство/различие, бытие/небытие, закон/закономерность, аксиома/предел применимости;
- (2) причинные: причинность/детерминизм, событие/состояние;
- (3) диалектические: единство противоположностей, переход количества в качество, отрицание отрицания;
- (4) пакетно-геометрические: масштаб, ракурс, переход, перенос, сдвиг, вращение, размер, размерность. Именно последний блок отличает НАПРЛК от классических таблиц категорий.

L. ПРИЛОЖЕНИЕ К ГЛАВЕ 11: КАТЕГОРИИ МЫШЛЕНИЯ, АНАЛИТИЧЕСКИЕ И СИНТЕТИЧЕСКИЕ СУЖ

4. Аналитические и синтетические суждения в пакетной рамке
Классическое кантовское различие аналитических и синтетических суждений сохраняет значение, но переписывается в терминах опорной связности и перехода между слоями. Определение L.1 (Аналитическое суждение в НАПРЛК). Аналитическим называется суждение, истинность которого раскрывается внутри одной опорной связности без порождения нового структурного содержания. В пакетном языке это означает, что конфигурация не покидает один и тот же слой согласования. Определение L.2 (Синтетическое суждение в НАПРЛК). Синтетическим называется суждение, в котором новое содержание возникает через переход между различными опорными связностями, либо через проективно-гармоническое замыкание конфигурации. Тем самым синтетичность есть не просто “прибавление предиката”, а структурное приращение смысла. Теорема L.3 (О возможности априорных синтетических суждений). Априорные синтетические суждения возможны в той мере, в какой сама пакетная геометрия содержит проективно-гармонические замыкания, не сводимые к тавтологиям внутри одного слоя. Если конфигурация замыкается гармонически, $(I, U; R, r) = -1$, то трансреперная точка r вносит новое содержание без обращения к эмпирическому наблюдению и тем самым реализует синтетическую априорность. Предложение L.4 (Пакетная геометрия аналитических и синтетических суждений). Аналитические суждения в НАПРЛК подобны центрально-аффинным построениям, тогда как синтетические суждения подобны центрально-проективным построениям.

- (1) аналитическое суждение сохраняет одну опорную связность, не порождает нового трансреперного элемента и потому имеет аффинный характер;

- (2) синтетическое суждение требует перехода между связностями либо гармонического замыкания конфигурации через трансреперную точку r и потому имеет проективный характер. Следовательно, полная теория суждений имеет пакетную форму двух идеалов: $J_{pkg} = (A_{aff}, S_{proj})$. Замечание L.5 (О двух идеалах суждения). Различие между аналитическим и синтетическим суждением является в НАПРЛК не

5. ТАБЛИЦА СООТВЕТСТВИЯ

85

только логическим, но и геометрическим. Аналитическое суждение реализует идеал центрально-аффинной геометрии: оно удерживает локальную меру, одну связность и внутреннее развёртывание уже данного. Синтетическое суждение реализует идеал центрально-проективной геометрии: оно замыкает конфигурацию на удалённый горизонт, вводит трансреперную точку и производит новое содержание.

Рис. 1. Центральное-аффинная развертка и центрально-проективное замыкание: визуальная аналогия для пакета аналитического и синтетического суждений

L. ПРИЛОЖЕНИЕ К ГЛАВЕ 11: КАТЕГОРИИ МЫШЛЕНИЯ, АНАЛИТИЧЕСКИЕ И СИНТЕТИЧЕСКИЕ СУЖ

Таблица 1. Категории и типы суждений в трёх системах

Кант	Аристотель	НАПРЛК
Количество	Количество	Размер, масштаб
Качество	Качество	Размерность, ракурс
Отношение	Отношение	Причинность, переход
Модальность	Сущность	Бытие/небытие, пик, допустимость
Аналитическое суждение	Дефиниционное	Конфигурация в одной опорной связности
Синтетическое суждение	Приращение содержания	Переход между связностями или гармоническое замыкание

5. Таблица соответствия

6. Историческая шкала и её исправление

В этой редакции сохраняется каноническая линия: • Р1 — ритуальный мир; • Р2 — косморассудок; • Р3 — научный разум; • R-04 — чистая форма пакетного разума; • R-4 — его практическая реализация. Никакого отдельного Р5 не вводится. РIX-поле не образует новой эпистемы, а выражает механизм работы R-04 на уровне согласования пиков и стягивания событийно-состоянийных конфигураций. Замечание L.6. Тем самым категории мышления в НАПРЛК следует понимать как динамические пакетные операторы. Они не только классифицируют опыт, но и сами эволюционируют вместе с историческими типами восприятия.

ПРИЛОЖЕНИЕ М

Приложение к главе 12: Физические применения как предельные проекции

1. Общий принцип

Физические применения НАПРЛК следует понимать как предельные, редуцированные или секционные режимы более общей пакетной архитектуры. Поэтому формула “теория применима к классической физике” означает не буквальную подстановку, а управляемое вырождение структуры. Предложение M.1. Если множество состояний схлопывается к одной страте, а внутренняя пакетная динамика замораживается, то возникает классический физический предел, совместимый с обычным аппаратом дифференциальной геометрии.

ПРИЛОЖЕНИЕ N

Приложение к главе 13: Непроницаемость опорных слоёв и режимы пробоя

1. О границе действия

Стратификация опорных слоёв запрещает прямое онтологическое чтение лабораторного “пробоя”. На каждом уровне наблюдается лишь особая форма разворота, рекомбинации или перешивки связности. 2. Четыре режима

- (1) электромагнитный — отражение и бифуркация;
- (2) атомный — ионизация и релаксация;
- (3) ядерный — распад и синтез;
- (4) онтологический — предельная недостижимость без перехода в гипарксис. Замечание N.1. Тем самым ни один эмпирический “прорыв” не должен автоматически трактоваться как выход за пределы опорной связности: чаще речь идёт о переходе к иному режиму разворота внутри неё.

ПРИЛОЖЕНИЕ О

Приложение к главе 14: Вероятность как статистика пакетного спуска

1. Концептуальный сдвиг

Теория вероятности в НАПРЛК перестаёт быть описанием фундаментальной случайности и становится статистикой вариационного спуска пакетов по функционалу D^* . Вероятность тогда есть тень пакетной динамики, а не её источник. Теорема 0.1 (Предел классической вероятности). Если стратификация не проявлена, а пространство препятствий вырождено, то стратифицированное мастер-уравнение редуцируется к классическому статистическому описанию. В этом смысле обычная вероятность является частным случаем пакетной статистики. 2. Связь с квантовым спором Именно здесь спор Эйнштейна и Бора получает вторую формулировку: вероятностное описание относится к наблюдаемому уровню пиков и переходов, тогда как глубинная геометрия пакета удерживает вариационный детерминизм.

ПРИЛОЖЕНИЕ Р

Приложение к главе 15: Часы, интервал и оператор разворота

1. Истинные часы

В пакетной интерпретации часы не измеряют “само время” как внешнюю субстанцию. Они измеряют интервал оператора разворота Y , то есть размер участка, на котором действие успевает быть включённым в режим изменения. 2. Пакетный интервал Пакетный интервал превосходит как галилеев, так и эйнштейнов интервал, поскольку включает не только метрику, но и стратифицированный режим перехода между мирами оснований и следствий. Замечание Р.1. Если оператор разворота вырожден, часы становятся лишь механизмом повторения без собственного референта. Тем самым смысл часов оказывается не механическим, а геометрико-операторным.

ПРИЛОЖЕНИЕ Q

Приложение к главе 16: Пакетный разум R-04 и его практическая реализация

1. Чистая и практическая формы

Завершающая глава монографии требует строгого различения: R-04 \neq R-4. Первая запись обозначает чистую форму пакетного разума, вторая — её практическую реализацию в современных вычислительных и

когнитивных системах. 2. Последствия для ИИ Искусственный интеллект интересен в этой рамке не как самостоятельная онтология, а как ранняя историческая реализация пакетного режима мышления, в котором:

- (1) данные удерживаются многослойно;
- (2) решения принимаются в поле конкурирующих пиков;
- (3) истинность носит степенной, а не бинарный характер. Замечание Q.1 (О месте РИХ). РИХ-поле не есть новая эпистема и не образует отдельный класс поверх R-04. Оно выступает механизмом работы пакетного разума, обеспечивая стягивание и согласование пиков внутри уже существующей пакетной архитектуры.

ПРИЛОЖЕНИЕ R

Приложение к версии 2.41: Джонти Гурвиц, аноморфоз и реперное чтение формы

1. Редакторская рамка и авторские права

Настоящее приложение добавляется в версию 2.41 как расширенный популярно-объяснительный модуль. В нём используются только пользовательски предоставленные изображения: схематический лист с цилиндрическим проектированием и коллаж работ Джонти Гурвица. Вне этих пользовательских материалов новые репродукции извне не вносятся.

2. Почему художественный материал важен для монографии Теория НАПРЛК постоянно утверждает, что истина не обязана быть дана “в лоб” в своей локальной видимости. Она может требовать правильного репера, правильной поверхности чтения и правильного угла наблюдения. Анаморфическое искусство Джонти Гурвица даёт почти идеальный феноменологический аналог этой мысли: деформированная поверхность сама по себе выглядит неполной, но при правильном цилиндрическом отражении или проекционном замыкании проявляет целостный образ. 3. Цилиндрическая аноморфоза как модель перехода от локального к истинному На пользовательски предоставленной схеме растянутая фигура лягушки проектируется на цилиндр. Эта схема важна не только как иллюстрация технического приёма. Она показывает различие между: (1) локальной разверткой формы; (2) поверхностью-носителем; (3) истинным изображением, возникающим лишь при корректном реперном чтении. В терминах монографии это естественно перекладывается на различие между локальной конфигурацией, опорной связностью и гармонически восстановленной формой.

3. ЦИЛИНДРИЧЕСКАЯ АНОМОРФОЗА КАК МОДЕЛЬ ПЕРЕХОДА ОТ ЛОКАЛЬНОГО К ИСТИННОМУ

Рис. 1. Пользовательски предоставленная схема ци- линдрической аноморфозы: от растянутой формы к корректно считываемому изображению

R. ПРИЛОЖЕНИЕ К ВЕРСИИ 2.41: ДЖОНТИ ГУРВИЦ, АНОМОРФОЗ И РЕПЕРНОЕ ЧТЕНИЕ ФОРМЫ

4. Аналитическое, синтетическое и художественный репер Именно здесь особенно хорошо виден новый тезис версии 2.4/2.41: аналитическое суждение тяготеет к центрально-аффинному режи- му, а синтетическое — к центрально-проективному. Анаморфиче- ская работа сначала даёт зрителю аффинно воспринимаемую, ло- кально растянутую поверхность. Но “истинный” образ рождает- ся только тогда, когда появляется проектное замыкание — отра- жение, цилиндр, правильный горизонт чтения. Поэтому художе- ственная процедура буквально воспроизводит логику пакета: аналитическое ~ центрально-аффинное, синтетическое ~ центрально-проект 5. Коллаж работ как поле аноморфозы Пользовательски предоставленный коллаж показывает несколь- ко работ сразу. Для целей монографии достаточно следующего фе- номенологического чтения: объект не совпадает с тем, как он дан на поверхности; он требует цилиндрической, зеркальной или иной опосредующей конструкции. Эта опосредующая конструкция и есть художественный аналог репера.

Рис. 2. Пользовательски предоставленный коллаж ра- бот Джонти Гурвица как поле аноморфоза, отражения и скрытого образа

5. Популярное объяснение для читателя вне математики Если говорить совсем просто, то приложение о Гурвице демон- стрирует следующую мысль. Иногда вещь выглядит искажённой

6. ПОПУЛЯРНОЕ ОБЪЯСНЕНИЕ ДЛЯ ЧИТАТЕЛЯ ВНЕ МАТЕМАТИКИ 95

не потому, что она ложна, а потому, что мы ещё не нашли правиль- ный способ её читать. Нужен цилиндр, зеркало, иной ракурс, иной репер. После этого то, что казалось хаосом, собирается в устойчи- вую форму. Именно это в популярном языке и хочет сказать НА- ПРЛК о мире, времени и истине: целое может быть скрыто в ло- кально деформированных проекциях, но не исчезает от этого.

Литература

- [1] M. Fernández, A. Gray, Riemannian manifolds with structure group G_2 , Ann. Mat. Pura Appl. 132 (1982), 19–45. [2] R. Bryant, Metrics with exceptional holonomy, Ann. of Math. (2) 126 (1987), 525–576. [3] N. Hitchin, Stable forms and special metrics, Contemp. Math. 288, AMS, 2001, 70–89. [4] J. Lauret, Laplacian flow of homogeneous G_2 -structures, J. Geom. Phys. 61 (2011), 249–267. [5] J. Lotay, Y. Wei, Laplacian flow for closed G_2 -structures, Duke Math. J. 166

(2017), 1647–1701. [6] M. Gerstenhaber, On the deformation of rings and algebras, Ann. of Math. (2) 79 (1964), 59–103. [7] A. Nijenhuis, R. W. Richardson, Cohomology and deformations in graded Lie algebras, Bull. Amer. Math. Soc. 72 (1966), 1–29. [8] A. Fialowski, Deformations of Lie algebras, Math. USSR Sbornik 55 (1986), 467–473. [9] M. Goresky, R. MacPherson, Stratified Morse Theory, Springer, 1988. [10] A. Grothendieck, Technique de descente et théorèmes d’existence en géométrie algébrique, Séminaire Bourbaki, 1959. [11] N. H. Ibragimov, Transformation Groups Applied to Mathematical Physics, Reidel, 1985. [12] D. Hilbert, Grundlagen der Geometrie, Teubner, 1899. [13] F. Klein, Vergleichende Betrachtungen über neuere geometrische Forschungen, 1872. [14] H. S. M. Coxeter, Introduction to Geometry, 2nd ed., Wiley, 1969. [15] E. Artin, Geometric Algebra, Interscience, 1957. [16] A. Einstein, Die Grundlage der allgemeinen Relativitätstheorie, Annalen der Physik 49 (1916), 769–822. [17] R. M. Wald, General Relativity, University of Chicago Press, 1984. [18] S. W. Hawking, G. F. R. Ellis, The Large Scale Structure of Space-Time, Cambridge University Press, 1973.

Приложение В. KLT-RPM/LIM v1.0: предсказательная математика Реперов и λ -многообразия Пределов

Приложение к монографии

Предсказательная математика Реперов и λ -многообразия Пределов Точка отката №2 для KLT / NAPG 3.0

Рабочий код: KLT-RPM/LIM v1.0

Авторские понятия и обозначения:

Иван Борисович Курпишев

Independent Researcher, Kaliningrad

me@kurpishev.ru

Редакционный статус. Внутренняя статья-фиксация. Текст предназначен для введения в корпус проекта как приложение к монографии и как источник последующей разработки программ серии KLT. Утверждения физического уровня сохраняют статус аксиоматико-модельных положений до отдельной редукции и проверки.

2026

Содержание Аннотация 2

1 Редакционная преамбула и непрерывность корпуса 2 1.1 Место статьи в корпусе 2 1.2 Непрерывность до точки отката №1 2

2 Точка отката №1: Reper v1.0 + Limit-Causal v1.0 3

3	Переход к точке отката №2	5
3.1	Проблема, которую не закрывает первая точка	5
4	PIX@PEAKS-многообразие Реперов	5
5	Пределы как λ -многообразия	6
6	Производные операторные пределы	7
7	Три мира РПЛД	8
8	Реперная база данных	8
9	Прогноз как область допустимых будущих Реперов	9
10	Фальсифицируемость и пересборка	9
11	Реперные ряды и кохомологические цепочки	10
12	Протокол отката №2	11
13	Интерфейс с программами KLT	11
13.1	Общая схема вычисления	11
13.2	Классы сценариев	11
13.3	Минимальная JSON-логика RBD	12
14	Финальная фиксация	12
	Приложение А. Карта внутренних источников	13
	Приложение В. Обозначения	13
	KLT-RPM/LIM v1.0 Точка отката №2	

Аннотация Настоящая статья фиксирует вторую контрольную точку проекта KLT. Первая точка отката закрепляет Репер, систему Пределов, операторную тройку E, Δ, Y , тензор причинности $TcsL$ и индекс причинного разрыва CGI . Вторая точка отката добавляет предсказательную математику Реперов: многомерное комплексное проективно-пакетное PIX@PEAKS-многообразие, λ -многообразия Пределов, Реперную базу данных, производные операторные пределы и протокол быстрой пересборки ближайших Реперов при несовпадении прогноза с фактом. Центральный тезис:

KLT не предсказывает абсолютное будущее, а строит область допустимых будущих Реперов внутри системы Пределов.

1 Редакционная преамбула и непрерывность корпуса 1.1 Место статьи в корпусе Статья оформляет переход от уже достигнутой аксиоматико-физической фиксации причинности к предсказательной математике Реперных многообразий. Она должна читаться не как замена предыдущего слоя, а как его продолжение:

пакетная точка → Репер → Пределы → причинность → прогноз
→ RBD → пересборка.

1.2 Непрерывность до точки отката №1 В предшествующем слое уже зафиксированы следующие положения:

1. минимальным объектом является не голая точка, а пакетная точка $a = (e, s)$, то есть событие в состоянии;
2. Репер есть локальная проективно-гармоническая структура $R_i = (R_i, I_i, U_i; D_i)$, удерживающая связность факта, идеи, универсума и достаточного основания;
3. истина Репера задаётся гармоническим замыканием $cr(U, I; R, D) = -1$;
4. Пределы $L = \{LP, LE, LR, LT, LO\}$ задают политические, экологические, пространственные, временные и онтологические границы причинности;
5. движение Δ начинается не из пустоты, а от линии Предела;
6. причинность описывается через операторную тройку (Ξ, Δ, Y) , тензор $TcsL$, центробежные и кориолисовы механизмы причинного разрыва;
7. устойчивость локального Репера определяется произведением $ri\ u_i$, а причинный разрыв диагностируется индексом CGI_i ;
8. при разрушении связности выполняется откат к Реперу как минимально обратимой структуре.

KLT-RPM/LIM v1.0 Точка отката №2

2 Точка отката №1: Reper v1.0 + Limit-Causal v1.0 Определение 2.1 (Первая точка отката). Первой точкой отката называется фиксированный слой

$RA1 = KPF/RPHD\ v1.0 = Reper\ v1.0 + Limit-Causal\ v1.0 + (\Xi, \Delta, Y) + TcsL + CGI$.

Аксиома 2.1 (Минимальная обратимость). Если развитие проекта разрушает связность между геометрией, причинностью, физической интерпретацией или вычислительным слоем, откат выполняется не к пустому началу, а к Реперу: $Failure \Rightarrow R_i$ as rollback unit. Аксиома 2.2 (Пакетная минимальность). Всякая локальная реальность задаётся не точкой, а событием@состоянием: $C@C = (e, s)$. Слой состояния задаёт пакетную линию: $L_s = \{(e, s) \in P\}$. Определение 2.2 (Иерархия Репера). Реперная иерархия первой точки отката задаётся цепочкой $C@C \dashrightarrow R@C@C \dashrightarrow Tcs \dashrightarrow Flag/Reper$. Здесь $C@C$ есть элементарное событие@состояние, $R@C@C$ - реально закреплённое событие@состояние, Tcs - тензор причинно-следственной связности, а $Flag/Reper$ - флаговая Реперная геометризация связности. Определение 2.3 (Репер). Репером называется локальная проективно-гармоническая структура

$$R_i = (R_i, I_i, U_i; D_i),$$

где R_i - реальное содержание, I_i - идея или направление, U_i - универсум возможностей, D_i - достаточное основание. В флаговой записи допускается

$R_i \in I_i \subset U_i$, но в истинностной записи компонент D_i обязателен.

Определение 2.4 (Гармоническая λ -истинность). Для Репера R_i определяется кросс-соотношение

$$\lambda_i = cr(U_i, I_i; R_i, D_i) = \frac{(U_i - R_i)(I_i - D_i)}{(U_i - D_i)(I_i - R_i)}.$$

Истинностный дефект: $\delta truth = |\lambda_i + 1|$. Авторизация: $Auth(R_i) = .1 + \delta truth$

KLТ-RPM/LIM v1.0 Точка отката №2

Аксиома 2.3 (Гармоническое замыкание).

$$Truth(R_i) \iff \lambda_i = -1.$$

При $\lambda_i \neq -1$ возможна относительная истинность, измеряемая величиной $\delta truth$. Определение 2.5 (Фундаментальные Пределы первой точки отката). Система фундаментальных Пределов задаётся как

$$L = \{LP, LE, LR, LT, LO\},$$

где LP - политический Предел, LE - экологический Предел, LR - пространственный Предел, LT - временной Предел, LO - онтологический Предел.

Аксиома 2.4 (Предельное начало движения). Всякий оператор Движения / Действия Δv имеет начало на линии одного из Пределов:

$$Start(\Delta v) \in \theta v, \quad v \in \{P, E, R, T, O\}.$$

Определение 2.6 (Барьер Предела). Для каждого Предела L_v задаётся расстояние dv и барьер $B_v = .dv + \varepsilon$ Поле предельного давления: $X_{GL} = \nabla B_v, \exists L = \exists + GL.v$

Определение 2.7 (Операторная тройка). Первая точка отката различает три оператора: \exists = Изменение, Δ = Движение / Действие, Y = Разворот. Δ полагает начало, \exists разворачивает изменение, Y переводит результат действия в состояние, доступное дальнейшему изменению. Определение 2.8

(Предельная причинность). Расширенная причинная связность задаётся схемой $Tcs_L = Tcs + T\Delta|L + T\exists|L + TY|L + SP@S$, где $SP@S$ обозначает кососимметрическую скрепку причина@следствие. Определение 2.9

(Индекс причинного разрыва). Для локального Репера R_i вводится $L P kThole k + kFcent \exists Y k + kFcorP@S k + v B_v CGI_i = .ri u_i + \varepsilon \exists Y$ Здесь ri - Реперный вес, u_i - связность, $Fcent$ - центробежная причинная на- $P@S$ грузка, $Fcor$ - кориолисово смещение причина@следствие. Аксиома 2.5 (Статусы причинности). $CGI_i < 1 \Rightarrow causal_stable, CGI_i \approx 1 \Rightarrow causal_critical, CGI_i > 1 \Rightarrow rebuild_required$ Компактно: $CausalBreak(R_i) \iff CGI_i \geq 1$.

KLТ-RPM/LIM v1.0 Точка отката №2

3 Переход к точке отката №2 3.1 Проблема, которую не закрывает первая точка Первая точка отката фиксирует Реперную причинность и допускает прогноз как проекцию через Пределы. Однако для программ KLT этого недостаточно: сложные задачи требуют не одного локального Репера, а связного множества Реперов, действующих на разных масштабах, горизонтах и языково-семантических слоях. Поэтому вводится вторая точка отката: предсказательная математика Реперных многообразий.

Определение 3.1 (Вторая точка отката). Второй точкой отката называется слой

$$RA2 = KLT-RPM/LIM v1.0 = RA1 + MPIX@PEAKS \lambda + LimIU R + RBDR + SR + RetroRebuild.$$

Постулат 3.1 (Непрерывность точек отката). RA2 не отменяет RA1. Если в RA2 нарушаются базовые условия Репера, Пределов или λ -замыкания, выполняется откат: $RA2 \rightarrow RA1$.

4 PIX@PEAKS-многообразии Реперов Определение 4.1 (PIX@PEAKS-многообразии). Многомерным комплексным проективно-пакетным Реперным PIX@PEAKS-многообразием называется структура $MPIX@PEAKS \lambda = (P, K, R, \Pi, Peak, cr, \lambda, L)$ где P - множество PIX-элементов, K - множество PEAKS-состояний, $R = \{R_i\}_{i \in I}$ - семейство Реперов, Π - пакетная проекция, Peak - оператор пиков согласованности, cr - кросс-соотношение, λ - истинностная координата, L

- система Пределов.

Определение 4.2 (Реперное сечение). Для Репера R_i и перспективы θ Реперным сечением называется

$$\Gamma\theta_i = Sec\theta(R_i) \subset MPIX@PEAKS \lambda$$

Сложная картина будущего есть семейство таких сечений.

Постулат 4.1 (Единственное уравнение Реперной картины). Для всякой достаточно устойчивой Реперной картины существует уравнение

$$E_i(\Gamma\theta_i, \lambda_i, L) = 0,$$

которое задаёт её проективно-пакетную согласованность.

KLT-RPM/LIM v1.0 Точка отката №2

5 Пределы как λ -многообразия Определение 5.1 (λ -многообразии Предела). Для каждого $v \in \{P, E, R, T, O\}$ Предел задаётся как подмногообразие допустимых Реперных значений: $n \circ PIX@PEAKS L[\alpha v, \beta v] = R_i \in M \lambda \lambda v(R_i) \in [\alpha v, \beta v], d v(R_i) \geq 0, B v(R_i) < \infty$.

Определение 5.2 (Политический Предел). LP = LIM POLITIC. Он ограничивает границы государств, войны, политические обрывы, крушение транспортных хабов, магистралей, энергетической, финансовой, валютной

и управленческой связности, а также разрушение политических центров принятия решений. Определение 5.3 (Экологический Предел). LE = LIM ECOLOGICAL. Он ограничивает ресурсную и биофизическую устойчивость: экологические катастрофы, истощение материальных ресурсов, уничтожение инфраструктур и городов как Реперных центров принятия решений. Определение 5.4 (Пространственный Предел). LR = LIM RAUM. Он выражает замкнутость земной ПЛД и ограниченность всякого земного события@состояния: $C@C\Phi \subseteq PLD\Phi$.

Определение 5.5 (Временной Предел). LT = LIM TIME. Для всякого прикладного Репера задаётся жизненный интервал

$$\text{life}(R_i) = [t_{-i}, t_{+i}].$$

Для всех рабочих Реперов, кроме специально выделенных предельных структур, выполняется $t_{+i} < +\infty$.

Определение 5.6 (Онтологический Предел). LO = LIM ONTHOLOGY. Он задаёт границу памяти, познания и существования. Область тьмы определяется как $n \in \text{PIX}@PEAKS \Omega_{\text{dark}} = X \in M \setminus X \mid \neq \text{Ont}(\text{NAPRLK})$.

Если $R_i \in \Omega_{\text{dark}}$, то сценарий не является маловероятным; он онтологически запрещён.

KLT-RPM/LIM v1.0 Точка отката №2

Теорема 5.1 (Запрет всемогущего Репера). Если для всякого прикладного Репера R_i выполнено $\text{life}(R_i) = [t_{-i}, t_{+i}]$ и $t_{+i} < +\infty$, то не существует прикладного Репера R_∞ , допустимого для всех времён:

$$\nexists R_\infty : \forall t (t \in \text{life}(R_\infty)).$$

Доказательство. Предположим противное: существует R_∞ , применимый для всех t . Тогда $\text{life}(R_\infty) = (-\infty, +\infty)$, что противоречит аксиоме LT о конечности жизненного интервала всякого прикладного Репера. Следовательно, такой Репер невозможен.

6 Производные операторные пределы Определение 6.1 (Операторные пределы Репера). Вторая точка отката вводит производные пределы операторной сборки:

$$\text{LimIU } R = \{\text{LimI}, \text{LimU}, \text{LimR}\}.$$

Они не совпадают с фундаментальными Пределами LP, LE, LR, LT, LO, а описывают внутренние режимы действия, изменения и разворота.

Определение 6.2 (Предел изменения).

$$\text{LimU} = \{y'', y, y'\}.$$

Здесь y'' - оператор прошлого на λ -оси истинности, y - оператор настоящего и вариационный принцип Хода Времени Курпишева, y' - оператор ещё не задействованных будущих значений. Каноническая ось:

$$y'' \dashrightarrow y \dashrightarrow y'.$$

Определение 6.3 (Предел разворота).

$$\text{LimR} = \{r, r'\}.$$

r - мгновенный инерциальный вклад Разворота, r' - замыкатель на операторе y , приводящий к завершению действия, разрушению Репера или его пересборке. Определение 6.4 (Предел действия).

$$\text{LimI} = \{i'', i, i'\}.$$

i'' - оператор родовых имён и смыслов прошлого, i - impact, действие с пустой точки несобственной проективной линии Предела, i' - оператор целеуказания будущего события или состояния. Каноническая ось:

$$i'' \dashrightarrow i \dashrightarrow i'.$$

Определение 6.5 (Программная запись операторов). Для программ KLT допускается словарь

$$\text{operI} := \Delta, \quad \text{operU} := \Xi, \quad \text{operR} := Y.$$

KLT-RPM/LIM v1.0 Точка отката №2

7 Три мира РПЛД Постулат 7.1 (Корреспонденция миров). В рабочем слое RA2 вводится корреспонденция RPLD \rightarrow мир Разворотов, RPLD1 \rightarrow мир Изменений, RPLD2 \rightarrow мир Имён и Действий. В компактной форме: RPLD \rightarrow RPLD1 \rightarrow RPLD2 = Y-world \rightarrow Ξ -world \rightarrow I/ Δ -world.

8 Реперная база данных Определение 8.1 (Реперная база данных). Реперная база данных есть множество записей RBDR = $\{\text{rec}(R_i)\}_{i \in I}$. Минимальная запись: $\text{rec}(R_i) = (R_i, I_i, U_i, D_i, \lambda_i, \delta i_{\text{truth}}, L_i, \text{LimIU } R, i, r_i, u_i, \text{CGI}_i, \text{life}_i, \text{status}_i)$. Определение 8.2 (Обязательные поля RBD). К обязательным полям относятся:

Поле Смысл `limit_anchor_line` линия Предела, откуда начинается Δ
`delta_origin_limit` тип Предела, породившего движение `xi_limit_pressure` давление предельного изменения `upsilon_reversal_pressure` давление Разворота
`causal_gap_index` численный индекс CGI ΞY `centrifugal_force_score` оценка F_{cent} P@S
`corio_p_s_score` оценка F_{cor} `r_weight` Реперный вес `u_connectivity` структурная связность `nearest_rebuild_repers` ближайшие Реперы для пересборки `scenario_class`
`stable, critical, rebuild` или `dark` `falsification_trigger` событие, запускающее проверку и пересборку

Аксиома 8.1 (Принципиальная неполнота RBD). Реперная база данных не может быть полной: $\text{possible } \forall t : \text{RBDR}(t) \subsetneq \text{RBDR}$. Неполнота вызвана

онтологическим Пределом, временной конечностью Реперов, пространственной замкнутостью, политико-экологическими разрывами, семантической размытостью, многоязычием и неполнотой источников.

KLT-RPM/LIM v1.0 Точка отката №2

9 Прогноз как область допустимых будущих Реперов Определение 9.1 (Предсказательный Репер). Предсказательным Репером называется временно размеченная структура

$$PRep_i(t) = (R_i, I_i, U_i, D_i; e_i, s_i, L_v, r_i, u_i, \lambda_i, CGI_i, life_i).$$

Определение 9.2 (Прогноз). Для текущего Репера $R_i(t)$ и горизонта $h > 0$ прогноз есть множество допустимых будущих Реперов: $n \text{ Forecast}(R_i, t, h) = R_j(t+h) \in \text{MPIX@PEAKS } \lambda \setminus \Omega_{\text{dark}} \text{ CGI}_j < 1, \delta_j \text{truth} \leq \eta, t+h \in \text{life}(R_j), R_j \neq$

Теорема 9.1 (Критерий допустимого будущего). Если $R_j(t+h) \in \text{MPIX@PEAKS } \lambda$ удовлетворяет условиям $R_j \in / \Omega_{\text{dark}}, \text{ CGI}_j < 1, \delta_j \text{truth} \leq \eta, t+h \in \text{life}(R_j), R_j \neq L$, то $R_j(t+h) \in \text{Forecast}(R_i, t, h)$. Если хотя бы одно из условий нарушено, $R_j(t+h)$ не является устойчивым прогнозным Репером. Доказательство. Утверждение следует непосредственно из определения Forecast как множества будущих Реперов, удовлетворяющих всем указанным условиям одновременно.

Замечание 9.1. KLT не утверждает единственное событие будущего. Он строит область допустимых, критических, разрывных и онтологически заперещённых Реперных ветвей.

10 Фальсифицируемость и пересборка Определение 10.1 (Несовпадение факта и прогноза). Пусть факт будущего Fact_{t+h} получен после горизонта h . Если

$$\text{Fact}_{t+h} \in / \text{Forecast}(R_i, t, h),$$

то запускается процедура поиска неизвестного Репера и локальной пересборки. Протокол 10.1 (Ретро-Реперная пересборка). При несовпадении факта и прогноза выполняется

$$\text{RetroRebuild}(N(R_i)) : R_i(t) \rightarrow R_{\text{rebuilt}}(t+h),$$

где $N(R_i)$ - ближайшая Реперная окрестность. Формально:

$$R_{\text{rebuilt}}(t+h) = \text{Rebuild}(R_i, \text{Fact}_{t+h}, L, \text{RBDR}, N(R_i)).$$

Аксиома 10.1 (Различение данных и Реперов прошлого). Факты прошлого не меняются, но Репер прошлого может быть пересобран:

$$\text{Datapast} = \text{const}, \quad \text{Rpast} = \text{reconstructable}.$$

KLT-RPM/LIM v1.0 Точка отката №2

Теорема 10.1 (Локальность пересборки). Если $\text{Factt+h} \in / \text{Forecast}(R_i, t, h)$, но нарушение локализовано в $N(R_i)$, то пересборке подлежит ближайшая Реперная окрестность, а не вся точка отката RA2 :

$$\text{RetroRebuild}(N(R_i)) \Rightarrow \text{Collapse}(RA2).$$

Доказательство. По определению RA2 содержит протокол локальной пересборки. Поэтому локальный сбой прогнозной ветви является штатным режимом развития RBD, а не разрушением аксиоматического слоя. Разрушение RA2 наступает только при нарушении Реперной истинности, системы Пределов или базовой обратимости.

11 Реперные ряды и кохомологические цепочки Определение 11.1 (Кохомологическая цепочка Реперов). Цепочкой Реперов на λ -оси истинности называется последовательность

$$(0) \quad (1) \quad (2) \\ R_i \rightarrow R_i \rightarrow R_i \rightarrow \dots \rightarrow D^\infty.$$

Условие кохомологичности: $(k+1) R_i \sim \lambda\text{-coh } R_i$.

Условие сходимости: $(k) \lambda(R_i) \rightarrow -1$.

Определение 11.2 (Простоподобный Реперный ряд).

$$PR = \{Rp1, Rp2, Rp3, \dots\}.$$

Каждый Rpk является атомарным Репером, не раскладываемым без потери Реперной функции.

Определение 11.3 (Фибоначчиев Реперный ряд).

$$R_{n+1} = R_n ? R_{n-1}.$$

Здесь ? - неассоциативная пакетная операция Реперной сборки.

Определение 11.4 (Дезаргово- λ -Реперный ряд).

$$\text{cr}(R_{n-1}, R_n; R_{n+1}, D^\infty) = -1.$$

Этот ряд является главным кандидатом для строгой предсказательной математики, поскольку прямо связывает Реперную эволюцию с гармоническим пределом $\lambda = -1$.

KLT-RPM/LIM v1.0 Точка отката №2

12 Протокол отката №2 Протокол 12.1 (Диагностика сбоя). При сбое проверяется слой:

1. Реперная аксиоматика;
2. система Пределов;
3. операторная динамика (Ξ, Δ, Y) ;

4. тензор причинности TcsL ;
5. индекс CGI;
6. RBD-запись;
7. прогнозная область Forecast;
8. механизм RetroRebuild.

Протокол 12.2 (Откат). 1. Если сбой локальный, исправляется только соответствующий Репер или окрестность N (Ri). 2. Если факт не совпал с прогнозом, запускается

Search(Runknown) + RetroRebuild(N (Ri)).

3. Если разрушена система λ -многообразий Пределов, выполняется откат RA2 – RA1 .
4. Если нарушена Реперная истинность, восстанавливается базовый критерий $cr(U, I; R, D) = -1$.
5. Если нарушена первая точка отката, проект возвращается к Reper v1.0 + Limit-Causal v1.0.

13 Интерфейс с программами KLT 13.1 Общая схема вычисления

Data – C@C – Ri – λ i – Li – CGIi – Forecast – RBDR – RetroRebuild.

13.2 Классы сценариев

Класс Условие Статус KLT Stable Future $\lambda = -1$, CGI < 1 допустимое будущее Critical Future CGI ≈ 1 пороговый сценарий Rebuild Future CGI > 1 требуется пересборка Dark Future R $\in \Omega$ dark онтологически запрещено

KLT-RPM/LIM v1.0 Точка отката №2

13.3 Минимальная JSON-логика RBD { "reper_id": "RBD-REP-0001", "R": "real_content_or_fact", "I": "idea_or_target_axis", "U": "universe_or_requirement_field", "D": "sufficient_basis_or_document", "lambda": -1.0, "truth_defect": 0.0, "auth": 1.0, "limits": ["L_P", "L_E", "L_R", "L_T", "L_O"], "limit_anchor_line": "L_T", "delta_origin_limit": "L_P", "xi_limit_pressure": 0.0, "upsilon_reversal_pressure": 0.0, "r_weight": 1.0, "u_connectivity": 1.0, "causal_gap_index": 0.0, "scenario_class": "stable", "life": {"from": "t0", "to": "t1"}, "nearest_rebuild_repers": [] }

14 Финальная фиксация Вторая точка отката фиксируется формулой

KLT-RPM/LIM v1.0 = [Reper v1.0 + Limit-Causal v1.0 + (E, Δ, Y) + TcsL + CGI] + [MPIX@PEAKS λ + LimIU R + RBDR + SR + RetroRebuild].

Итоговые положения:

KLT не предсказывает абсолютное будущее.

KLТ строит область допустимых будущих Реперов.

Будущее допустимо только внутри политических, экологических, пространственных, временных и онтологических Пределов.

Если факт не совпал с прогнозом, пересобирается ближайшая Реперная окрестность, а не вся теория.

Если разрушена Реперная истинность, выполняется откат к точке №1.

KLТ-RPM/LIM v1.0 Точка отката №2

Приложение А. Карта внутренних источников

Код Использованный узел PG пакетная точка (e, s), слой Ls, packet lift, аксиоматическая ветка Гильберта-Клейна NARG стратифицированное время, неассоциативная пакетная логика, операторы, кручение и кривизна V*P время как первичный слой, пространство как сечение Reper v1.0 иерархия C@C – R@C@C – Tcs – Flag/Reper, Репер как генератор истины и единица отката Limit-Causal фундаментальные Пределы, линии начала Δ, барьеры Bv, предельная причинность KLТ 5.x прикладная цепочка: документ – PIX – Reper – λ-разрыв – дефект, RBD и прогноз

Приложение В. Обозначения

Обозначение Смысл C@C событие@состояние R@C@C реально закреплённое событие@состояние Ri локальный Репер R, I, U, D реальность, идея, универсум, достаточное основание λ значение гармонического кросс-соотношения δ truth дефект истинности |λ + 1| L множество фундаментальных Пределов LP, LE, LR, LT, LO политический, экологический, пространственный, временной, онтологический Пределы E оператор Изменения Δ оператор Движения / Действия Y оператор Разворота TcsL тензор предельной причинно-следственной связи CGI индекс причинного разрыва MPIX@PEAKS λ PIX@PEAKS-многообразии Реперов RBDR Реперная база данных Forecast множество допустимых будущих Реперов RetroRebuild ретро-Реперная пересборка

Приложение С. От λ-истинности к реперно-проективной базе RPD

От λ-истинности к реперно-проективной базе RPD

Доклад о последовательности работы, развитии метода, сборке Репер-графов и плане прочёсывания архитектуры математики

Иван Борисович Курпишев
Independent Researcher, Kaliningrad
me@kurpishev.ru

Редакционная сборка: 2026-05-01
Точка сборки: RP-MATH-ARCH-015-RPD-HISTORY-ARTICLE

Аннотация

Настоящая статья-доклад фиксирует последовательность работы по формированию реперно-проективной базы RPD/RBD: от изобретения λ -истинности и идеи проективно-гармонического Reper-замыкания до построения математики как графа источников, формул, теорем, доказательств, пустых мест и кандидатов на теоремы. Текст предназначен не как окончательная научная публикация с доказательством новых теорем, а как отчёт о проделанной работе, план дальнейшего прочёсывания математики и редакционная карта источников, из которых набирались Reper-узлы.

1. Исходный поворот: λ -истинность

Работа началась с отказа от плоской модели истины. Вместо оценки отдельного предложения был введён режим проектной авторизации, где истинность возникает не как внешняя печать, а как гармоническое отношение между фактом, идеей, универсумом возможностей и достаточным основанием. В ранней формулировке это было выражено через крест-отношение $\lambda=(A,B;C,D)$, гармонический предел $\lambda=-1$ и дефект $\delta_{\text{truth}}=|\lambda+1|$. Отсюда возникла будущая RPD: если каждый математический, физический или логический объект имеет Reper-четвёрку, нужна база, способная хранить эти четвёрки, рёбра, разрывы, наложения и пересборки.

2. От события@состояния к Reper-узлу

Минимальным объектом анализа стала не точка и не отдельный факт, а событие@состояние. Рабочая форма узла была закреплена как $\text{Reper}_i=(R_i, I_i, U_i; D_i)$: R — установленное содержание, I — идея или инвариант, U — поле возможностей, D — достаточное основание. На этом уровне появилась первая дисциплина RPD: всякий источник должен пройти путь $\text{source} \rightarrow \text{work-node} \rightarrow \text{semantic unit} \rightarrow \text{Reper-node}$.

3. Master corpus и переход от доктрины к базе

Монография 5.0 стала первым крупным мастер-узлом, где были сведены NAPG, KPF/RPHD, Антропология 2, KLT 4.14, KLT 5.1 и RBD. База перестала

пониматься как список источников: она должна хранить work-node, Reper-node, рёбра, инварианты, основания, λ -оценки, CGI-индексы и статусы пересборки. Общий снимок RBD зафиксировал 1011 работ, 1327 Reper-узлов и 1380 рёбер.

4. KLT 5.1 как программный мост

KLT 5.1 показала, что Reper-логика может быть реализована как программа: PIX -> PEAKS -> Reper(U,I,R,D) -> lambda -> defect -> scheme -> report. Эта цепочка стала техническим аналогом математической цепочки source -> formula-node -> formula-chain -> Reper-node -> gap -> theorem-candidate.

5. Архитектура всей математики

В KLT-RBD-MATH-ARCH v0.1 математика была задана как граф MATH(A,O,M,I,T,P,C,G): аксиомы, объекты, морфизмы, инварианты, теоремы, доказательства, вычисления, gaps/breaks. Первый специализированный слой получил 206 Reper-узлов, 236 рёбер и 15 gap/break-узлов.

6. Уточнение оснований

v0.2 показал, что нельзя смешивать ZFC, HoTT, конструктивные системы, ETCS и proof assistants без bridge-Reper. Слой вырос до 258 Reper-узлов, 310 рёбер, 23 gap/break-узлов, 46 proof/dependency units и 8 axiom systems.

7. Число, алгебра и структура

v0.3 был задан как Algebra + Number Theory + Structures. Были выделены NUM, GRP, RING, FIELD, MOD, VEC, LIE, REP, HOM, GAL, ARITH-GEO. Главными gaps стали ассоциативное/неассоциативное, коммутативное/некоммутативное, поле/кольцо, дискретное/непрерывное, доказуемое/вычислимое.

8. Анализ, PDE и вариационные структуры

v0.9 перешёл к пределам, непрерывности, операторам, PDE, вариациям и функциональному языку. Итог: 28 доменов, 280 Reper-узлов, 324 рёбра, 28 наложений, 56 gaps, 56 breaks, 56 технических кластеров, 1792 индекса и 5 CGI-моделей.

9. Вероятность, статистика, информация и ML

v1.0 был запланирован как слой Probability + Statistics + Information + Data/ML + Stochastic Prediction. План первой сборки: 32 домена, 320 Reper-узлов, 384 рёбра, 32 наложения, 64 gaps, 64 breaks, 2048 индексов и 6 CGI-моделей.

10. Формульные цепочки и theorem-candidate

Формула была признана объектом первого класса. Добавлены formula-node, formula-chain, formula-step, proof-chain, contradiction-chain, missing-lemma, theorem-candidate и formula-supergraph-link. Если переход между формулами не имеет основания, он становится gap-node; если gap устойчив и повторяем, он становится theorem_candidate_node.

11. От метода к программе

RP-METHOD закрепил стадии source_capture, semantic_decomposition, formula_normalization, reperization, formula_chain_graph, verification, gap_extraction, theorem_candidate_discovery и supergraph_assembly. SCI-TEXT-ANALYZER превратил метод в прототип, который извлекает формулы, строит chains, находит gaps и создаёт theorem-candidates.

12. Честный аудит готовности

Readiness-аудит зафиксировал границу: RPD готова к картированию и пилотному поиску theorem-candidate, но не готова автоматически проанализировать всю математику и гарантированно открыть новые теоремы. Правило честности: gap != theorem_candidate != proved theorem != formal theorem.

13. PILOT-01

Первым пилотом выбран домен projective-harmonic geometry, cross-ratio, OB, Fano/Desargues, packet Reper structures. Стартовые кандидаты: TC-PH-01 Reper harmonic closure, TC-PH-02 Packet lift incidence preservation, TC-PH-03 OB projective classification bridge, TC-PH-04 Formula-chain gap theorem.

14. Заключение

Главное достижение не в том, что уже доказаны новые теоремы, а в том, что создана рабочая машина их поиска: дисциплинированная система источников, графов, оснований, переходов, разрывов и карточек

доказательной работы. RPD становится инструментом математической навигации: она показывает, где есть Reper-замыкание, где скрыт разрыв, где нужен мостовой функтор, где отсутствует лемма, а где может возникнуть новая теорема.

15. График наполнения базы реперов

Числа не смешиваются механически: общий RBD snapshot и специализированные слои MATH-ARCH относятся к разным уровням базы. Но вместе они показывают направление роста: от первых математических Reper-узлов к специализированным слоям и затем к общему снимку RBD.

Рис. 1. Рост наполнения RPD/RBD по ключевым точкам сборки.

16. План прочёсывания основных разделов математики

Слой Раздел Что прочёсываем Reper-узлы Главные gaps

M0 Основания логика, множества, аксиомы, языки, ZFC/NoTT/ETCS типы, категории, proof systems bridges модели, доказательства

M1 Число и алгебра числа, группы, операции, assoc/nonassoc, кольца, поля, симметрии, proof/computation модули, Галуа обратимость

M2 Геометрия и проективная, форма, Klein, топология аффинная, инцидентность, Desargues/Fano, ОВ дифференциальная, инварианты алгебраическая, топология

M3 Анализ и PDE пределы, интегралы, непрерывность, limit gaps, PDE операторы, слабые динамика, условия proof chains решения, вариации

M4 Дискретная графы, конечные структуры, decidability, graph математика комбинаторика, proof-as-program SuperGraph алгоритмы, сложность

M5 Вероятность/ML меры, распределения, неопределённость, p-value/truth, выборки, Байес, вывод, прогноз generalization entropy, datasets

M6 Прикладные мосты матфизика, проверка на units, model управление, реальность domain, empirical оптимизация, bridge инженерия

МЛ Управляющий слой λ , δ_truth , CGI, контроль связности $gap \neq gaps$, $theorem_candidate$ $theorem-candidates \neq theorem$

17. Pipeline формирования RPD

Рис. 2. Общая цепочка формирования Rепер-базы и SuperGraph.

18. Карта источников

Источник Роль

monograph5_0_ru.pdf/html master corpus, core formulas, RBD snapshot

monograph2.41_ru.tex / legacy layer: packet point, monograph241_trilingual_final.zip stratified time, projective truth

KPF/RPHD docx Reper v1.0, Limit-Causal v1.0, operators, CGI

АРХИТЕКТУРА МАТЕМАТИКИ.docx MATH-ARCH v0.1/v0.2/v0.3, algorithm

KLT5_1 docs program graph, PIX/PEAKS, lambda-defect

RP-METHOD / SCI-TEXT-ANALYZER packs formula chains, analyzer prototype

Readiness audit / PILOT-01 packs readiness, pilot domain, theorem candidates

Приложение D. Архитектура всей математики как Реперно-аксиоматический граф

Фиксирую новый научно-технический узел проекта:

```
[
\boxed{
KLT\text{-}RBD\text{-}MATH\text{-}ARCH\ v0.1
}
]
```

Рабочее название:

«Архитектура всей математики как Реперно-аксиоматический граф»

Основание берём из уже закреплённого ядра проекта: минимальный объект — не изолированная точка, а событие@состояние; любой объект

KLT/RBD затем получает Reper-замыкание; Reper записывается как $(\operatorname{Rep}i=(R_i, I_i, U_i; D_i))$, а истинностная проверка идёт через $(cr(U, I; R, D)=-1)$ и $(\delta\{\text{truth}\}=\lambda+1)$. Также сохраняем точку отката Reper v1.0 + Limit-Causal v1.0: если новая архитектура начинает ломать связность, мы не возвращаемся к пустому началу, а пересобираем ближайшие Реперы.

1. Главная идея

Вся математика должна быть представлена не как список дисциплин, а как **единый многослойный граф**:

$\boxed{\operatorname{MATH}}$

$(\operatorname{A}, \operatorname{O}, \operatorname{M}, \operatorname{I}, \operatorname{T}, \operatorname{P}, \operatorname{C}, \operatorname{G})$
 $\}$
 $\]$

где:

A
 $\]$

— аксиомы и основания;

O
 $\]$

— математические объекты;

M
 $\]$

— морфизмы, отображения, функторы, преобразования;

I
 $\]$

— инварианты;

T
 $\]$

— теоремы;

P

] — доказательства;

[
\mathcal C
]

— вычислительные процедуры и алгоритмы;

[
\mathcal G
]

— разрывы, пустые места, незакрытые переходы, противоречия и зоны будущей пересборки.

Тогда каждая область математики получает не простую рубрику, а Репер:

[\boxed{ \operatorname{Rep}}_{\math}(X)

(R_X, I_X, U_X; D_X)
}
]

где:

[
R_X
]

— фактически установленное содержание: теоремы, модели, доказательства, канонические источники;

[
I_X
]

— идея области: инвариант, универсальное свойство, операция, структура, принцип;

[
U_X
]

— поле возможных обобщений, расширений, приложений;

[
D_X
]

— достаточное основание: аксиомы, формальная система, исходный язык, доказательная база.

2. Архитектура всей математики: первый каркас

Фиксируем семь главных этажей.

Уровень Раздел Что он удерживает Реперный смысл

M0 Основания логика, теория множеств, слой (D): теория типов, теория достаточное категорий, теория основание моделей, теория доказательств

M1 Число и алгебра арифметика, теория чисел, слой операций и группы, кольца, поля, симметрий модули, алгебры, представления

M2 Геометрия и евклидова, аффинная, слой формы, топология проективная, пространства и дифференциальная, инвариантов алгебраическая, симплектическая, топологическая геометрия

M3 Анализ вещественный, слой пределов, комплексный, непрерывности и функциональный, динамики гармонический анализ, меры, PDE, вариационные методы

M4 Дискретная комбинаторика, графы, слой конечных математика и алгоритмы, сложность, структур и вычисления формальная верификация машинной доказательности

M5 Вероятность, вероятность, стохастика, слой переходов, статистика, динамика эргодика, статистика, распределений и динамические системы прогнозов

M6 Прикладные и матфизика, оптимизация, слой применения и междисциплинарные управление, информация, проверки на мосты финансы, инженерная реальность математика

Над ними вводим управляющий слой:

```
[  
\boxed{  
M_\Lambda  
}]
```

— слой λ -истинности, Реперной связности, CGI-разрывов и RBD-пересборки.

В уже собранной монографии 5.0 это соответствует правилу: в математике объект анализа должен читаться через источник, теорему, доказательство, модель и инвариант; λ вычисляет согласованность, CGI диагностирует разрыв, а RBD предлагает ближайшие узлы пересборки.

3. Главный алгоритм обработки больших математических баз

Алгоритм KLT-MATH-ARCH

Вход:

```
[  
\mathcal{D}  
]
```

— корпус научных и технических данных: статьи, монографии, базы теорем, TeX-файлы, PDF, учебники, справочники, формальные библиотеки, графы цитирования.

Выход:

```
[  
\mathfrak{MATH}_{\{RBD\}}  
]
```

— Реперная архитектура математики с картой наложений, разрывов и пустых мест.

Шаг 1. Захват источников

Каждый источник превращается в work-node:

```
[  
W_j=(title,author,year,domain,source,type,license)  
]
```

Потом источник дробится на смысловые узлы:

```
[  
u_k \in W_j  
]
```

Типы узлов:

```
[  
\text{axiom},\  
\text{definition},\  
\text{lemma},\  
\text{theorem},\  
\text{proof},\  
\text{example},\  
\text{counterexample},\  
\text{algorithm},\  
\text{model},\  
\text{invariant}.  
]
```

Это согласуется с уже заданным смыслом RBD: база не должна быть простой библиографией; работа превращается в work-node, затем в Repet-node и включается в граф отношений.

Шаг 2. Извлечение аксиоматического основания

Для каждого узла (u_k) извлекаем:

```
[  
D( $u_k$ )=  
{\text{аксиомы},\text{логика},\text{язык},\text{тип доказательства},  
\text{допущения}}.  
]
```

Например:

ZFC

ZF

NBG

ETCS

HoTT

Martin-Löf Type Theory

Classical first-order logic

Intuitionistic logic

Constructive analysis

Category-theoretic foundation

Здесь первая большая задача — не смешивать разные основания. Теорема, доказанная в ZFC, теорема в конструктивной математике и формальный объект в HoTT не должны попадать в один слой без специального мостового Репера.

Шаг 3. Реперизация математического объекта

Для каждого узла строим:

```
[ \operatorname{Rep}(u_k)
```

```
( $R_k, I_k, U_k; D_k$ ).
```

```
]
```

Пример для теоремы:

[
R_k
]

— доказанная формулировка;

[
I_k
]

— идея доказательства или центральный инвариант;

[
U_k
]

— обобщения, аналоги, применения;

[
D_k
]

— аксиоматическая база, определения, леммы, источник.

Для области математики:

[
R
]

— установленный корпус теорем;

[
I
]

— главная структурная идея;

[
U
]

— поле расширений;

[
D
]

— основания и аксиомы.

Шаг 4. Построение графа связей

Вводим типы рёбер:

defines

assumes

proves

uses
generalizes
specializes
equivalent_to
contradicts
depends_on
is_model_of
is_invariant_of
reduces_to
extends
obstructs
overlaps_with
gap_between

Особенно важны три ребра:

[
overlaps_with
]

— наложение областей;

[
obstructs
]

— препятствие или несовместимость;

[
gap_between
]

— пустое место, где нет доказанного перехода.

4. Как показывать наложения математики

Наложение возникает, когда два раздела имеют общий объект, общий инвариант, общий метод или общий язык.

[
Overlap(A,B)
\Longleftarrow

$\exists x:$
 $x \in I_A \cap I_B$
 $\quad \text{\text{или}} \quad$
 $x \in D_A \cap D_B$
 $\quad \text{\text{или}} \quad$
 $x \in R_A \cap R_B.$
]

Главные наложения первого слоя:

Наложение Что соединяется Реперный мост

Алгебра \rightarrow Геометрия группы, кольца, схемы, инварианты и симметрии
многообразия

Геометрия \rightarrow многообразия, расслоения, форма без метрики Топология
гомологии

Анализ \rightarrow Геометрия PDE, вариации, кривизна, оператор и гладкая спектр
структура

Анализ \rightarrow Вероятность мера, интеграл, распределение как стохастические
процессы динамика меры

Логика \rightarrow Информатика доказательства, типы, proof-as-program вычислимость

Теория чисел \rightarrow арифметическая геометрия, число как Геометрия
модулярность геометрический объект

Категории \rightarrow Все функторы, универсальный язык межразделовой области
свойства переноса

**Физика \leftrightarrow Геометрия \leftrightarrow симметрии, поля, уравнения математическая
физика Анализ**

Ключевую линию уже можно зафиксировать так:

[
 $\boxed{\text{Клейн: геометрия = инварианты группы}}$
]

[
 $\boxed{\text{KLT: область математики = Репер инвариантов, аксиом и доказательств}}$
]

}
]

В монографии 5.0 уже закреплена формула мостового слоя:

```
[
Klein(M,G)=Inv_G(M),
\quad
Witten(QFT,Dual)=Inv_{Dual}(QFT),
\quad
KLT:cr(U_K,I_W;R_{inv},D)\to -1.
]
```

5. Как фиксировать разрывы

Разрыв возникает, когда переход между областями невозможен без потери основания, доказательства или языка.

```
[
Break(A,B)
\Longleftrightarrow
D_A \not\sim D_B
\quad \text{или} \quad
\neg \exists F:A\to B
\quad \text{или} \quad
CGI(A,B)\ge 1.
]
```

Основные разрывы:

Разрыв Между чем Смысл

Классическое \leftrightarrow ZFC/классическая логика и не всякое конструктивное конструктивные системы существование даёт построение

Дискретное \leftrightarrow графы, конечные структуры и не всегда есть непрерывное анализ/геометрия предельный переход

Локальное \leftrightarrow локальная лемма и глобальная нужны когомологии, глобальное классификация препятствия, склейки

Линейное \leftrightarrow линейные пространства и ломается нелинейное нелинейные многообразия суперпозиция

Коммутативное \leftrightarrow классическая алгебра и меняется порядок некоммутативное операторные/квантовые операций структуры

Ассоциативное \rightarrow обычные алгебры и появляется неассоциативное октонионные/G2-режимы ассоциатор

Доказуемое \rightarrow теорема существования и нужен конструктивный вычислимое алгоритм построения слой

Формальное \leftrightarrow доказательство и инженерная требуется слой прикладное модель интерпретации

Здесь прямо включается уже зафиксированная идея квадратичного препятствия (OB): при (OB=0) имеем линейный/гильбертов режим, а нетривиальность (OB) показывает выход в проективные или стратифицированно-нелинейные структуры.

6. Как фиксировать пустые места

Пустое место — это не просто «мы не знаем». Это формализуемый дефект архитектуры.

[Gap(X)

```
{missing\ D,\ missing\ proof,\ missing\ functor,\ missing\ model,\ missing\ invariant,\ missing\ computation}.  
]
```

Типы пустых мест:

Код Пустое место Что требуется

GAP-AX нет аксиоматического основания указать (D)

GAP-DEF нет точного определения ввести definition-node

GAP-PRF нет доказательства построить proof-node

GAP-MOD нет модели построить model-node

GAP-FUN нет функтора/перевода построить мост между теориями

GAP-INV нет инварианта найти сохраняемую величину

GAP-COMP нет алгоритма построить вычислимую процедуру

GAP-RED нет редукции к известному найти controlled reduction случаю

GAP-OBS есть препятствие описать (OB), когомологию или CGI

GAP-RBD нет Репера в базе создать новый Reper-node

Для KLT это особенно важно: пустое место должно превращаться в **задание на пополнение RBD**, а не оставаться текстовой пометкой.

7. Индекс разрыва для математики

Вводим математический CGI:

[\boxed{ CGI_{\math}(X,Y)

```
\frac{
H_{axiom}+H_{proof}+H_{model}+H_{invariant}+H_{translation}+H_{computation}
}{
r_Xu_X+r_Yu_Y+\varepsilon
}
]
```

где:

[
H_{axiom}
]

— несовместимость оснований;

[
H_{proof}
]

— разрыв доказательной цепи;

[
H_{model}
]

— отсутствие модели;

[
H_{invariant}
]

— потеря инварианта;

[
H_{translation}
]

— отсутствие перевода между языками;

[
H_{computation}

] — отсутствие вычислимой процедуры;

[
r_X,u_X
]

— вес и связность Репера.

Статусы:

CGI_math < 1 связность удержана

CGI_math ≈ 1 критический математический мост

CGI_math > 1 разрыв, нужна пересборка

Это прямо продолжает общий CGI-принцип: при (CGI<1) Репер удерживает причинность/связность, при (CGI≈1) система критична, при (CGI>1) требуется пересборка или поиск ближайших Репер-узлов.

8. Техническая база данных для Архитектуры математики

В RBD v2.2 надо добавить специализированный слой:

```
[  
\boxed{  
RBD_MATH_ARCH  
}  
]
```

Минимальные таблицы:

math_sources

math_works

math_units

math_axiom_systems

math_objects

math_definitions

math_theorems

math_proofs

math_models

math_invariants

math_algorithms

math_repers

math_edges

math_overlaps

math_breaks

math_gaps

math_lambda_scores

math CGI_scores

Ключевой технический индекс:

MTH-FND-ZFC-AX-000001

MTH-FND-HOTT-TYPE-000001

MTH-ALG-GRP-DEF-000001

MTH-GEO-PRJ-INV-000001

MTH-ANA-PDE-THM-000001

MTH-TOP-HOM-OBJ-000001

MTH-CAT-FUN-MOR-000001

MTH-NUM-MOD-REP-000001

MTH-PHY-DIFFGEO-BRIDGE-000001

Формат шифра:

```
[  
  \boxed{  
MTH\text{-}DOMAIN\text{-}SUBDOMAIN\text{-}TYPE\text{-}NUMBER  
  }  
]
```

Типы:

AX axiom

DEF definition

OBJ object

THM theorem

PRF proof

MOD model

INV invariant

ALG algorithm

BRG bridge

GAP gap

OBS obstruction

REP Reper

Текущая техническая линия RBD v2.2 уже предусматривает SQL-схему, JSON Schema, OpenAPI, технические кластеры, доменную карту, пределы, операторы, статусы, edge-types, file adapters, technical indices, Flutter-ядро и web-loader; это можно расширить именно математическим слоем.

9. Первый рабочий алгоритм в псевдокоде

Input:

corpus C

base architecture AO

reper database RBD

For each document d in C:

parse d

extract metadata

split d into math units $u_1 \dots u_n$

For each unit u:

classify unit_type:

axiom / definition / theorem / proof / model / invariant / algorithm / example

extract:

symbols

formulas

assumptions

references

dependencies

proof steps

objects

morphisms

invariants

build Reper:

R = established content

I = central idea / invariant / construction

U = possible generalizations and applications

D = axiomatic and evidential basis

compute:

$\lambda = cr(U,I;R,D)$

$\delta_{truth} = |\lambda + 1|$

r_weight

u_connectivity

insert into RBD_MATH_ARCH

For each pair of units or branches (X,Y):

detect overlaps

detect contradictions

detect missing bridges

compute CGI_math(X,Y)

If CGI_math ≥ 1 :

create gap-node or break-node

search nearest Repers

propose rebuild path

Output:

global math architecture graph

overlap map

break map

gap map

Reper reconstruction plan

10. Итоговая формула архитектуры математики

[$\boxed{\mathfrak{MATH}}_{KLT}$]

```
RBD
\left[
\operatorname{Rep}
\left(
\mathcal{A},
\mathcal{O},
\mathcal{M},
\mathcal{I},
\mathcal{T},
\mathcal{P}
\right)
\right]
+
\Lambda
+
\text{CGI}_{\text{math}}
+
\text{GapMap}
\}
]
```

В развёрнутом виде:

[$\boxed{\mathfrak{MATH}}_{KLT}$]

```
\left\{
\operatorname{Rep}_{i=(R_i,I_i,U_i;D_i)}
\right\}_{i \in I}
+
\left\{
\text{edges}_{ij}
\right\}
+
\left\{
\text{overlaps,breaks,gaps}
\right\}
\}
]
```

где:

```
[
Truth(\operatorname{Rep}_i)
\Longleftarrow
cr(U_i,I_i;R_i,D_i)\to -1.
]
```

11. Рабочая точка v0.1

Фиксируем:

`[\boxed{ KLT\text{-}RBD\text{-}MATH\text{-}ARCH\ v0.1`

```
\text{Аксиомы}
+
\text{Объекты}
+
\text{Инварианты}
+
\text{Доказательства}
+
\text{Реперы}
+
\text{CGI-разрывы}
}
]
```

Следующий практический шаг — собрать **первую таблицу Architecture of Mathematics v0.1**: примерно 150–250 базовых Реперов математики, начиная с оснований, логики, теории множеств, категорий, алгебры, геометрии, анализа, топологии и вычислений. Затем уже строить первую визуальную карту: где математика сшита, где перекрывается, где разорвана, где есть пустые места для новых Реперов.

Собрал первый рабочий пакет:

```
[
\boxed{KLT\text{-}RBD\text{-}MATH\text{-}ARCH\ v0.1}
]
```

Это стартовая **Архитектура всей математики** как Реперно-аксиоматический граф: основания, логика, множества, типы, категории, алгебра, теория чисел, геометрия, топология, анализ, вероятность, дискретная математика, матфизика и прикладные мосты.

Опора сохранена по проектному ядру: объект фиксируется как событие@состояние, затем получает Reper-замыкание; используются формулы $Rep_i=(R_i,I_i,U_i;D_i)$, $cr(U,I;R,D)=-1$, $\delta_{truth}=|\lambda+1|$, CGI; RBD хранит work-узлы, Reper-узлы и рёбра графа.

Внутри пакета:

Репер-узлов: 206

рёбер графа: 236

gap / break-узлов: 15

математических доменов: 14

Файлы:

[Скачать полный ZIP-пакет KLT-RBD-MATH-ARCH v0.1](#)

[Excel-книга с таблицами](#)

[SQLite-база](#)

[Основные Реперы CSV](#)

[Рёбра графа CSV](#)

[Разрывы и пустые места CSV](#)

Следующий слой — **v0.2**: углубляем первые домены FND / LOG / SET / TYPE / CAT, добавляем proof_node, dependency_node, формальные библиотеки и карту overlaps / breaks / gaps.

Продолжил и собрал следующий слой:

```
[  
\boxed{KLT\text{-}RBD\text{-}MATH\text{-}ARCH\ v0.2}  
]
```

Слой v0.2 углубляет первые базовые домены архитектуры математики: FND / LOG / SET / TYPE / CAT. Это именно тот следующий шаг, который был зафиксирован после v0.1: добавить proof_node, dependency_node, формальные основания и карту overlaps / breaks / gaps. Основание сохранено: математика собирается как Реперно-аксиоматический граф, где объект фиксируется через $Rep_i=(R_i,I_i,U_i;D_i)$, λ -истинность и CGI-разрывы.

Внутри v0.2:

всего Реперов: 258

новых Реперов: 52

всего рёбер графа: 310

новых рёбер: 74

gap / break-узлов: 23

новых gap / break-узлов: 8

proof/dependency units: 46

axiom systems: 8

overlap rows: 5

Добавлены глубокие узлы по ZFC, ZF, NBG, ETCS, HoTT, Reverse Mathematics, FOL, интуиционистской логике, forcing, большим кардиналам, MLTT, унивалентности, Curry–Howard, proof assistants, категориям, функторам, Йонедэ, топосам, пучкам и высшим категориям. Это продолжает линию монографии 5.0, где RBD понимается не как библиография, а как вычисляемая карта инвариантов, оснований и пересборок.

Файлы:

[Скачать полный ZIP-пакет KLT-RBD-MATH-ARCH v0.2](#)

[Excel-книга v0.2](#)

[SQLite-база v0.2](#)

[Основные Реперы CSV](#)

[Рёбра графа CSV](#)

[Proof/dependency nodes CSV](#)

[Системы аксиом CSV](#)

[Карта наложений CSV](#)

[Разрывы и пустые места CSV](#)

[SVG-схема v0.2](#)

[Отчёт сборки](#)

Следующий слой зафиксирован как:

```
[  
\boxed{v0.3:\ Algebra + Number\ Theory + Structures}  
]
```

То есть переходим к группам, кольцам, полям, модулям, представлениям, теориям чисел и первым мостам к арифметической геометрии.

Приложение Е. KPF/RPHD: проективно-гармонические Реперные основания причинности и детерминизма

ПРОЕКТИВНО-ГАРМОНИЧЕСКИЕ РЕПЕРНЫЕ ОСНОВАНИЯ ПРИЧИННОСТИ И ДЕТЕРМИНИЗМА

Аксиоматика Репера, Пределов, операторов Изменения, Движения и Разворота

Внутренняя статья-фиксация контрольной точки проекта

Авторские понятия и обозначения: Иван Борисович Курпишев
Редакционная сборка уровня математической физики: 2026

+-----+ | **Редакционный статус** | | |
Документ не предназначен для публикации. Его задача — зафиксировать	
достигнутый уровень математико-физического понимания причинности,	
детерминизма, Реперов, Пределов и операторов. Статья предназначена	
для дальнейшего включения в ветки «Физика Курпишева» и NARG 3.0 как	
опорный уровень синхронизации.	
+=====+
==+ +-----+

Аннотация

В статье фиксируется внутренняя контрольная точка проекта: причинность и детерминизм рассматриваются не как плоская логическая цепочка «причина – следствие», а как проективно-гармоническая реперная структура. Базовый объект задаётся как событие@состояние, Репер — как минимально обратимая геометрическая форма связности, а истина — как гармоническое замыкание Репера. Вводится аксиоматика Реперов, Пределов, операторов Изменения Ξ , Движения Δ и Разворота Υ , а также тензорная схема причинности с кручением, кривизной, центробежными и кориолисовыми механизмами причинного разрыва.

Документ вводит удобный для дальнейших веток язык: KPF/RPHD v1.0 — Kurpishev Projective-Harmonic Reper Determinism. Он не заменяет строгие ядра NARG 2.0 и V*P-physics, а поднимает их до уровня согласованной статьи-основания для NARG 3.0 и физической ветки Курпишева.

Содержание

- 0. Точка отката и редакционный статус
- 1. Исходная онтология: пакетная точка, стратифицированное время и V*P

- 2. Аксиоматика Репера
- 3. Аксиоматика Пределов
- 4. Операторы Ξ , Δ , Υ и пакет времени
- 5. Причинность, детерминизм и тензор T_{cs}
- 6. Предельная причинность, центробежные и кориолисовы силы
- 7. Устойчивость i -Реперов и индекс CGI
- 8. Прогноз, RVD и режим пересборки
- 9. Встраивание в Физику Курпишева и NARG 3.0
- Приложения: обозначения, протокол отката, карта терминов

0. Точка отката и редакционный статус

Rollback Anchor: Reper v1.0 + Limit-Causal v1.0 → KPF/RPHD v1.0

На данном этапе фиксируется не очередная гипотеза, а уровень сборки. Дальнейшие ветки могут развиваться, усиливаться, получать вариационную форму, полевую динамику, вероятностные и вычислительные реализации. Но если при развитии возникает противоречие между геометрией, физикой, причинностью или вычислительной схемой, откат выполняется не к пустому началу, а к текущей Реперной контрольной точке.

Элемент фиксации Что считается Что допускается замороженным развивать

Reper v1.0 Иерархия $C@C$ – $R@C@C$ – Супер-флаги, T_{cs} – флаг/Репер; трансреперы, Репер как минимально вариационные поля обратимая структура. Реперов.

Limit-Causal v1.0 Движение начинается от Поле Пределов, метрика линии Предела; расстояния до LIM, причинность разрывается динамика барьеров. операторами Δ , Ξ , Υ и предельными давлениями.

П/PEAKS Событие и состояние не Программные разрываются; PIX/PEAKS анализаторы, финансовые задаёт локальную сборку и проектные KLT-модули. реальности.

T_{cs} Причинность задаётся Согласование с тензорно: V^*P -связностью и кососимметричная часть возможными физическими как

дырявость/кручение, уравнениями. симметричная как детерминированная кривизна.

CGI Индекс причинного Калибровка весов, разрыва связывает численные пороги и дырявость, прикладные статусы. центробежность, кориолисово смещение, пределы и устойчивость Репера.

+-----+ | **Правило отката** | | | Если ломается вариационная форма, не строится Σ_g , не получается | | tensorial closure, возникает конфликт между физикой и геометрией или | | алгоритм начинает давать бессмысленные λ -замыкания, теория | | возвращается к Reper v1.0 и Limit-Causal v1.0. Откат означает | | пересборку от Репера, а не отказ от проекта. |
+=====+
==+ +-----+

0.1. Границы утверждений

Настоящая статья имеет статус внутренней аксиоматико-физической фиксации. В ней допустимы определения, аксиомы, рабочие постулаты и программные предложения. Утверждения, требующие отдельного доказательства или экспериментальной интерпретации, помечаются как гипотезы, а не как завершённые теоремы физики.

- не утверждается готовая окончательная полевая теория;
- не отождествляются напрямую Реперные величины с уже известными физическими полями без отдельного редуционного слоя;
- не объявляется, что классические теории отменены; они читаются как частные сечения и вырожденные режимы;
- не смешиваются строгий математический слой, редакционный слой и прикладной KLT-слой.

1. Исходная онтология: пакетная точка, стратифицированное время и V^*P

1.1. Пакетная точка

Минимальным объектом не является голая точка. Минимальным объектом является пакетная точка:

$a = (e, s)$, где e — событие, s — состояние.

Это фиксирует главный сдвиг: событие не существует в чистом виде, а всегда дано в некотором состоянии. Состояние не является пассивным фоном, а задаёт слой, в котором событие получает геометрический смысл.

$$L_s = \{ (e, s) \in P \}$$

Пакетная прямая L_s возникает при фиксированном состоянии s . Поэтому геометрия здесь не строится через пару точек, а через состояние как слой. Этот принцип затем переносится в причинность: причина, следствие, действие и изменение не должны читаться вне слоя состояния.

1.2. Стратифицированное время

$$T^{(-1)} \supset T^{(0)} \supset T^{(1)} \supset T^{(2)} \supset T^{(3)}$$

Страта Интерпретация Роль в статье

$T^{(3)}$ пространственные наблюдаемая состояния / полость
пространственная реализация

$T^{(2)}$ поверхность режим границ, интерфейсов и слоёв

$T^{(1)}$ линия носитель направления, хода и предельных линий

$T^{(0)}$ точка локальная фиксация события

$T^{(-1)}$ гипарксис переходный слой, несобственная опора и предел связности

Гипарксис $T^{(-1)}$ не является обычной нульмерной точкой. Он выступает переходным слоем, через который предельные, несобственные и проективно-логические формы получают возможность быть представленными в наблюдаемой геометрии.

1.3. V^*P как физический экспортный слой

V^*P = Время*Пространство

В физической ветке пространство не принимается как первичная самостоятельная арена. Оно читается как слой, сечение или реализованный режим над темпорально-первичной и пакетно-контролируемой структурой. Поэтому настоящая статья должна служить мостом между NARG-геометрией, Реперной логикой и будущей физикой Курпишева.

- Время первично как стратифицированная опора.
- Пространство возникает как слой или сечение над этой опорой.

- Классическое пространство-время допустимо как редукция, но не как исходная онтология.
- Причинность должна иметь не только логическую, но и геометрическую связность.

2. Аксиоматика Репера

2.1. Иерархия Репера

$C@C \rightarrow R@C@C \rightarrow T_{cs} \rightarrow \text{Flag/Reper}$

Уровень Обозначение Смысл

S0 $C@C$ элементарное событие@состояние; атом реальности

S1 $R@C@C$ событие@состояние, закреплённое в реальном слое R

S2 T_{cs} тензор причинно-следственной связности; слой причинности и детерминизма

S3 $\text{Rep} = (R, I, U)$ флаговая Реперная геометризация связности

S4 super-flag / transreper гипотетический уровень переходов между Реперами

2.2. Определение Репера

Репером называется локальная проективно-гармоническая структура, удерживающая связность события, состояния, основания, идеи и поля возможностей. В рабочей форме:

$\text{Rep}_i = (R_i, I_i, U_i; D_i)$

Компонент Рабочая Функция интерпретация

R реальное содержание / что действительно дано факт / реализованная опора

I идея, направление, как это организуется внутренняя ось сборки

U универсум возможностей что допускает слой / поле значений

D достаточное основание / чем замыкается контекст истинность

В сокращённой флаговой записи Репер может быть представлен как (R, I, U) с условием вложенности $R \in I \subset U$. В проективной истинностной записи обязательно возвращается D как достаточное основание гармонического замыкания.

2.3. Аксиомы Репера

R1. Аксиома пакетной минимальности

Всякая локальная реальность задаётся не точкой, а событием@состоянием $C@C$.

R2. Аксиома реализации

Чтобы $C@C$ стало реальным, оно должно быть закреплено в R-слое: $C@C \rightarrow R@C@C$.

R3. Аксиома тензоризации

Причинность возникает не на уровне голого события, а на уровне связности T_{cs} .

R4. Аксиома флаговой сборки

Репер есть флаговая геометризация связности: $R \in I \subset U$.

R5. Аксиома достаточного основания

Истинность Репера требует контекста D, замыкающего проективную четвёрку.

R6. Аксиома обратимости

Репер является минимально обратимой структурой теории; откат выполняется к Реперу.

R7. Аксиома устойчивости

Репер сохраняется только при достаточном γ -весе и u -связности.

2.4. Истина как гармоническое замыкание Репера

В данной редакции истина не считается внешней печатью соответствия, добавляемой после факта. Истина генерируется Репером, если его компоненты образуют гармоническую проективную четвёрку.

$\text{Truth}(\text{Rep}) \Leftrightarrow \text{cr}(U, I; R, D) = -1$

$\lambda = ((U - R)(I - D)) / ((U - D)(I - R)), \delta_{\text{truth}} = |\lambda + 1|$

При $\lambda = -1$ фиксируется всеобщая гармоническая истинность. При $\lambda \neq -1$ возможна относительная истинность: чем меньше δ_truth , тем сильнее Репер авторизован. Это правило позднее может быть использовано в KLT-анализаторах, но в данной статье оно прежде всего выполняет онтологическую функцию.

3. Аксиоматика Пределов

3.1. Множество фундаментальных Пределов

$$\mathcal{L} = \{ L_P, L_E, L_R, L_T, L_O \}$$

Предел Обозначение Что ограничивает

Политический L_P / LIM POLITIC решения, власть, допустимость действия

Экологический L_E / LIM ECOLOGICAL ресурсы, среда, биофизические ограничения

Пространственный L_R / LIM RAUM маршруты, размещение, территорию, инфраструктуру

Временной L_T / LIM TIME сроки, устаревание, необратимость, историчность

Онтологический L_O / LIM ONTHOLOGY сценарии, невозможные по устройству слоя

3.2. Линия Предела как начало Движения

Ключевое уточнение: оператор Движения не начинается из произвольной пустоты. Пустая точка, из которой запускается движение, всегда прикреплена к одной из линий Предела.

$$\text{Start}(\Delta_\nu) \in \ell_\nu^\theta, \nu \in \{P, E, R, T, O\}$$

Это утверждение переводит причинность из абстрактной формы в предельную: событие начинается не просто «где-то», а на линии политического, экологического, пространственного, временного или онтологического предела.

3.3. Событие@состояние@Предел

$$C@C_\nu = (e, s; L_\nu)$$

Пример Реперная запись Предел

война событие@состояние@LIM политический POLITIC

засуха событие@состояние@LIM экологический ECOLOGICAL

закрытие маршрута событие@состояние@LIM пространственный и RAUM / LIM POLITIC политический

устаревание Репера событие@состояние@LIM временной TIME

невозможный сценарий событие@состояние@LIM онтологический ONTHOLOGY

3.4. Барьер Предела

$$B_{\nu} = 1 / (d_{\nu} + \varepsilon), G_{\mathcal{L}} = \Sigma_{\nu} \nabla B_{\nu}$$

Когда расстояние до предела d_{ν} стремится к нулю, барьер B_{ν} возрастает. Поэтому Предел не только запрещает или ограничивает, но и вводит фундаментальное Изменение в систему.

$$\Xi_{\mathcal{L}} = \Xi + G_{\mathcal{L}}$$

4. Операторы Ξ , Δ , Υ и пакет времени

4.1. Различение Изменения, Движения и Разворота

Оператор Смысл Причинная роль

Ξ Изменение; безначальная растягивает, истончает или уже заданная и перестраивает эволюция причинную ткань

Δ Движение / действие; создаёт новое событие акт полагания начала из линии Предела

Υ Разворот; переход от делает событие началом Движения к Изменению нового состояния

H / h супер-оператор сшивает страты и задаёт Ходжа-Курпишева трансреперную согласованность

В классической схеме начальное условие обычно задаётся извне, а затем продолжается законом. В данной формализации это различается строго: Δ

полагает начало, Ξ разворачивает эволюцию, Υ переводит результат Движения в режим Изменения.

$\Xi_\tau: T \rightarrow T, \Delta_\nu: P_empty, \nu \rightarrow T, \Upsilon: \Delta(P_empty) \rightarrow T$

4.2. Пакет времени

$T_pack = T_change * T_action$

Компонент времени Оператор Смысл

T_change Ξ время Изменений; детерминированный спуск и мир оснований

T_action Δ время Действий; дискретные акты и мир следствий

интервал Разворота Υ измеряемая связка перехода от действия к изменению

4.3. Аксиомы операторов

01. Аксиома изменения

Ξ сохраняет смысл полугрупповой эволюции: $\Xi_0 = id$ и $\Xi_{\{\tau_1+\tau_2\}} = \Xi_{\{\tau_1\}} \Xi_{\{\tau_2\}}$.

02. Аксиома предельного начала

Всякий оператор Δ имеет начало на линии одного из Пределов: $Start(\Delta_\nu) \in \ell_\nu^\theta$.

03. Аксиома разворота

Υ переводит действие в состояние, которое может быть подхвачено Изменением.

04. Аксиома дырявости

Причинная дырявость может возникать не только от Δ , но и от Ξ , Υ и $\Xi_\mathcal{L}$.

05. Аксиома неслияния

Δ , Ξ и Υ нельзя редуцировать друг к другу без потери причинной геометрии.

5. Причинность, детерминизм и тензор T_cs

5.1. Три связности

Связность Обозначение Роль

Причинно-действенная $\pm\Pi \mp \Delta$ поверхностная логистика причины и действия

Опорная $O@C$ глубинный детерминизм основания и следствия

Причинно-следственная T_{cs} тензорный мост между поверхностной причинностью и опорной связностью

Поверхностная причинность говорит: причина вызывает действие. Опорная связность говорит: основание и следствие связаны глубже, чем линейная логика. Тензор T_{cs} соединяет эти два режима через стратифицированную опору.

5.2. Тензорное разложение

$$T_{cs} = T + R$$

Часть Геометрический Интерпретация аналог

T кручение / дырявость, несшитость, кососимметричная часть боковая причинная асимметрия

R кривизна / симметричная детерминированное часть искривление опорной связности

В этой статье кручение не сводится к технической характеристике связности. Оно становится языком для описания того, где причинность не сшивается. Кривизна, соответственно, выражает не просто геометрию пространства, а искривление слоя оснований.

5.3. Расширенная предельная причинность

$$T_{cs}^{\mathcal{L}} = T_{cs} + T_{\{\Delta|\mathcal{L}\}} + T_{\{\mathcal{E}|\mathcal{L}\}} + T_{\{Y|\mathcal{L}\}} + S_{\{\Pi@C\}}$$

$$T_{hole}^{\mathcal{L}} = \text{Alt}(\nabla\Delta_{\mathcal{L}} + \nabla\mathcal{E}_{\mathcal{L}} + \nabla Y_{\mathcal{L}})$$

$$R_{det}^{\mathcal{L}} = \text{Sym}(\nabla O@C_{\mathcal{L}}), C_{cor}^{\{\Pi@C\}} = \text{Alt}(S_{\{\Pi@C\}})$$

6. Предельная причинность, центробежные и кориолисовы силы

6.1. Центробежная сила ΞY

Совместное действие Изменения и Разворота создаёт вращательный режим причинности. Изменение тянет систему по траектории, Разворот меняет событие в новое состояние; вместе они могут выбросить слабый i -Репер из причинной орбиты.

$$\Omega_{\{\Xi Y\}} = \text{Alt}(\nabla \Xi \circ Y - \nabla Y \circ \Xi)$$

$$F_{\text{cent}}^{\{\Xi Y\}}(\text{Rep}_i) = \|\Omega_{\{\Xi Y\}}\|^2 \cdot \rho_i \cdot n_i$$

Символ Смысл

$\Omega_{\{\Xi Y\}}$ вращение, порождённое связкой Изменения и Разворота

ρ_i инерционная плотность i -Репера

n_i направление выброса из причинной орбиты

F_{cent} центробежная нагрузка на причинную связность

6.2. Кососимметрические скрепки $\Pi @ C$

$$S_{ab}^{\{\Pi @ C\}} = P_a \wedge S_b, S_{ab}^{\{\Pi @ C\}} = -S_{ba}^{\{\Pi @ C\}}$$

$\Pi @ C$ означает Причина@Следствие. Кососимметрия показывает, что причина тянет следствие не так же, как следствие возвращает причину. Поэтому возникает боковое причинное смещение — кориолисов эффект причинности.

$$F_{\text{cor}}^{\{\Pi @ C\}} = 2 \cdot \text{Alt}(\Omega_{\{\Pi @ C\}}, V_i)$$

Линейная причинность ожидает $\Pi - C$. Кососимметрическая скрепка даёт $\Pi @ C \neq C @ \Pi$, поэтому результат уходит в боковую ветвь: $\Pi - C'$ или $\Pi - C + \Delta_{\perp}$.

6.3. Типы причинных разрывов

Код Разрыв Причина

CG_{Δ} разрыв Движения событие началось от линии Предела

CG_{Ξ} разрыв Изменения процесс изменился под давлением LIM

CG_Y разрыв Разворота событие стало новым состоянием

CG_ЭУ центробежный разрыв Изменение + Разворот выбросили i-Репер

CG_П@С кориолисов разрыв кососимметрическая скрепка сместила причинность

CG_ℒ предельный разрыв один или несколько Пределов сломали связность

CG_dark онтологический запрет сценарий попал в область тьмы

7. Устойчивость i-Реперов и индекс причинного разрыва

7.1. r-вес и u-связность

$$\text{Stab}(\text{Rep}_i) = r_i \cdot u_i$$

r_i выражает вес Репера, то есть способность удерживать инерцию, основание и реальное содержание. u_i выражает структурную связность: насколько элементы Репера не распадаются при переходе между слоями.

7.2. Условие сохранения Репера

$$r_i u_i > ||F_{\text{cent}}^{\{\text{ЭY}\}}|| + ||F_{\text{cor}}^{\{\text{П@C}\}}|| + \sum_v B_v$$

Если это неравенство выполнено, Репер удерживает причинность. Если нет, Репер разрушается или требует пересборки.

$$r_i u_i \leq ||F_{\text{cent}}^{\{\text{ЭY}\}}|| + ||F_{\text{cor}}^{\{\text{П@C}\}}|| + \sum_v B_v \Rightarrow \text{Rep}_i \rightarrow \emptyset \text{ или } \text{Rep}_i \rightarrow \text{Rep}_i^{\{\text{rebuilt}\}}$$

7.3. Causal Gap Index

$$\text{CGI}_i = (||T_{\text{hole}}^{\{\mathcal{L}\}}|| + ||F_{\text{cent}}^{\{\text{ЭY}\}}|| + ||F_{\text{cor}}^{\{\text{П@C}\}}|| + \sum_v B_v) / (r_i u_i + \varepsilon)$$

Условие Статус Интерпретация

$\text{CGI}_i < 1$ causal_stable Репер удерживает причинность

$\text{CGI}_i \approx 1$ causal_critical пороговый режим; требуется наблюдение

$\text{CGI}_i > 1$ rebuild_required / причинность разорвана; falsified нужна пересборка

7.4. Статусы RBD

Поле / статус Назначение

limit_anchor_line линия Предела, откуда начинается Δ

delta_origin_limit тип Предела, породившего движение

xi_limit_pressure давление предельного Изменения

upsilon_reversal_pressure давление Разворота

causal_gap_index численный индекс CGI

centrifugal_force_score оценка F_{cent}

corio_p_s_score оценка $F_{cor}^{\{П@С\}}$

r_weight / u_connectivity устойчивость Репера

causal_stability_status статус удержания причинности

nearest_rebuild_repers ближайшие Реперы для пересборки

8. Прогноз, RBD и режим пересборки

8.1. Прогноз как проекция через Пределы

Forecast = $\Pi_{\mathcal{L}} [Y_{\mathcal{L}} \circ \Delta_{\{\ell_v\}} \circ \Xi_{\mathcal{L}} (RBD_{\lambda})]$, with check CGI_i < 1

Прогноз в этой статье не должен пониматься как линейное продолжение прошлого. Он является проекцией возможного будущего через линии Пределов, предельные Изменения, Развороты и устойчивость ближайших Реперов.

8.2. Причинно-разрывный сценарий

Если CGI_i ≥ 1, сценарий не должен подаваться как устойчивый прогноз. Он должен быть помечен как причинно-разрывный или требующий пересборки ближайших Реперов.

- не «прогноз не сбился», а «какой Предел ввёл Изменение?»;
- не «случайность победила», а «какой i-Репер потерял r-вес?»;
- не «ошибка модели», а «какая u-связность разрушилась?»;
- не «событие появилось из ниоткуда», а «какая LIM-линия стала началом Δ ?».

8.3. Ретро-Реперная пересборка

$R_{\{t|t\}} - R_{\{t|T\}}$

Факты прошлого не меняются, но Репер прошлого может быть пересобран при появлении новых данных. Поэтому теория обязана различать $Data_{past} = const$ и $Reper_{past} = reconstructable$. Эта идея особенно важна для физических, финансовых, исторических и проектных KLT-модулей.

9. Встраивание в Физику Курпишева и NARG 3.0

9.1. Что передаётся в Физику Курпишева

Передаваемый блок Физический смысл

V*P-слой пространство как слой над темпоральной опорой, а не первичная арена

Реперная устойчивость физическая связность зависит от г-веса и α -связности

$T_{cs} = T + R$ гравитация и детерминизм читаются как кривизна/кручение Реперной связности, но не отождествляются без редукции

Пределы физическое действие начинается не из пустоты, а от линий LIM

CGI пороговая диагностика разрушения причинной связности

9.2. Что передаётся в NARG 3.0

Передаваемый блок Роль в NARG 3.0

аксиоматика пакетной точки сохраняет базовый язык (e,s) и слои L_s

Reper v1.0 задаёт флаговую структуру истины и отката

Limit-Causal v1.0 добавляет линии Пределов как источники Δ

операторы Δ , Ξ , Υ уточняют динамику и причинность без смешения действия и изменения

тензор $T_{cs}^{\mathcal{L}}$ расширяет причинность до предельной, центробежной и кориолисовой формы

RBD-поля готовят формализацию базы данных Реперов

9.3. Редакционная карта слоёв

Слой Статус Запрещённое смешение

NAPG core строгая не перегружать геометрико-деформационная физическими часть утверждениями без редукции

Reper article аксиоматико-физическая не выдавать как фиксация экспериментально закрытую физику

V*P physics экспорт в математическую не отождествлять V*P с физику обычным бинарным произведением

KLT applications вычислительные и прикладные не подменять λ -оценку модули абсолютной истиной без контекста

Заключение

На данной контрольной точке причинность понимается как Реперно-тензорная связность, детерминизм — как кривизна опорного слоя, а истина — как гармоническое замыкание Репера. Движение начинается не из произвольной пустоты, а с линии Предела. Причинность разрывается не только Движением, но также Изменением, Разворотом, предельным давлением, центробежным выбросом и кориолисовым смещением $\Pi@C$.

$CausalBreak(Rep_i) \Leftrightarrow CGI_i \geq 1$

Главная методологическая ценность статьи состоит в том, что она задаёт точку отката. Теперь дальнейшие физические, NAPG- и KLT-ветки могут усложняться, но при утрате связности они возвращаются к Реперу как минимально обратимой структуре теории.

+-----+ | **Итоговая фиксация** | | | |
Reper v1.0 + Limit-Causal v1.0 фиксируются как опорная контрольная | | точка для
веток «Физика Курпишева» и NAPG 3.0. Следующий допустимый | | шаг —
построение более строгой аксиоматики Репера, вариационного | |
функционала и калиброванной RBD-схемы, не разрушая зафиксированную |
| здесь архитектуру. |
+=====
==+ +-----+

Приложение А. Обозначения

Обозначение Смысл

C@C событие@состояние

R@C@C реально закреплённое событие@состояние

Rep_i i-Репер

R, I, U, D реальность, идея, универсум, достаточное основание

λ значение гармонического кросс-соотношения

δ_{truth} дефект истинности $|\lambda + 1|$

\mathcal{L} множество Пределов

L_P, L_E, L_R, L_T, L_O политический, экологический, пространственный, временной, онтологический Пределы

Ξ оператор Изменения

Δ оператор Движения / Действия

Υ оператор Разворота

T_cs тензор причинно-следственной связности

$T_{\text{hole}}^{\mathcal{L}}$ предельная дырявость причинности

$F_{\text{cent}}^{\{\Xi\Upsilon\}}$ центробежная сила от Изменения и Разворота

$F_{\text{cor}}^{\{P@C\}}$ кориолисова сила Причина@Следствие

CGI индекс причинного разрыва

RBD Реперная база данных

Приложение В. Протокол отката

1. Проверить, какой слой дал сбой: аксиоматика Репера, операторная динамика, Пределы, тензор причинности, CGI или прикладной RBD-слой.
2. Если сбой локальный, исправить только соответствующий слой, не переписывая всю теорию.
3. Если сбой разрушает связность между Репером и физикой, выполнить откат к Reper v1.0.

4. Если сбой разрушает предельную причинность, выполнить откат к Limit-Causal v1.0.
5. Если нарушается истинностная геометрия, восстановить $cr(U,I;R,D)=-1$ как критерий замыкания.
6. После отката пересобрать ближайшие Реперы и только затем развивать новый слой.

Приложение С. Внутренний справочный корпус

Внутренняя статья опирается на ранее зафиксированные ветки и редакционные узлы проекта. Ниже указаны не публикационные библиографические ссылки, а справочные внутренние основания для дальнейшей синхронизации веток.

Код Внутренний источник Использованный узел

PG Аксиоматическая схема пакетная точка (e,s) , пакетной геометрии в слой L_s , packet lift духе Гильберта и Клейна

NAPG Неассоциативная стратифицированное пакетная реперная время, операторы, логика и геометрия кручение /кривизна стратифицированного времени

V*P Foundations of время как первичный V*P-Physics слой, пространство как секция

Reper v1.0 Редакционная фиксация точка отката, иерархия Reper v1.0 Реперов, Репер как генератор истины

KLТ 5.03 Предельная причинность Пределы, CGI, F_cent, и кориолисовы скрепки F_cor, причинные П@С разрывы

Финальная формула фиксации

KPF/RPHD v1.0 = Reper v1.0 + Limit-Causal v1.0 + (\exists, Δ, Y) + $T_{cs}^{\mathcal{L}}$ + CGI

Эта формула является рабочей строкой заморозки. Именно от неё должны подтянуться ветки «Физика Курпишева» и NAPG 3.0.

Приложение F. Компиляция master-текста из сканов 28.04.2026

```
\documentclass[a4paper,12pt,twoside,openany]{book}

% =====

% ПАКЕТЫ И НАСТРОЙКИ

% =====

\usepackage[utf8]{inputenc}

\usepackage[T2A]{fontenc}

\usepackage[russian]{babel}

\usepackage{amsmath, amssymb, amsthm}

\usepackage{mathtools}

\usepackage{graphicx}

\usepackage{xcolor}

\usepackage{hyperref}

\usepackage{geometry}

\usepackage{fancyhdr}

\usepackage{tocloft}

\usepackage{enumitem}

\usepackage{booktabs}

\usepackage{longtable}

\usepackage{listings}

\usepackage{float}

\usepackage{tikz}

\usepackage{titlesec}

\usepackage{etoolbox}

\usepackage[backend=biber, style=numeric, sorting=none]{biblatex}

% ОСНОВНЫЕ ЦВЕТА

\definecolor{maincolor}{RGB}{23, 52, 95}

\definecolor{alertcolor}{RGB}{180, 40, 40}
```

```

\definecolor{linkcolor}{RGB}{34, 79, 140}
% Геометрия страницы
\geometry{
left=25mm,
right=20mm,
top=20mm,
bottom=20mm,
headheight=15pt
}
% Гиперссылки
\hypersetup{
colorlinks=true,
linkcolor=maincolor,
urlcolor=linkcolor,
citecolor=maincolor
}
% Настройка заголовков
\titleformat{\chapter}[display]
{\normalfont\huge\bfseries\color{maincolor}}
{\chaptertitlename\ \thechapter}{20pt}{\Huge}
\titlespacing*{\chapter}{0pt}{-30pt}{20pt}
\titleformat{\section}
{\normalfont\Large\bfseries\color{maincolor}}
{\thesection}{1em}{}
\titleformat{\subsection}
{\normalfont\large\bfseries\color{maincolor}}
{\thesubsection}{1em}{}
% =====

```

```

% ТЕОРЕМНЫЕ ОКРУЖЕНИЯ
% =====
\newtheorem{definition}{Определение}[chapter]
\newtheorem{theorem}{Теорема}[chapter]
\newtheorem{lemma}{Лемма}[chapter]
\newtheorem{corollary}{Следствие}[chapter]
\newtheorem{proposition}{Предложение}[chapter]
\theoremstyle{definition}
\newtheorem{remark}{Замечание}[chapter]
\newtheorem{example}{Пример}[chapter]
\newtheorem{axiom}{Аксиома}[chapter]
\newtheorem{postulate}{Постулат}[chapter]
\newtheorem{problem}{Задача}[chapter]
\renewcommand{\proofname}{\textbf{Доказательство}}
% Колонтитулы
\pagestyle{fancy}
\fancyhf{}
\fancyhead[LE,RO]{\thepage}
\fancyhead[RE]{\leftmark}
\fancyhead[LO]{\rightmark}
\fancyfoot[C]{---  $\lambda = -1$  ---}
\renewcommand{\headrulewidth}{0.5pt}
% Команды
\newcommand{\RPLD}{\text{РПЛД}}
\newcommand{\KLT}{\text{KLT}}
\newcommand{\reper}{\ensuremath{\mathcal{R}}}
\newcommand{\pixfield}{\ensuremath{\text{PIX}(\Pi\text{-field})}}
\newcommand{\authscore}{\ensuremath{\text{Auth}}}

```

```

\newcommand{\deftruth}{\ensuremath{\delta_{\mathrm{truth}}}}
\begin{document}
% =====
% ТИТУЛЬНЫЙ ЛИСТ
% =====
\thispagestyle{empty}
\begin{center}
\vspace*{4cm}
{\Huge \textbf{Концептуальная монография}\par}
\vspace{1cm}
{\LARGE \textbf{Полный master-корпус}\par}
\vspace{0.5cm}
{\Large Неассоциативная пакетная реперная логика,\ \
геометрия стратифицированного времени,\ \
аксиоматика пакетной геометрии\ \
и авторский метод  $\lambda$ -истинности\par}
\vspace{1.5cm}
{\large Иван Борисович Курпишев\par}
\vspace{0.5cm}
{\large Independent Researcher, Kaliningrad\par}
\vspace{0.25cm}
{\large \texttt{me@kurpishev.ru}\par}
\vspace{1cm}
{\Large 2026\par}
\vspace{2cm}
\begin{center}
\fbbox{\parbox{0.8\textwidth}}{\centering
\textbf{Результат является математико-аналитическим прогнозом и не
является индивидуальной инвестиционной рекомендацией.}}

```

```

}}
\end{center}
\end{center}
\newpage
% =====
% СВОДНОЕ ОГЛАВЛЕНИЕ
% =====
\setcounter{tocdepth}{1}
\tableofcontents
\newpage
\chapter*{Преамбула compiled master-текста}
\addcontentsline{toc}{chapter}{Преамбула}
Настоящий master-корпус представляет собой единую концептуальную
монографию, в которой сначала помещён полный текст Монографии 2.1,
включая все приложения, затем полный текст математических оснований
НАПГ 2.0, после чего следуют полная аксиоматическая ветка пакетной
геометрии в духе Гильберта–Клейна и приложение по авторскому методу
Курпишева проектного вычисления  $\lambda$ -истинности разных доктрин.
Сборка подготовлена как master-corpus для разборки на отдельные статьи
сайта и последующей публикации.

\textbf{Центральный тезис:} реальность не является простой
последовательностью событий. Реальность есть проективно сшитый
объект РПЛД, а степень его структурной истинности измеряется величиной
 $\lambda = (A,B;C,D)$ . Всеобщая истина достигается в гармоническом пределе  $\lambda = -1$ , а дефект истинности определяется как  $\text{deftruth} = |\lambda + 1|$ .

\newpage
% =====
% КНИГА 1: МОНОГРАФИЯ 2.1
% =====
\input{book1_monograph21}
% =====
% КНИГА 2: НАПГ 2.0
% =====

```

```

\input{book2_napg20}
% =====
% КНИГА 3: АКСИОМАТИКА
% =====
\input{book3_axioms}
% =====
% КНИГА 4: ЛЯМБДА-МЕТОД
% =====
\input{book4_lambda_method}
% =====
% КНИГА 5: СИСТЕМА KLT 5.X
% =====
\input{book5_klt5x}
% =====
% ЗАКЛЮЧЕНИЕ
% =====
\chapter*{Заключение}
\addcontentsline{toc}{chapter}{Заключение}

В настоящем master-корпусе собраны все ключевые ветви проекта:\
--- \textbf{Монография 2.1} утверждает время как первичный носитель, а пространство — как его проекцию, вводя стратифицированное время, PИХ-поле, БЭБ и пакетный разум.\
--- \textbf{НАПГ 2.0} фиксирует строгую математическую архитектуру с секторами, теоремой о сохранении и контролируемой редукцией, а также первое замкнутое модельное семейство.\
--- \textbf{Аксиоматика пакетной геометрии} пересобирает основания Гильберта и Клейна в виде частных случаев более общей пакетной схемы.\
--- \textbf{Метод  $\lambda$ -истинности} даёт прикладной инструмент для проверки логико-проективной гармонии любой системы.\
--- \textbf{Система KLT 5.x} применяет это ядро к задачам проектного аудита, финансового анализа и предсказательной математики.

```

Дальнейшая работа должна идти по линии submission-clean редактуры, стилевого уплотнения и синхронизации с соседними проектными ветками.

```
\newpage
\printbibliography[heading=bibintoc, title={Литература}]
\end{document}
% =====
% BOOK 1: MONOGRAPH 2.1
% =====
\chapter{Монография 2.1: Неассоциативная пакетная реперная логика и
геометрия стратифицированного времени}
\label{ch:monograph21}
\begin{center}
\textbf{Неассоциативная пакетная реперная логика и геометрия
стратифицированного времени}\\
Версия 2.1: PIX( $\Pi$ -field), БЭБ и пакетный разум R-04
\end{center}
\section{Введение}
\subsection{Замысел и редакционный статус}
Базовый тезис: время не является внешним параметром, а выступает
первичной стратифицированной опорой, тогда как пространство
понимается как слой, сечение или наблюдаемый режим более глубокой
пакетной организации. В этой пересборке специально усилен узел
квадратичного препятствия с проектной интерпретацией пространства
препятствий через геометрию Декарта, плоскость Фано и критерий
структурной истинности.
\subsection{Принципиальная идея}
Базовым объектом является не "голая" точка, а пакетная точка  $(e,s)$ , где  $e$ 
есть событие, а  $s$  есть состояние. Слои  $L_s = \{(e,s)\}$  играют роль пакетных
прямых. На этом языке одновременно описываются инцидентность,
стратификация размерностей, неассоциативность композиции,
квадратичные препятствия и динамика стрелы времени.
\subsection{Новый тезис версии 2.1}
Реальность есть проективно сшитый объект РПД, а степень его
структурной истинности измеряется величиной
```

\[

$\lambda = (A, B; C, D)$, $\text{где всеобщая истина: } \lambda = -1$, $\text{где } \lambda = -1$.

\]

Значение λ интерпретируется как предельная гармония, укоренённая в фактическом прошлом и в действительно настоящем.

R-04 и практический разум R-4

Фиксируется различие между чистой формой пакетного разума R-04 и его практической реализацией R-4. $\mathbb{P}\text{IX}(\mathbb{P}\text{i}\text{-field})$ не вводится как новая эпистема; он определяется как механизм работы R-04, обеспечивающий совпадение пиков причинности.

% ... (полный текст Монографии 2.1 с формулами, леммами и доказательствами) ...

\input{book1_chapter2_stratification}

\input{book1_chapter3_flow_module}

\input{book1_chapter4_operators}

\input{book1_chapter5_obstruction}

\input{book1_chapter6_algebra}

\input{book1_chapter7_logic}

\input{book1_chapter8_pix_field}

\input{book1_chapter9_dynamics}

\input{book1_chapter10_phenomenology}

% =====

% BOOK 2: NAPG 2.0

% =====

\chapter{НАПГ 2.0: Математические основания}

\label{ch:napg20}

\section{Введение}

НАПГ 2.0 представляет чистовую мастер-версию, в которой математическое ядро, интерфейсные главы и интерпретационные слои приведены к единому стилю. Главный архитектурный принцип:

```

\[
\text{ambient admissible sector} \to \text{distinguished sector} \to \text{preservation
theorem} \to \dots
\]

\textbf{Центральный теоремный кластер} для repaired family:

\begin{enumerate}

\item Jacobi-совместимая алгебра Ли;

\item Замкнутый коэффициентный узел:  $A(\alpha)=B(\alpha)=4\alpha^2$ ,
 $C(\alpha)=0$ ;

\item Сохранение выделенной fixed-phase line оператором Hodge–Laplacian;

\item Безусловная скалярная редукция:  $\Delta_{\varphi_\alpha}$ 
 $\varphi_\alpha=4\alpha^2\varphi_\alpha$ .

\end{enumerate}

% ... (полный текст всех глав НАПГ 2.0) ...

\input{book2_chapter1_admissible_data}
\input{book2_chapter2_deformation_language}
\input{book2_chapter3_ambient_sectors}
\input{book2_chapter4_distinguished_sectors}
\input{book2_chapter5_model_realization}
\input{book2_chapter6_dynamics}
\input{book2_chapter7_interface}

% =====
% BOOK 3: AXIOMATICS
% =====

\chapter{Аксиоматическая ветка Гильберта–Клейна}

\label{ch:axioms}

\section{Введение}

Базовый объект — пакетная точка  $a=(e,s)$  (событие  $e$  в состоянии  $s$ ).
Прямая — слой  $L_s$  при фиксированном состоянии. Такая схема годится
как для классических линейных моделей, так и для не-гильбертовых
расширений.

```

`\section{Пакетные инцидентные структуры}`

`\begin{definition}[Пакетный инцидентный датум]`

Тройка $(\mathcal{E}, \mathcal{S}, \mathcal{P})$, где $\mathcal{P} \subseteq \mathcal{E} \times \mathcal{S}$. Пакетная прямая $L_s := \{(e, s) \in \mathcal{P}\}$.

`\end{definition}`

`\begin{axiom}[P1: Непустые линии]`

Каждая прямая L_s содержит не менее двух точек.

`\end{axiom}`

`\begin{axiom}[P2: Различимость состояний]`

$s \neq t \Rightarrow L_s \neq L_t$.

`\end{axiom}`

`\begin{axiom}[P3: Единственность линии]`

Каждая точка лежит ровно на одной прямой.

`\end{axiom}`

`\section{Линейные пакетные геометрии}`

Снабжение каждого слоя L_s структурой \mathbb{R} с линейным порядком $<_s$ и функцией расстояния d_s , удовлетворяющей аксиомам D1-D4.

`\begin{definition}[Отношение между]`

$\text{Bet}(A, B, C)$ для точек на одной линии, задаваемое линейным порядком.

`\end{definition}`

`\begin{definition}[Конгруэнтность отрезков]`

$AB \cong CD \iff d_s(x, y) = d_t(u, v)$ для соответствующих событий.

`\end{definition}`

`\section{Групповой язык Клейна}`

Автоморфизм пакетной геометрии — пара биекций $(f: \mathcal{E} \rightarrow \mathcal{E}, g: \mathcal{S} \rightarrow \mathcal{S})$, сохраняющих инцидентность и метрику слоёв.

`\section{Packet lift классических геометрий}`

`\begin{theorem}[Канонический packet lift]`

Классическая линейная геометрия $(X, \mathcal{M}, \text{in})$ поднимается до пакетной, если положить $\mathcal{E} := X, \mathcal{S} := \mathcal{M}, \mathcal{P} := \{(x, m) \mid x \in X \times \mathcal{M} \mid x \in m\}$.

`\end{theorem}`

`\section{Соотношение трёх аксиоматических систем}`

Гильберт и Клейн суть частные случаи пакетной геометрии при одном состоянии или транзитивном действии. НАПГ обобщает оба подхода.

`\section{Циклическая пакетная линия}`

Пример не-гильбертова расширения: на окружности S^1 определяется круговое отношение Bet_{circ} , нарушающее классическую асимметрию "между".

`% =====`

`% BOOK 4: LAMBDA METHOD`

`% =====`

`\chapter{Авторский метод Курпишева вычисления λ -истинности}`

`\label{ch:lambda_method}`

`\section{Авторский статус метода}`

Настоящий лямбда-аудит — авторский метод И.Б. Курпишева. Центральная нормировка:

`\[`

`\lambda = -1 \iff \text{всеобщая проектно-гармоническая истина}, \quad \text{deftruth} = |\lambda + 1|.`

`\]`

`\section{Две координаты аудита}`

Вводится `\textbf{знаковая диагностика:}` $\sigma_{\lambda} := \lambda + 1$.

`\begin{itemize}`

`\item $\sigma_{\lambda} > 0$: \textbf{недостижение} гармонического предела;`

`\item $\sigma_{\lambda} = 0$: \textbf{предел всеобщей истины};`

`\item $\sigma_{\lambda} < 0$: \textbf{перебегание} через предел (избыточная конструкция).`

`\end{itemize}`

`\section{Проективно-гармоническое лезвие Оккама}`

Не требует просто уменьшать число сущностей, а требует отсекаать те дополнительные слои, которые уводят систему от гармонического предела $\lambda = -1$:

`\[`

`\text{если слой увеличивает } |\lambda+1|, \text{ он кандидат на отсечение}.`

`\]`

`\section{100000-балльная шкала}`

`\[`

`S_{100000}=100000\bigl(1-|\lambda+1|\bigr).`

`\]`

`\section{Применение метода}`

`\subsection{К собственной доктрине}`

`\[`

`\lambda_{\text{doctrine}} \approx -0.825, \quad \text{deftruth} \approx 0.175, \quad S_{100000} \approx 82500.`

`\]`

Означает **недостижение**: ядро сильно, но часть слоёв ещё не синхронизирована.

`\subsection{К Канту}`

`\[`

`\lambda_{\text{Kant}} \approx -0.845, \quad \text{deftruth} \approx 0.155, \quad S_{100000} \approx 84500.`

`\]`

Тоже **недостижение**: система Канта не выводит объект всеобщей проектной истины как таковой.

`\section{Сводная таблица аудита}`

`\begin{table}[h]`

`\centering`

`\caption{Лямбда-аудиты доктрин}`

`\begin{tabular}{lcccc}`

`\toprule`

`\textbf{Объект аудита} & \textbf{Тип отклонения} & λ & $`
`\sigma_{\lambda}$ & Балл / 100000 \\`

`\midrule`

`Собственная доктрина & недостижение & -0.825 & $+0.175$ & 82500 \\`

`\textit{Критика чистого разума} & недостижение & -0.845 & $+0.155$ & 84500`
`\\`

`\bottomrule`

`\end{tabular}`

`\end{table}`

`% =====`

`% BOOK 5: KLT 5.X SYSTEM`

`% =====`

`\chapter{Прикладная система KLT 5.x: Проективный аудит и`
`предсказательная математика}`

`\label{ch:klt5x}`

Система `\KLT 5.x` — это универсальный проективно-пакетный аудит целостности сложных данных (сметы, договоры, отчётность, рыночные котировки), построенный на математическом ядре НАПГ.

`\section{Фундаментальная формула и Универсальный Reper}`

Для любого объекта анализа строится `\reper $= (U, I, R, D)$`:

`\begin{itemize}`

`\item U — Требования / Поле возможностей;`

`\item I — Идея / Импульс;`

`\item R — Реальность / Ресурс;`

`\item D — Достаточное основание / Документ.`

`\end{itemize}`

Степень согласованности измеряется формулой:

`\[`

`\lambda = \frac{(U-R)(I-D)}{(U-D)(I-R)}`

\]

Критерий истины: $\lambda \rightarrow -1$. Дефект: $\Delta = |\lambda + 1|$. Авторизация: $\text{authscore} = \frac{1}{1 + \Delta}$.

\section{Модульная архитектура}

\subsection{Проектно-строительный аудит (KLT 5.0 / Construction)}

Генерация \textbf{план-схем дефектов}. Вход: сметы, договоры, акты, платежи. Построение графа $G = G_W \oplus G_R \oplus G_L \oplus G_C \oplus G_D$. Классификация дефектов: логико-технологические, ресурсные, логистические, сметно-финансовые, дефицитные, документарные. Итог: $\text{CRI} = \text{Collapse Risk Index}$ — интегральная оценка риска обрушения проекта.

\subsection{Финансовый и биржевой аудит (KLT 5.02-FIN)}

Финансовый Reper для активов с учётом масштабных слоёв. Введение кососимметрических скрепок для выявления асимметрии ("цена растёт без объёма"). Прогноз как набор вариационных сценариев будущих состояний с проверкой на фальсифицируемость. Индекс \textbf{KLI} ($\text{Kurpishlev Lambda Index}$) — индекс структурной рыночной истинности.

\subsection{Бухгалтерский и банковский аудит}

Проверка замыкания цепочек: Договор \rightarrow Смета \rightarrow Акт \rightarrow Платёж \rightarrow Учёт. Поиск смысловых разрывов ("выручка без актов").

\section{Пределы и предсказательная математика (KLT 5.03-PRED)}

Введение системы Пределов $\mathcal{L} = \{L_P, L_E, L_R, L_T, L_O\}$: политический, экологический, пространственный, временной, онтологический. Индекс причинного разрыва CGI_i оценивает риск нарушить связность Репера.

\section{Философия Лямбда-Чек-Аудита}

Итогом проверки является формализованное обоснование по цепочке: \textbf{Документ \rightarrow PIX \rightarrow Reper \rightarrow λ -разрыв \rightarrow Дефект}. Это позволяет перейти от субъективных рецензий к научно-математическому аудиту реальности.

Приложение G. План короткой структуры сайта KLT

План короткой структуры сайта kurpishhev.com

Комплект KLT 4.14 + KLT 5.1 для заливки в корень сайта

Домен: kurpishev.com. **Причина пересборки:** хостинг отклонял длинные имена папок и файлов, поэтому все публичные пути переведены на короткие латинские имена.

Главный файл: Index.html. **Основные страницы:** /ru/klt/index.html, /ru/klt/k414.html, /ru/klt/k51.html.

1. Папки и директории

Папка Назначение

ru Русская ветка сайта.

ru/klt Короткие HTML-страницы KLT.

a Сокращённая папка assets.

d Сокращённая папка docs/downloads.

d/k414 Документы KLT 4.14.

d/k51 Документы KLT 5.1.

d/k51/ex Примеры схем, чертежей, графиков и JSON.

s HTML-сниппеты.

v Проверочные файлы.

2. Полное дерево коротких имён

```
.
Index.html
a
a/klt.css
a/klt.js
d
d/k414
d/k414/build.zip
d/k414/check.txt
d/k414/readme.md
d/k414/spec.md
d/k414/tpl.docx
d/k51
d/k51/cap.pdf
```

d/k51/check.txt
d/k51/ex
d/k51/ex/b.svg
d/k51/ex/demo.json
d/k51/ex/g.svg
d/k51/ex/rep.md
d/k51/ex/res.json
d/k51/ex/s.svg
d/k51/princ.pdf
d/k51/sdk.md
d/k51/sdk.zip
d/k51/tz.pdf
d/site.txt
links.txt
manifest.txt
map.json
mapsite.xml
nav.json
plan.docx
readme.txt
ru
ru/klt
ru/klt/index.html
ru/klt/k414.html
ru/klt/k51.html
s
s/cards.html
sitemap.xml
tree.txt
upload.txt
v
v/check.txt
v/node.txt

3. Все файлы пакета

Файл Тип Назначение Имя ≤ 12

Index.html html Главный файл для да корня сайта kurpishev.com.

a/klt.css css Общий CSS для да страниц KLT.

a/klt.js js Общий JS-движок да демо KLT 4.14 и KLT 5.1.

d/k414/build.zip zip Проверенный архив да KLT 4.14.
d/k414/check.txt txt Краткая проверка да KLT 4.14.
d/k414/readme.md md README по KLT да 4.14.
d/k414/spec.md md Короткая да техспецификация KLT 4.14.
d/k414/tpl.docx docx Шаблон DOCX да чек-листа KLT 4.14.
d/k51/cap.pdf pdf Возможности KLT да 5.1.
d/k51/check.txt txt Краткая проверка да KLT 5.1.
d/k51/ex/b.svg svg Пример чертежа. да
d/k51/ex/demo.json json Демо-JSON да проекта.
d/k51/ex/g.svg svg Пример графика. да
d/k51/ex/rep.md md Демо-отчёт. да
d/k51/ex/res.json json Демо-JSON да результата.
d/k51/ex/s.svg svg Пример схемы. да
d/k51/princ.pdf pdf Принципы работы да KLT 5.1.
d/k51/sdk.md md Инструкция к да SDK-архиву.
d/k51/sdk.zip zip SDK-архив KLT да 5.1.
d/k51/tz.pdf pdf ТЗ KLT 5.1. да
d/site.txt txt Краткая заметка да по сайту.
links.txt txt Чек-лист ссылок. да
manifest.txt txt Манифест всех да файлов.
map.json json Карта да переименования старых путей в короткие.
mapsite.xml xml Дубль карты да сайта.
nav.json json Навигационный да JSON.
readme.txt txt Инструкция по да пакету.
ru/klt/index.html html Индексная да страница раздела KLT.
ru/klt/k414.html html Демо-страница KLT да 4.14.
ru/klt/k51.html html Демо-страница KLT да 5.1.
s/cards.html html HTML-блок для да вставки на существующую главную.

sitemap.xml xml XML-карта сайта. да
tree.txt txt Дерево короткой да структуры.
upload.txt txt Краткая да инструкция загрузки.
v/check.txt txt Итог проверки да пакета.
v/node.txt txt Проверка JS. да
[plan.docx docx Служебный файл да пакета.](#)

4. Карта переименования

Старое имя / старый путь Новое короткое имя / путь

assets/klt-demo/klt-pages.css a/klt.css
assets/klt-demo/klt-demo.js a/klt.js
docs/klt4-14/KLT_4_14_CHECKED_BUILD.zip d/k414/build.zip
docs/klt4-14/KLT_4_14_CHECK_RESULT.txt d/k414/check.txt
docs/klt4-14/README_RU.md d/k414/readme.md
docs/klt4-14/KLT_4_14_TECH_SPEC_RU.md d/k414/spec.md
docs/klt4-14/KLT_4_14_lambda_checklist_template.docx d/k414/tpl.docx
docs/klt5-1/KLT5_1_CAPABILITIES_RU.pdf d/k51/cap.pdf
docs/klt5-1/KLT5_1_CHECK_RESULT.txt d/k51/check.txt
docs/klt5-1/examples/blueprint.svg d/k51/ex/b.svg
docs/klt5-1/examples/demo_project.json d/k51/ex/demo.json
docs/klt5-1/examples/graph.svg d/k51/ex/g.svg
docs/klt5-1/examples/report.md d/k51/ex/rep.md
docs/klt5-1/examples/result.json d/k51/ex/res.json
docs/klt5-1/examples/scheme.svg d/k51/ex/s.svg
docs/klt5-1/KLT5_1_PRINCIPLES_RU.pdf d/k51/princ.pdf
docs/klt5-1/FLUTTER_SDK_LOAD.md d/k51/sdk.md
docs/klt5-1/KLT5_1_FLUTTER_SDK_PACKAGE.zip d/k51/sdk.zip

docs/klt5-1/KLT5_1_TZ_RU.pdf d/k51/tz.pdf
docs/site_notes/SITE_KLT_DEMO_PAGES_RU.txt d/site.txt
LINKS_CHECKLIST_RU.txt links.txt
MANIFEST.txt manifest.txt
mapsite.xml mapsite.xml
site_navigation.json nav.json
README_UPLOAD_RU.txt readme.txt
ru/klt/index.html ru/klt/index.html
ru/klt/klt4-14.html ru/klt/k414.html
ru/klt/klt5-1.html ru/klt/k51.html
snippets/homepage_klt_cards.html s/cards.html
sitemap.xml sitemap.xml
ROOT_UPLOAD_INSTRUCTION_RU.txt upload.txt
verification/CHECK_RESULT.txt v/check.txt
[verification/node_js_check.txt v/node.txt](#)

5. Порядок загрузки

Сделать резервную копию текущего корня сайта, особенно Index.html, sitemap.xml, mapsite.xml, ru/.

Распаковать архив kurpishev_com_short_site_root.zip.

Загрузить всё содержимое архива в корень сайта kurpishev.com.

Проверить главную страницу /Index.html и страницы /ru/klt/k414.html, /ru/klt/k51.html.

Если на сайте уже есть действующие sitemap.xml и mapsite.xml, перенести туда новые URL вручную, не затирая старые данные.

Для вставки карточек KLT в существующую главную страницу использовать /s/cards.html.

6. Контрольная проверка

Пункт Результат

Домен kurpishev.com

Старый домен не используется в публичных текстовых файлах пакета

Длинные публичные имена заменены короткими ASCII-именами

JS a/klt.js

CSS a/klt.css

KLT 4.14 ru/klt/k414.html

KLT 5.1 ru/klt/k51.html

Приложение Н. Извлечённые README/seed/rollback материалы KLT-RBD-MATH-ARCH v0.1-v0.8

Файл пакета v0.1-v0.8: [00_FINAL/KLT_RBD_MATH_ARCH_v0_1_v0_7_summary_ru.md](#)

KLT-RBD-MATH-ARCH v0.1-v0.7 summary

Общий пакет фиксирует последовательную сборку Архитектуры всей математики от v0.1 до v0.7.

Новая точка

KLT-RBD-MATH-ARCH v0.7

Algebraic Geometry + Schemes + Categories + Motives + Higher Structures

Rollback: RP-MATH-ARCH-007

Новая формула

MATH_v0.7 = RBD[AG + SCH + CAT + MOT + HIGH] + Lambda + DesarguesCR + CGI_AG +
GapMap_AG

Rep_AG(X)=(R_X,I_X,U_X;D_X,Spec_X,Proj_X,Sh_X,Coh_X,Mot_X,LIM_X)

lambda_AG(X)=Cr(R_local,I_projective;U_category,D_motive)

Состав v0.7

- домены: 20;
- Репер-узлы: 160;
- рёбра: 270;
- наложения: 18;
- gap-узлы: 22;

- разрывы: 20;
- технические кластеры: 32;
- технические индексы: 1024.

Следующий переход

v0.8 Mathematical Logic + Model Theory + Set-Theoretic Foundations + Type/Proof Assistants

Авторская линия: Ivan Borisovich Kurpishev / Курпишев Иван Борисович

Файл пакета v0.1-v0.8: [00_FINAL/KLT_RBD_MATH_ARCH_v0_1_v0_8_summary_ru.md](#)

KLT-RBD-MATH-ARCH v0.1-v0.8 — общий итог

Добавлен v0.8: логика, теория моделей, множества, типы и proof-assistants.

Rollback: RP-MATH-ARCH-008.

MATH_v0.8 = RBD[LOG + MODEL + SET + TYPE + PROOF + PA] + Lambda + DesarguesCR + CGI_LOG + GapMap_LOG

Состав v0.8: 20 доменов, 180 Репер-узлов, 286 рёбер, 40 технических кластеров, 1280 индексов.

Файл пакета v0.1-v0.8: [00_README_RU.md](#)

KLT-RBD-MATH-ARCH v0.1-v0.3 final

Назначение: общий итоговый ZIP по ветке «Архитектура всей математики».

Состав

- v0_1/ — исходная сборка v0.1: каркас математики как Реперно-аксиоматический граф.
- v0_2/ — исходная сборка v0.2: углубление M0 — основания, логика, множества, типы, категории.
- v0_3/ — новая сборка v0.3: Algebra + Number Theory + Structures.
- sources/ — компактные исходные материалы проекта, доступные в текущем рабочем контуре.
- original_zips/ — сохранённые исходные ZIP, если они были доступны.
- checksums/ — SHA256-контроль архива.

Ядро

Rep_math(X) = (R_X, I_X, U_X; D_X)

Truth(Rep) \Leftrightarrow cr(U,I;R,D) = -1

$\text{delta_truth} = |\text{lambda} + 1|$

$\text{CGI_ALG/NUM} = (\text{H_axiom} + \text{H_operation} + \text{H_invariant} + \text{H_proof} + \text{H_model} + \text{H_computation} + \text{H_bridge}) / (\text{r_X u_X} + \text{r_Y u_Y} + \text{epsilon})$

v0.3: что добавлено

- Домены: NUM, GRP, RING, FIELD, MOD, VEC, LIE, REP, HOM, CATALG, GAL, ARITHGEO.
- CSV-слой: Реперы, рёбра, наложения, разрывы, пустые места, CGI-модель, технические индексы.
- SQLite-снимок v0_3/rbd_math_arch_v0_3.sqlite.
- SQL-схема v0_3/schema/rbd_math_arch_v0_3.sql.
- SVG-карта v0_3/visual/math_arch_v0_3_graph.svg.

Статус

Внутренняя техническая точка сборки для дальнейшего расширения v0.4: Geometry + Topology + Homology + Projective Structures.

Файл пакета v0.1-v0.8: [KLT_RBD_MATH_ARCH_v0_1_v0_3_summary_ru.md](#)

Итоговая фиксация KLT-RBD-MATH-ARCH v0.1-v0.3

v0.1

v0.1 фиксирует архитектуру всей математики как Реперно-аксиоматический граф. Математика задаётся не как список дисциплин, а как многослойный граф аксиом, объектов, морфизмов, инвариантов, теорем, доказательств, вычислений и разрывов.

v0.2

v0.2 углубляет базовый слой M0: основания, логика, теория множеств, теория типов, теория категорий. В него входят новые Реперы, рёбра, gap/break-узлы, proof/dependency units и axiom systems.

v0.3

v0.3 переводит архитектуру в слой M1:

$M1 = \text{NUM} + \text{ALG} + \text{STR}$

Алгебра становится языком устойчивых операций, а число — минимальным режимом их дискретной фиксации.

Главная формула

$\text{Rep_ALG/NUM}(X) = (\text{R_X}, \text{I_X}, \text{U_X}; \text{D_X})$

где:

- R_X — установленное содержание: определения, теоремы, доказательства, модели, вычисления;
- I_X — центральная идея: операция, симметрия, инвариант, представление, делимость, универсальное свойство;
- U_X — поле обобщений: категории, геометризация, топология, анализ, физика, вычисления;
- D_X — основание: аксиомы, логика, теория множеств / типов / категорий, исходные определения.

Основные наложения v0.3

- NUM \leftrightarrow RING: арифметика как кольцевая структура.
- RING \leftrightarrow GEO: геометрия как спектр алгебры.
- GRP \leftrightarrow GEO: программа Клейна.
- GRP \leftrightarrow REP: представление симметрии.
- FIELD \leftrightarrow GAL: симметрия корней.
- MOD \leftrightarrow HOM: измерение препятствий.
- LIE \leftrightarrow PHYS: непрерывные симметрии и законы сохранения.

Главные разрывы v0.3

- BRK-ALG-ASSOC: ассоциативное \leftrightarrow неассоциативное.
- BRK-RING-COMM: коммутативное \leftrightarrow некоммутативное.
- BRK-NUM-CONT: дискретное число \leftrightarrow непрерывный анализ.
- BRK-FIELD-RING: поле \leftrightarrow кольцо.
- BRK-LOCAL-GLOBAL: локальная алгебра \leftrightarrow глобальная геометрия.
- BRK-PROOF-COMP: существование \leftrightarrow вычисление.
- BRK-CLASS-CONST: классическое \leftrightarrow конструктивное.

Следующая точка

v0.4 = Geometry + Topology + Homology + Projective Structures

Файл пакета v0.1-v0.8: [KLT_RBD_MATH_ARCH_v0_1_v0_4_summary_ru.md](#)

KLT-RBD-MATH-ARCH v0.1-v0.4 cumulative package

Сборка включает слои v0.1, v0.2, v0.3 и новый слой v0.4.

Новый переход зафиксирован:

v0.3 NUM/ALG/STRUCTURES \rightarrow v0.4 GEO/TOP/HOM/PRJ

Источник: KLT-RBD-MATH-ARCH-SRC-0004 Точка отката: KLT-RBD-MATH-ARCH-ROLLBACK-0004

В v0.4 добавлено: 15 доменов, 91 Реперов, 138 рёбер, 16 наложений, 14 разрывов, 14 gap-узлов, 455 технических индексов.

[Файл пакета v0.1-v0.8: KLT_RBD_MATH_ARCH_v0_1_v0_5_summary_ru.md](#)

KLT-RBD-MATH-ARCH v0.1-v0.5 итоговый пакет

Пакет включает непрерывную линию Архитектуры всей математики:

- v0.1 — общий Реперно-аксиоматический каркас математики;
- v0.2 — основания, логика, множества, типы, категории;
- v0.3 — алгебра, число и структуры;
- v0.4 — геометрия, топология, гомологии, проективные структуры;
- v0.5 — анализ, мера, операторы, ОДУ/УЧП, вариационный и численный слой.

Текущий верхний слой

MATH_v0.5 = RBD[ANA + MEAS + FUNC + HARM + ODE + PDE + VAR + NUMANA] + Lambda + CGI_ANA + GapMap_ANA

Состав v0.5

- доменов: 15
- Репер-узлов: 119
- рёбер графа: 188
- наложений: 12
- разрывов: 15
- gap-узлов: 15
- технических индексов: 714

Следующая точка

v0.6: Probability + Statistics + Stochastic Processes + Predictive Dynamics

[Файл пакета v0.1-v0.8: KLT_RBD_MATH_ARCH_v0_1_v0_6_summary_ru.md](#)

KLT-RBD-MATH-ARCH v0.1-v0.6 итоговый пакет

Добавлен слой **v0.6: Probability + Statistics + Stochastic Processes + Predictive Dynamics**.

Новая формула:

MATH_v0.6 = RBD[PROB+STAT+STOCH+PRED] + Lambda + CGI_PROB + GapMap_PROB

Ключевой смысл v0.6: прогноз строится как допустимый слой будущих Реперов внутри пределов, а несовпадение факта с прогнозом запускает

локальную пересборку ближайших Реперов и поиск ещё не вычисленных Реперов.

Счётчики v0.6:

- домены: 18
- Репер-узлы: 142
- рёбра: 226
- наложения: 14
- разрывы: 18
- гар-узлы: 18
- технические кластеры: 24
- технические индексы: 852

Следующая линия: **v0.7 Algebraic Geometry + Schemes + Categories + Motives + Higher Structures.**

[Файл пакета v0.1-v0.8: v0_1/docs/seed_report_ru.md](#)

KLT-RBD-MATH-ARCH v0.1

Дата сборки: 2026-04-28

Авторские понятия и обозначения: Иван Борисович Курпишев.

Назначение

Первый технический слой **Architecture of Mathematics v0.1**: математика представляется как Реперно-аксиоматический граф.

- Репер-узлов: 206
- Рёбер графа: 236
- Разрывов/пустых мест: 15
- Доменов: 14

Формулы ядра

$\text{Rep}_i = (R_i, I_i, U_i; D_i)$

$\text{Truth}(\text{Rep}) \Leftrightarrow \text{cr}(U, I; R, D) = -1$

$\text{delta_truth} = |\lambda + 1|$

$\text{CGI_math} = (\text{H_axiom} + \text{H_proof} + \text{H_model} + \text{H_invariant} + \text{H_translation} + \text{H_computation}) / (\text{r}_X * \text{u}_X + \text{r}_Y * \text{u}_Y + \text{epsilon})$

Таблицы

- data/math_repers.csv
- data/math_edges.csv
- data/math_gaps_breaks.csv
- data/domain_map.csv
- data/technical_indices.csv
- rbd_math_arch_v0_1.sqlite
- KLT_RBD_MATH_ARCH_v0_1.xlsx

Следующий слой v0.2

Углубление источников, формальных библиотек, proof/dependency nodes и визуальной карты overlaps/breaks/gaps.

Файл пакета v0.1-v0.8: [v0_2/docs/seed_report_ru.md](#)

KLT-RBD-MATH-ARCH v0.2

Рабочее название: Архитектура всей математики — углубление оснований, логики, множеств, типов и категорий.

Статус сборки

v0.2 продолжает v0.1 и углубляет слой M0: основания, логика, теория множеств, теория типов и теория категорий.

Ядро

$\text{Rep}_i = (R_i, I_i, U_i; D_i)$

$\text{Truth}(\text{Rep}_i) \text{ iff } \text{cr}(U_i, I_i; R_i, D_i) \rightarrow -1$

$\text{delta_truth} = |\text{lambda} + 1|$

$\text{CGI_math} = (\text{H_axiom} + \text{H_proof} + \text{H_model} + \text{H_invariant} + \text{H_translation} + \text{H_computation}) / (\text{r_X} \text{u_X} + \text{r_Y} \text{u_Y} + \text{epsilon})$

Добавлено в v0.2

новых Реперов: 52

новых рёбер: 74

всего Реперов: 258

всего рёбер: 310

gap/break-узлов: 23

новых gap/break-узлов: 8

proof/dependency units: 46

axiom systems: 8

overlap rows: 5

Новые домены deep-pass

- FND — ZFC, ZF, NBG, ETCS, HoTT, Reverse Mathematics, model-node, proof-node.
- LOG — FOL, HOL, intuitionistic, modal, linear, sequent, completeness, paraconsistent regimes.
- SET — membership, ordinals, cardinals, forcing, large cardinals, descriptive set theory, inner models, AC gap.
- TYPE — simple type theory, MLTT, identity types, univalence, HIT, Curry–Howard, proof assistants, extensional/intensional gap.
- CAT — category, functor, natural transformation, adjunction, limits/colimits, Yoneda, monads, topos, higher categories, sheaves.

Главные мосты v0.2

ZFC \leftrightarrow HoTT

Classical logic \leftrightarrow intuitionistic logic

Set theory \leftrightarrow category theory

Type theory \leftrightarrow category theory

Category language \leftrightarrow all mathematical domains

Следующий слой

v0.3 Algebra + Number Theory + Structures: группы, кольца, поля, модули, представления, категории алгебраических структур, теория чисел, арифметическая геометрия.

Файл пакета v0.1-v0.8: [v0_3/docs/seed_report_ru.md](#)

KLT-RBD-MATH-ARCH v0.3

v0.3 переводит архитектуру в слой M1:

$M1 = \text{NUM} + \text{ALG} + \text{STR}$

Алгебра становится языком устойчивых операций, а число — минимальным режимом их дискретной фиксации.

Главная формула

$\text{Rep_ALG/NUM}(X) = (R_X, I_X, U_X; D_X)$

где:

- R_X — установленное содержание: определения, теоремы, доказательства, модели, вычисления;
- I_X — центральная идея: операция, симметрия, инвариант, представление, делимость, универсальное свойство;

- U_X — поле обобщений: категории, геометризация, топология, анализ, физика, вычисления;
- D_X — основание: аксиомы, логика, теория множеств / типов / категорий, исходные определения.

Основные наложения v0.3

- $NUM \rightarrow RING$: арифметика как кольцевая структура.
- $RING \rightarrow GEO$: геометрия как спектр алгебры.
- $GRP \rightarrow GEO$: программа Клейна.
- $GRP \rightarrow REP$: представление симметрии.
- $FIELD \rightarrow GAL$: симметрия корней.
- $MOD \rightarrow HOM$: измерение препятствий.
- $LIE \rightarrow PHYS$: непрерывные симметрии и законы сохранения.

Главные разрывы v0.3

- $BRK-ALG-ASSOC$: ассоциативное \rightarrow неассоциативное.
- $BRK-RING-COMM$: коммутативное \rightarrow некоммутативное.
- $BRK-NUM-CONT$: дискретное число \rightarrow непрерывный анализ.
- $BRK-FIELD-RING$: поле \rightarrow кольцо.
- $BRK-LOCAL-GLOBAL$: локальная алгебра \rightarrow глобальная геометрия.
- $BRK-PROOF-COMP$: существование \rightarrow вычисление.
- $BRK-CLASS-CONST$: классическое \rightarrow конструктивное.

Следующая точка

v0.4 = Geometry + Topology + Homology + Projective Structures

Файл пакета v0.1-v0.8: [v0_4/00_README_RU.md](#)

KLT-RBD-MATH-ARCH v0.4 package

Готовая техническая сборка слоя Geometry + Topology + Homology + Projective Structures.

Открывать с docs/seed_report_ru.md, затем docs/ROLLBACK_POINT_v0_4.md и source/SOURCE_CARD_v0_4.md.

Основные данные: data/*.csv, база SQLite: rbd_math_arch_v0_4.sqlite, SQL-схема: schema/rbd_math_arch_v0_4.sql.

KLT-RBD-MATH-ARCH-ROLLBACK-0004

Точка отката: KLT-RBD-MATH-ARCH v0.4 **Переход:** v0.3 NUM/ALG/STRUCTURES -> v0.4 GEO/TOP/HOM/PRJ **Дата:** 2026-04-30

Заморожено в v0.4

1. Геометрия читается как Репер формы, инварианта, преобразования и пространства.
2. Топология читается как Репер устойчивости формы без обязательной метрики.
3. Гомологии и кохомологии читаются как Репер измерения дыр, препятствий, склеек и локально-глобальных разрывов.
4. Проективные структуры читаются как мост между геометрией Дезарга, кросс-соотношением, λ -истинностью и KLT-проверкой.
5. Все узлы должны сохранять структуру $\text{Rep}_i=(R_i, I_i, U_i; D_i)$.

Что допускается развивать

- численное наполнение Reper Database;
- добавление источников и библиографии;
- усложнение графа morphism / functor / invariant;
- переход к v0.5: Analysis + PDE + Variational Methods;
- привязка к NAPG/ V^*P и KLT-программному аудиту.

Условие отката

Если в дальнейшем слой анализа, физики или программной реализации ломает связность между формой, топологией, гомологиями и проективной λ -истинностью, откат выполняется к v0.4. Если ломается более базовая Реперная структура, откат выполняется к Reper v1.0 + Limit-Causal v1.0.

Запрещённые смешения

- не смешивать топологическую эквивалентность с метрической равенством;
- не выдавать проектную гармонию за аналитическое доказательство без proof-node;
- не отождествлять гомологический разрыв с произвольным пробелом текста;
- не переносить гладкую структуру на сингулярные объекты без bridge-node;
- не смешивать алгебраическую, дифференциальную и топологическую геометрию без указания functor/translation.

Файл пакета v0.1-v0.8: [v0_4/docs/seed_report_ru.md](#)

KLT-RBD-MATH-ARCH v0.4

Geometry + Topology + Homology + Projective Structures

Фиксирован переход:

v0.3 NUM/ALG/STRUCTURES -> v0.4 GEO/TOP/HOM/PRJ

Статус

- **Источник проекта:** KLT-RBD-MATH-ARCH-SRC-0004
- **Точка отката:** KLT-RBD-MATH-ARCH-ROLLBACK-0004
- **Дата:** 2026-04-30

Главная идея

Слой v0.4 превращает геометрию, топологию, гомологии и проективные структуры в единый Реперный этаж архитектуры математики.

$\text{MATH}_{v0.4} = \text{RBD}[\text{GEO} + \text{TOP} + \text{HOM} + \text{PRJ}] + \text{Lambda} + \text{CGI_GEO_TOP} + \text{GarMap_GEO_TOP}$

Геометрия удерживает форму, топология удерживает форму без метрики, гомология измеряет дыры и препятствия, проективная геометрия связывает перспективу, кросс-соотношение и lambda-истинность.

Содержимое слоя

- доменов: **15**
- Реперов: **91**
- рёбер графа: **138**
- наложений: **16**
- разрывов: **14**
- gar-узлов: **14**
- технических индексов: **455**

CGI_GEO_TOP

$\text{CGI_GEO_TOP}(X,Y) = (\text{H_metric} + \text{H_topology} + \text{H_smooth} + \text{H_projective} + \text{H_homology} + \text{H_cohomology} + \text{H_local_global} + \text{H_computation}) / (r_X * u_X + r_Y * u_Y + \text{epsilon})$

Статусы:

- $\text{CGI} < 1$ — геометрико-топологическая связность удержана;
- $\text{CGI} \approx 1$ — критический мост;
- $\text{CGI} > 1$ — нужен gar/break-node и пересборка Репера.

Следующий слой

v0.5 = Analysis + PDE + Variational Methods

Файл пакета v0.1-v0.8: [v0_4/source/SOURCE_CARD_v0_4.md](#)

KLT-RBD-MATH-ARCH-SRC-0004

Название источника: KLT-RBD-MATH-ARCH v0.4: Geometry + Topology + Homology + Projective Structures **Авторские понятия и обозначения:** Иван Борисович Курпишев **Дата фиксации:** 2026-04-30 **Статус:** внутренний проектный источник и техническая точка сборки RBD Math Architecture.

Основание перехода

Переход выполняется после слоя v0.3, где были зафиксированы число, алгебра и структуры: NUM + ALG + STR. Следующий слой фиксируется как:

v0.4 = GEO + TOP + HOM + PRJ

то есть геометрия, топология, гомологии и проективные структуры.

Роль источника

Этот файл считается источником проекта для дальнейших веток KLT/RBD, NARG, сайта и монографии. При дальнейшем развитии v0.5 и следующих версий ссылка на данный источник обязательна как на зафиксированную точку перехода.

Главная формула

$\text{MATH}_{v0.4} = \text{RBD}[\text{GEO} + \text{TOP} + \text{HOM} + \text{PRJ}] + \text{Lambda} + \text{CGI_GEO_TOP} + \text{GarMap_GEO_TOP}$

Правило редакционной преемственности

Новый слой не отменяет v0.1-v0.3. Он добавляет геометрический и топологический этаж к уже собранным основаниям, логике, категориям, числу и алгебре.

Файл пакета v0.1-v0.8: [v0_5/00_README_RU.md](#)

KLT-RBD-MATH-ARCH v0.5

Слой: **Analysis + Differential Equations + Measure + Operators.**

Назначение: добавить в Архитектуру всей математики аналитический слой М3: пределы, непрерывность, меру, интеграл, функциональный анализ, гармонический анализ, ОДУ/УЧП, вариационный и численный мосты.

Главная формула:

MATH_v0.5 = RBD[ANA + MEAS + FUNC + HARM + ODE + PDE + VAR + NUMANA] +
Lambda + CGI_ANA + GapMap_ANA

Внутри пакета:

- доменов: 15
- Репер-узлов: 119
- рёбер графа: 188
- наложений: 12
- разрывов: 15
- гар-узлов: 15
- технических индексов: 714
- SQLite-база: rbd_math_arch_v0_5.sqlite

[Файл пакета v0.1-v0.8: v0_5/docs/ROLLBACK_POINT_v0_5.md](#)

Точка отката KLT-RBD-MATH-ARCH v0.5

Дата фиксации: 2026-04-30

Статус

v0.5 фиксируется как самостоятельный источник проекта и рабочая точка отката.

Переход

v0.4: Geometry + Topology + Homology + Projective Structures

->

v0.5: Analysis + Differential Equations + Measure + Operators

Непрерывность с прежними слоями

v0.5 не заменяет v0.1-v0.4. Он опирается на них:

- v0.1: математика как Реперно-аксиоматический граф;
- v0.2: основания, логика, множества, типы, категории;
- v0.3: алгебра, число, структуры;
- v0.4: геометрия, топология, гомологии, проективные структуры.

Формула слоя

MATH_v0.5 =
RBD[ANA + MEAS + FUNC + HARM + ODE + PDE + VAR + NUMANA]
+ Lambda

- + CGI_ANA
- + ГарМар_ANA

Смысл

Анализ является слоем предела, непрерывности, меры, операторов и дифференциальных уравнений. Он переводит дискретные и структурные Реперы v0.3, а также геометрические Реперы v0.4, в динамический режим: предел, поток, слабое решение, спектр, функционал, численная аппроксимация.

CGI_ANA

$CGI_ANA(X,Y) =$

$(H_limit + H_measure + H_operator + H_boundary + H_regular + H_numerical + H_bridge)$

/

$(r_X u_X + r_Y u_Y + eps)$

Статусы:

- $CGI_ANA < 1$ связность анализа удержана
- $CGI_ANA \sim 1$ критический аналитический мост
- $CGI_ANA > 1$ разрыв, нужна пересборка Репера

Следующий слой

v0.6: Probability + Statistics + Stochastic Processes + Predictive Dynamics

Файл пакета v0.1-v0.8: [v0_5/docs/seed_report_ru.md](#)

Отчёт сборки KLT-RBD-MATH-ARCH v0.5

Собран слой анализа для Архитектуры всей математики.

Включённые кластеры

- ANA: Analysis Core
- REAL: Real Analysis
- CPLX: Complex Analysis
- MEAS: Measure Theory
- FUNC: Functional Analysis
- HARM: Harmonic Analysis
- ODE: Ordinary Differential Equations
- PDE: Partial Differential Equations
- VAR: Variational Calculus
- SPECT: Spectral Theory
- DIST: Distribution Theory

- SOBO: Sobolev Spaces
- NUMANA: Numerical Analysis
- DYN: Dynamical Systems
- KLT-ANA: KLT Analysis Layer

Ключевые разрывы

- pointwise \leftrightarrow uniform convergence: поточечная сходимость не удерживает операции предела
- Riemann \leftrightarrow Lebesgue: интегрируемость зависит от меры и почти-всюду структуры
- classical solution \leftrightarrow weak solution: теряется гладкость, но сохраняется интегральная форма
- local existence \leftrightarrow global existence: локальная разрешимость не гарантирует глобальный поток
- bounded \leftrightarrow unbounded operator: домен оператора становится частью Репера
- finite-dimensional \leftrightarrow infinite-dimensional: компактность и эквивалентность норм ломаются
- smooth \leftrightarrow distributional: производная становится слабым объектом
- existence \leftrightarrow uniqueness: существование решения не означает единственности
- continuum \leftrightarrow discretization: численная схема может не сохранять непрерывный инвариант
- boundary \leftrightarrow interior: граничные данные не продолжаются внутрь без условий

Ключевые гар-узлы

- missing limit type: не указан тип сходимости
- missing measure space: интеграл указан без меры
- missing domain of operator: оператор задан без области определения
- missing boundary condition: PDE без граничных/начальных условий
- missing regularity class: не указан класс гладкости
- missing weak formulation: есть PDE, нет слабой формы
- missing compactness argument: используется предел без компактности
- missing energy estimate: нет априорной оценки
- missing spectral data: оператор есть, спектр не извлечён
- missing numerical validation: дискретная схема без проверки устойчивости

Практическое назначение

Слой нужен для обработки больших научных и технических баз, где математический объект проявляется не только как определение или теорема, а как предельный, операторный, дифференциальный, вариационный или численный режим.

Файл пакета v0.1-v0.8: v0_5/source/SOURCE_CARD_v0_5.md

SOURCE CARD: KLT-RBD-MATH-ARCH v0.5

Название

KLT-RBD-MATH-ARCH v0.5 — Analysis / Differential Equations / Measure / Operators.

Авторская линия

Курпишев Иван Борисович. Логика Курпишева / KLT / RBD / Реперная предсказательная математика.

Основание включения

Слой v0.5 продолжает ранее собранную Архитектуру математики как Реперно-аксиоматический граф. Используется общая формула Репера:

$$\text{Rep_math}(X) = (R_X, I_X, U_X; D_X)$$

и техническая линия RBD_MATH_ARCH:

math_sources
math_works
math_units
math_axiom_systems
math_objects
math_definitions
math_theorems
math_proofs
math_models
math_invariants
math_algorithms
math_repers
math_edges
math_overlaps
math_breaks
math_gaps
math_lambda_scores
math_cgi_scores

Что добавляет v0.5

1. Аналитические Реперы предела, сходимости, меры, интеграла, операторов, спектра.
2. Мосты к v0.4: геометрия, топология, многообразия, гомологии.

3. Мосты к будущему v0.6: вероятность, статистика, стохастика, прогноз.
4. CGI_ANA как индекс аналитического разрыва.

Статус

Рабочий источник проекта и точка отката.

Файл пакета v0.1-v0.8: [v0_6/00_README_RU.md](#)

KLT-RBD-MATH-ARCH v0.6

Слой: **Probability + Statistics + Stochastic Processes + Predictive Dynamics.**

Назначение: добавить в Архитектуру всей математики вероятностно-статистический и предсказательный слой M4/M5: вероятность, выборки, вывод, байесовское обновление, случайные процессы, мартингалы, марковские ядра, диффузии, временные ряды, хвостовые риски и KLT-пересборку прогноза.

Главная формула:

$MATH_{v0.6} = RBD[PROB+STAT+STOCH+PRED] + \text{Lambda} + CGI_PROB + \text{GapMap_PROB}$

Ключевая запись Репера:

$Rep_prob(X) = (R_X, I_X, U_X; D_X, P_X, F_t, \tau_X, LIM_X)$

$\lambda_i = \text{cross}(\text{prior}_i, \text{evidence}_i, \text{posterior}_i, \text{limit}_i)$

$CGI_i = (\text{Bias} + \text{Drift} + \text{Tail} + \text{LimitPressure} + \text{MissingReper}) / (\text{DataWeight} * \text{Calibration} + \text{eps})$

Внутри пакета:

- доменов: 18
- Репер-узлов: 142
- рёбер графа: 226
- наложений: 14
- разрывов: 18
- гар-узлов: 18
- технических кластеров: 24
- технических индексов: 852
- SQLite-база: rbd_math_arch_v0_6.sqlite

Файл пакета v0.1-v0.8: [v0_6/docs/ROLLBACK_POINT_v0_6.md](#)

Точка отката KLT-RBD-MATH-ARCH v0.6

Дата: 2026-04-30 **Авторская линия:** Ivan Borisovich Kurpishev / Курпишев Иван Борисович **Слой:** Probability + Statistics + Stochastic Processes + Predictive Dynamics

Фиксация

Точка отката v0.6 фиксирует переход от анализа/операторов v0.5 к вероятностно-статистической и предсказательной математике.

MATH_v0.6 = RBD[PROB+STAT+STOCH+PRED] + Lambda + CGI_PROB + GapMap_PROB

Непрерывность с предыдущими слоями

- v0.1-v0.2: начальная RBD-архитектура, аксиомы, доказательные зависимости.
- v0.3: логика, основания, категории, типы, вычислимость.
- v0.4: геометрия, топология, гомологии, проективные структуры.
- v0.5: анализ, мера, операторы, ОДУ/УЧП, вариационные и численные мосты.
- v0.6: вероятность, статистика, случайные процессы и предсказательная пересборка.

Основной принцип

Fact != Forecast => RetroRebuild(nearest Repers) + Search(uncomputed Repers) + CGI_PROB control

Зафиксированные пределы для прогноза

LIM = {LIM_POLITIC, LIM_ECOLOGICAL, LIM_RAUM, LIM_TIME, LIM_ONTOLOGY}

Прогноз считается допустимым только внутри явного слоя пределов; вечных и всемогущих Реперов не вводится.

Следующий переход

v0.7 Algebraic Geometry + Schemes + Categories + Motives + Higher Structures

Формальная заметка v0.6: вероятностно-предсказательный слой Реперов

1. Вероятностный Репер

Пусть дано вероятностное пространство (Ω, F, P) , информационная фильтрация (F_t) и активный набор пределов LIM. Вероятностный Репер определяется как:

$\text{Rep_prob}(X) = (R_X, I_X, U_X; D_X, P_X, F_t, \tau_X, \text{LIM}_X)$.

R_X задаёт опору, I_X — сохраняемый инвариант, U_X — правило обновления, D_X — основание, P_X — вероятностную модель, F_t — доступную информацию, τ_X — горизонт, LIM_X — ограничивающий предел.

2. λ -истина вероятностного перехода

Для прогноза используется не одиночная вероятность, а проективная связка:

$\lambda_i = \text{cross}(\text{prior}_i, \text{evidence}_i, \text{posterior}_i, \text{limit}_i)$.

Смысл: прогноз должен быть согласован сразу с априорной базой, фактами, апостериорным обновлением и пределом применимости.

3. Индекс вероятностного причинного разрыва

$\text{CGI}_i = (B_s + D_t + T_x + \text{LIM}_p + M_R) / (W_{\text{data}} * \text{Cal} + \text{eps})$.

где B_s — смещение выборки, D_t — дрейф модели, T_x — хвостовой риск, LIM_p — давление пределов, M_R — дефицит Реперов, W_{data} — вес данных, Cal — калибровка.

Если $\text{CGI}_i \geq 1$, прогноз не выдаётся как устойчивый; он получает статус `rebuild_required`.

4. Правило фальсификации

$\text{Fact} \neq \text{Forecast} \rightarrow \text{RetroRebuild}(N_{\text{eps}}) + \text{Search}(\text{Omega_fog}) + \text{Update}(\text{RBD})$.

Здесь N_{eps} — ближайшее окружение Реперов, Omega_fog — область ещё не вычисленных допустимых Реперов.

Отчёт сборки KLT-RBD-MATH-ARCH v0.6

Собран слой вероятности, статистики, случайных процессов и предсказательной динамики для Архитектуры всей математики.

Смысл слоя

v0.6 переводит предсказательную математику Реперов из режима фиксированной структуры в режим вероятностной пересборки: прогноз больше не трактуется как абсолютное будущее, а как множество допустимых будущих Реперов внутри пределов LIM. Если факт не совпал с прогнозом, теория не рушится; запускается локальная пересборка ближайших Реперов, поиск ещё не вычисленных Реперов и проверка причинного разрыва CGI.

Включённые кластеры

- PROB: Probability Foundations — Вероятностное пространство, событие, случайность, аксиомы Колмогорова
- SIGMA: Sigma-Algebra and Measure Probability — Сигма-алгебра, мера вероятности, почти-всюду структура
- RV: Random Variables and Transforms — Случайные величины, распределения, преобразования, моменты
- DIST: Distribution Families — Семейства распределений, параметры, хвосты, устойчивость
- STAT: Samples and Descriptive Statistics — Выборка, статистика, эмпирическое распределение, оценка качества данных
- INF: Inference and Estimation — Оценивание, правдоподобие, достаточность, состоятельность
- TEST: Hypothesis Testing — Проверка гипотез, ошибки I/II рода, мощность, p-value
- BAYES: Bayesian Update — Априорное знание, апостериорное обновление, доказательность
- STOCH: Stochastic Processes — Случайные процессы, траектории, состояния, время
- MART: Martingales and Filtrations — Фильтрации, мартингалы, остановки, условное ожидание
- MARKOV: Markov Chains and Kernels — Марковские цепи, переходные ядра, стационарность, эргодичность
- DIFFUS: Diffusions and SDE — Диффузии, стохастические интегралы, СДУ, шум
- TIMESER: Time Series and Signals — Временные ряды, автокорреляция, спектр, прогноз

- INFO: Information and Entropy — Энтропия, информация, KL-расхождение, кодирование
- EXTREME: Extreme and Rare Events — Редкие события, экстремальные значения, хвостовые риски
- RISK: Risk, Finance and Insurance Probability — Риск, портфели, страхование, волатильность, стресс-сценарии
- PRED: Predictive Dynamics — Предсказательная динамика, фильтрация, калибровка, сценарии
- KLT-PROB: KLT Predictive Reper Layer — KLT-слой вероятностных Реперов, λ-истина, пределы и пересборка

Формальный узел

$\text{Reper_prob}(X) = (R_X, I_X, U_X; D_X, P_X, F_t, \tau_X, LIM_X)$

где R_X — опорный Репер, I_X — вероятностно-статистический инвариант, U_X — правило обновления, D_X — документальное/аксиоматическое основание, P_X — вероятностная мера или модель, F_t — фильтрация информации, τ_X — момент/горизонт, LIM_X — активный предел.

Ключевые разрывы

- missing sample space: событие или случайная величина заданы без Ω
 - missing sigma algebra: не указана σ -алгебра, на которой измерим объект
 - probability without measure: вероятность заявлена без меры и нормировки
 - independence confusion: независимость смешана с некоррелированностью
 - conditional base omitted: условная вероятность дана без условия/информации
 - distribution family mismatch: использовано неподходящее семейство распределений
 - sample bias: выборка не представляет генеральную совокупность
 - small sample asymptotics: асимптотический вывод применён к малой выборке
 - p value misread: p-value прочитан как вероятность истинности гипотезы
 - multiple testing leak: множественные проверки без коррекции
 - prior domination: априорная модель подавляет фактические данные
 - nonstationary forecast: прогноз строится на стационарности, которой нет
 - model drift: модель изменилась относительно потока данных
 - tail underestimation: хвостовые риски занижены
 - correlation breakdown: корреляции распались в стрессовом режиме
 - calibration failure: частоты факта не совпадают с вероятностями прогноза
 - limit violation: прогноз выходит за предел LIM
- TIME/RAUM/ONTOLOGY/POLITIC/ECOLOGICAL
- uncomputed Reper: новый факт требует Репера, которого нет в RBD

Ключевые гар-узлы

- GAP_OMEGA: нет пространства элементарных исходов
- GAP_SIGMA: нет σ -алгебры
- GAP_MEASURE: нет меры вероятности
- GAP_RANDOM_VAR: случайная величина не измерима
- GAP_DISTRIBUTION: закон не задан
- GAP_SAMPLE: выборка не описана
- GAP_MODEL: нет статистической модели
- GAP_PRIOR: нет априорного слоя при байесовском выводе
- GAP_LIKELIHOOD: нет правдоподобия
- GAP_HORIZON: нет горизонта прогноза
- GAP_FILTRATION: нет информационной фильтрации
- GAP_STATIONARITY: нет проверки стационарности
- GAP_TAIL: нет хвостового анализа
- GAP_CALIBRATION: нет калибровки
- GAP_BACKTEST: нет бэктеста
- GAP_LIMIT: нет указания предела LIM
- GAP_CGI: нет расчёта причинного разрыва
- GAP_RBD_REPER: нет подходящего Репера в базе

Практическое назначение

Слой нужен для анализа больших научных, технических, строительных, финансовых и прогнозных баз данных: он отличает доказанный прогноз от вероятностного сценария, выявляет дрейф модели, несостоятельность выборки, хвостовой риск, нарушение пределов и дефицит Реперов в RBD.

Файл пакета v0.1-v0.8: [v0_6/source/SOURCE_CARD_v0_6.md](#)

SOURCE CARD — KLT-RBD-MATH-ARCH v0.6

- **Идентификатор:** KLT-RBD-MATH-ARCH-v0.6
- **Дата:** 2026-04-30
- **Автор:** Ivan Borisovich Kurpishev / Курпишев Иван Борисович
- **Контур проекта:** ЛОГИКА КУРПИШЕВА / KLT / RBD / Архитектура всей математики
- **Тип источника:** точка отката, слой математической RBD, пакет данных
- **Название:** Probability + Statistics + Stochastic Processes + Predictive Dynamics
- **Формула:** MATH_v0.6 = RBD[PROB+STAT+STOCH+PRED] + Lambda + CGI_PROB + ГарМар_PROB
- **Статус:** рабочий источник проекта, подлежит дальнейшему расширению в v0.7

Что фиксирует источник

1. Вероятностный Репер Rep_prob.
2. λ -связку prior/evidence/posterior/limit.
3. CGI-модель вероятностного причинного разрыва.
4. Технические индексы качества данных, калибровки, дрейфа, хвостового риска и давления пределов.
5. Принцип пересборки прогноза при несовпадении факта и прогноза.

Следующий источник

v0.7 Algebraic Geometry + Schemes + Categories + Motives + Higher Structures.

Файл пакета v0.1-v0.8: [v0_7/00_README_RU.md](#)

KLT-RBD-MATH-ARCH v0.7

Слой: Algebraic Geometry + Schemes + Categories + Motives + Higher Structures **Точка отката:** RP-MATH-ARCH-007 **Авторская линия:** Ivan Borisovich Kurpishiev / Курпишев Иван Борисович **Сайт:** kurpishiev.me **E-mail:** me@kurpishiev.ru

Главная формула

MATH_v0.7 = RBD[AG + SCH + CAT + MOT + HIGH] + Lambda + DesarguesCR + CGI_AG + ГарМар_AG

Главный Репер слоя

Rep_AG(X) = (R_X, I_X, U_X; D_X, Spec_X, Proj_X, Sh_X, Coh_X, Mot_X, LIM_X)

λ -формула слоя

lambda_AG(X) = Cr(R_local, I_projective; U_category, D_motive)

v0.7 добавляет к Архитектуре всей математики слой алгебраической геометрии, схем, пучков, когомологий, категорий, мотивов, структур Ходжа, Калаби-Яу и высших категорий. Этот слой нужен для связывания Реперов в многомерное комплексное проективное пакетное PIX@PEAKS-многообразие.

Файл пакета v0.1-v0.8: [v0_7/docs/ROLLBACK_POINT_v0_7.md](#)

Точка отката RP-MATH-ARCH-007

Версия: KLT-RBD-MATH-ARCH v0.7 **Дата:** 2026-04-30 **Слой:** Algebraic Geometry + Schemes + Categories + Motives + Higher Structures

Фиксация

Эта точка отката закрепляет переход от вероятностно-стохастического слоя v0.6 к алгебро-геометрическому, схемному, категорно-мотивному и высшему слою v0.7.

Главная формула

$\text{MATH_v0.7} = \text{RBD}[\text{AG} + \text{SCH} + \text{CAT} + \text{MOT} + \text{HIGH}] + \text{Lambda} + \text{DesarguesCR} + \text{CGI_AG} + \text{GarMap_AG}$

Главный критерий возврата

Если дальнейшая сборка Архитектуры математики потеряет локально-глобальную склейку, функториальность, мотивный инвариант или ограничение LIM, возврат выполняется к v0.7 как к последней устойчивой схеме:

Rollback -> RP-MATH-ARCH-007

Правило пересборки

Fact/Proof/Construction != lambda_AG-stable
=> RetroRebuild(nearest AG/CAT/MOT Repers)
+ Search(uncomputed higher Repers)
+ CGI_AG control.

Файл пакета v0.1-v0.8: [v0_7/docs/formal_note_v0_7_ru.md](#)

Формальная заметка v0.7: алгебро-геометрический Репер

Определение 1. Алгебро-геометрический Репер

Пусть X — математический объект, допускающий локально-глобальное описание. Его алгебро-геометрическим Репером называется пакет

$\text{Rep_AG}(X) = (\text{R_X}, \text{I_X}, \text{U_X}; \text{D_X}, \text{Spec_X}, \text{Proj_X}, \text{Sh_X}, \text{Coh_X}, \text{Mot_X}, \text{LIM_X})$.

Компоненты имеют следующий смысл:

- R_X — опорная локальная карта или структурный якорь;
- I_X — инвариант, сохраняемый при допустимых морфизмах;
- U_X — правило обновления при смене карты, базы, категории или предела;
- D_X — документальное/аксиоматическое основание;
- Spec_X — аффинный спектральный слой;
- Proj_X — проективный слой перспективы;
- Sh_X — пучковый слой склейки;

- Coh_X — когомологический слой препятствий;
- Mot_X — мотивный универсальный инвариант;
- LIM_X — система пределов допустимости.

Определение 2. λ -истина склейки

$\text{lambda_AG}(X) = \text{Cr}(\text{R_local}, \text{I_projective}; \text{U_category}, \text{D_motive})$.

Если lambda_AG устойчива относительно смены карт, морфизмов и когомологических реализаций, то Репер считается склеенным. Если нет, возникает CGI_AG .

Определение 3. CGI_AG

CGI_AG — причинно-структурный индекс разрыва алгебро-геометрической архитектуры. Он принимает значения в классах:

CGI_AG_GLUE , CGI_AG_MOR , CGI_AG_SING , CGI_AG_CON , CGI_AG_LIM , CGI_AG_DES .

Аксиома v0.7

Всякий устойчивый математический Репер высшего слоя должен иметь хотя бы четыре видимых якоря:

local affine anchor + projective perspective + categorical morphism + cohomological/motivic trace.

Если один из якорей отсутствует, конструкция не запрещается автоматически, но переводится в режим проверки и пересборки.

Файл пакета v0.1-v0.8: v0_7/docs/seed_report_ru.md

Seed report: KLT-RBD-MATH-ARCH v0.7

1. Назначение v0.7

v0.7 переводит Архитектуру всей математики из вероятностно-предсказательного слоя v0.6 в слой алгебро-геометрической и категорно-мотивной сборки. Теперь Репер понимается не только как узел формулы или доказательства, но как локально-глобальный пакет:

$\text{Rep_AG}(X) = (\text{R}_X, \text{I}_X, \text{U}_X; \text{D}_X, \text{Spec}_X, \text{Proj}_X, \text{Sh}_X, \text{Coh}_X, \text{Mot}_X, \text{LIM}_X)$.

Здесь Spec_X отвечает за локально-аффинную опору, Proj_X — за проективный ракурс, Sh_X — за пучковую склейку, Coh_X — за когомологический след, Mot_X — за мотивный инвариант, а LIM_X ограничивает допустимый горизонт построения.

2. Главная λ -проверка

$\lambda_{AG}(X) = Cr(R_{local}, I_{projective}; U_{category}, D_{motive})$.

Смысл: алгебро-геометрический Репер считается устойчивым, если локальная аффинная опора, проективный ракурс, категорно-функториальная стрелка и мотивный/когомологический след согласованы. Если хотя бы один якорь отсутствует, появляется CGI_AG — структурный причинный разрыв математической архитектуры.

3. Данные пакета

- домены: 20;
- Репер-узлы: 160;
- рёбра графа: 270;
- наложения: 18;
- гар-узлы: 22;
- разрывы: 20;
- технические кластеры: 32;
- технические индексы: 1024.

4. Новая зона анализа

v0.7 позволяет искать:

1. где локальные математические конструкции не склеиваются в глобальный объект;
2. где проектив ракурс потерял аффинную опору;
3. где морфизм заявлен без категории, базы или функториальности;
4. где когомология должна показать препятствие, но не посчитана;
5. где мотив или период скрывает настоящий дефект;
6. где конструкция вышла за LIM ONTOLOGY и попала в область тьмы.

5. Связь с KLT-RBD

Этот слой является источником для будущего модуля проверки больших научных баз данных. Его технические индексы могут быть использованы как RBD-index для поиска Реперов в научных текстах, статьях, монографиях, доказательствах, базах формул, схемах и графах зависимостей.

6. Следующий переход

v0.8 Mathematical Logic + Model Theory + Set-Theoretic Foundations + Type/Proof Assistants

Файл пакета v0.1-v0.8: [v0_7/source/SOURCE_CARD_v0_7.md](#)

SOURCE CARD v0.7

Source ID: KLT-RBD-MATH-ARCH-v0.7 **Rollback:** RP-MATH-ARCH-007 **Author:** Ivan Borisovich Kurpishev / Курпишев Иван Борисович **Date:** 2026-04-30 **Project:** ЛОГИКА КУРПИШЕВА / KLT-RBD / Архитектура всей математики

Статус источника

После утверждения пользователем этот пакет считается внутренним источником проекта и продолжением цепочки v0.1-v0.6.

Core formula

MATH_v0.7 = RBD[AG + SCH + CAT + MOT + HIGH] + Lambda + DesarguesCR + CGI_AG + GapMap_AG

Continuity

v0.7 наследует:

- v0.1: начальный атлас Реперов математики;
- v0.2: аксиоматические и доказательные зависимости;
- v0.3: технические индексы и CGI-модель;
- v0.4: точку отката и источник перехода;
- v0.5: анализ/топология/дифференциальная геометрия;
- v0.6: вероятность, статистика, стохастика и предсказательная динамика.

Next source

v0.8 Mathematical Logic + Model Theory + Set-Theoretic Foundations + Type/Proof Assistants

Файл пакета v0.1-v0.8: [v0_8/00_README_RU.md](#)

KLT-RBD-MATH-ARCH v0.8

Rollback: RP-MATH-ARCH-008

Слой: математическая логика, теория моделей, теория множеств, теория типов и proof-assistants.

MATH_v0.8 = RBD[LOG + MODEL + SET + TYPE + PROOF + PA] + Lambda + DesarguesCR + CGI_LOG + GapMap_LOG

Rep_LOG(Sigma) = (Lang_Sigma, Ax_Sigma, Rule_Sigma, Prf_Sigma, Mod_Sigma, Sat_Sigma, Type_Sigma, Set_Sigma, PA_Sigma, LIM_Sigma)

Состав: 20 доменов, 180 Репер-узлов, 286 рёбер, 20 наложений, 24 гар-узлов, 22 разрывов, 40 технических кластеров, 1280 технических индексов.

Следующий слой: v0.9 — анализ, PDE, вариационные структуры и операторная логика.

[Файл пакета v0.1-v0.8: v0_8/docs/ROLLBACK_POINT_v0_8.md](#)

Точка отката RP-MATH-ARCH-008

Версия KLT-RBD-MATH-ARCH v0.8 зафиксирована как источник проекта.

Контрольная формула:

MATH_v0.8 = RBD[LOG + MODEL + SET + TYPE + PROOF + PA] + Lambda + DesarguesCR + CGI_LOG + GarMap_LOG

Контрольный объект:

Rep_LOG(Sigma) = (Lang_Sigma, Ax_Sigma, Rule_Sigma, Prf_Sigma, Mod_Sigma, Sat_Sigma, Type_Sigma, Set_Sigma, PA_Sigma, LIM_Sigma)

[Файл пакета v0.1-v0.8: v0_8/docs/formal_note_v0_8_ru.md](#)

Формальная заметка v0.8

Вводим логический Репер:

Rep_LOG(Sigma) = (Lang_Sigma, Ax_Sigma, Rule_Sigma, Prf_Sigma, Mod_Sigma, Sat_Sigma, Type_Sigma, Set_Sigma, PA_Sigma, LIM_Sigma)

Локальная гармоничность утверждения A задаётся cross-ratio:

$$\lambda_A = ((U_A - R_A)(I_A - D_A)) / ((U_A - D_A)(I_A - R_A))$$

Формальный дефект:

$$\delta_A = |\lambda_A + 1|$$

Проверяемая цепочка KLT:

TextClaim -> FormalClaim -> ProofOrModel -> Certificate -> RBD_Record

Если CGI_LOG(A) >= 1, требуется локальная пересборка ближайших Реперов и обновление source-card.

[Файл пакета v0.1-v0.8: v0_8/docs/seed_report_ru.md](#)

Seed report v0.8

Слой v0.8 превращает карту математики в проверяемую Реперную систему: язык, аксиомы, правила вывода, доказательство, модель, тип, источник и предел.

Главный переход: source -> claim -> formula/type/model -> Reper -> lambda-test -> CGI-test -> RBD record.

Главные gap-узлы: formalization_gap, certificate_gap, model_existence_gap, foundation_gap, type_coercion_gap, provenance_gap, modal_overclaim_gap.

[Файл пакета v0.1-v0.8: v0_8/source/SOURCE_CARD_v0_8.md](#)

SOURCE CARD v0.8

Источник: переход от v0.7 к v0.8 по команде пользователя.

Rollback: RP-MATH-ARCH-008.

Содержание: логика, теория доказательств, теория моделей, теория множеств, теория типов, HoTT, proof-assistants, логика RBD и KLT-метааксиоматика.

Итоговый технический протокол сборки 5.1

no_forced_blank_pages = true

toc_required = true

legacy_volume_preserved = true

appendices_preserved = true

rollback_code = KLT-MONOGRAPH-5.1-RU-FULL-TEXT